

МИНИСТЕРСТВО ГЕОЛОГИИ СССР
ПРОИЗВОДСТВЕННОЕ ГЕОЛОГИЧЕСКОЕ ОБЪЕДИНЕНИЕ
ПО ПРОВЕДЕНИЮ СПЕЦИАЛЬНЫХ ГИДРОГЕОЛОГИЧЕСКИХ
И ИНЖЕНЕРНО-ГЕОЛОГИЧЕСКИХ РАБОТ

Уч. № 05

ГЕОЛОГИЧЕСКАЯ
КАРТА СССР

МАСШТАБА 1:200 000

СЕРИЯ НИЖНЕАМУРСКАЯ

Листы N-54-XIV, XV

Объяснительная записка

Составители: А.А.Козлов, С.В.Беледука,
В.Д.Овчининский

Редактор Ю.А.Иванов

Сдано в печать 13.12.1978 Подписано к печати 27.01.1981
Тираж 198 экз. Формат 60х90/16 Печ.л. 6,75 Заказ 276 с

Утверждено Научно-редакционным советом ВСЕГЕИ
11 декабря 1969 г., протокол № 51

Центральное специализированное производственное
хозрасчетное предприятие
объединения "Союзгеодон"

ВВЕДЕНИЕ

Рассматриваемая территория представляет собой неширокую (10–30 км) полосу побережья Охотского моря, омываемого волнами зал. Александра и Сахалинского залива. Болиды же часть площади листов № 54-ХГ, ХГ, ограниченной 54°–54°40' с.ш. и 139°14' в.д., занята морем, среди которого расположены два небольших острова – Меньшикова (7 км²) и Рейнеке (6 км²). Западная часть территории и острова относятся к Тулуру-Чумиканскому, а восточная – к Нижнеамурскому районам Хабаровского края.

Ландшафт территории горно-таежный. Горы – северная оконечность хр. Мевачан и его отроги занимают большую часть. На западе территории располагается Мухтальская низменность, а почти в центре – Ул-Лонгариjsкая межгорная впадина. Горы низкие, сильно растянутые с абсолютными высотами гребней водоразделов 300–500, реже 700–900 м. Наиболее высокие вершины гор Манхакга (977,6 м), Болотка (878 м), Лонгари (882 м), расположенные в присосевой части хр. Мевачан и горы Морфета (807 м) – на побережье Сахалинского залива, представляют собой гольцы. Склоны гор круглае, в прибрежной части обрывистые. Они покрыты елько-лиственничными, елово-бересковыми лесами обычно с подлеском из кедрового стланника и кустарничковой бересни, слущавшейся в верхних частях склонов. Гребни подоразделов обычно слаженные и, как правило, покрыты сплошными труднопроходимыми зарослями стланника. Горы изрезаны густой сетью распадков и V-образных долин мелких рек и ручьев. Уклоны тальвега их пологие почти до самих верховьев, а на последних 300–500 м достигают 25–35°. Мухтальская низменность (абс. выс. 8–20, в краевых частях – 40–50 м) представляет собой грядово-бутистую заболоченную равнину, покрытую кустарничково-моховой и осоково-моховой растительностью с зареженным чахлым лиственничным мелколесьем и отдельными участками кедрового стланника. В центре ее расположено оз. Мухталь.

(32 км²) со сладо изрезанными низменными берегами. Глубина его 1-3 м. Дно песчано-галечное, местами илестое. Озеро лагунного типа, отгорожено от моря береговым валом — косой Гилин. С морем озеро соединяется протокой Ланту. Ул-Лонгариjsкая межгорная впадина вытянута в субмеридиональном направлении. В южной части — это плоская открытая заболоченная равнина с абсолютными высотами 150-200 м, в северной — сладо расщепленные предгорья (абс. выс. 120-260 м), понижающиеся к широкой долине р.Лонгари (абс. выс. 5-50 м).

Реки Малахта, Сред. и Прав.Ул — истоки р.Ул — относятся к бассейну р.Амура, остальные впадают в море или оз.Мухтей. Долины наиболее крупных рек, протекающих в горах, имеют ширину 0,4-1,5 км. В долинах выделяется низкая и высокая поймы, изрезанные сетью проток и старич. и покрыты зарослями ивняка и осин, и одна, реже две надпойменные террасы. Террасы покрыты еловыми и смешанными лесами, открытыми полянами с луговой растительностью. Ширина рек 10-30 м, глубина 0,2-0,5 м на перекатах и 1-2 м на плесах. Русла извилистые, часто разветвляющиеся на протоки. Ручьи и мелкие реки, протекающие по Мухтейской низменности и в долине р.Малахта, узкие (3-5 м), но глубокие (до 2-3 м) с песчаным или иллистым дном. Режим рек типично горный с резким подъемом уровня после дождей.

Морской берег сладо изрезан. На большем протяжении он скалистый, с обрывистыми уступами и узкой (10-50 м) полосой галечно-валунного или гравийно-галечного пляжа. Местами скалы подходят к морю, образуя в приливы "непропуски". От М.Толстоградицкий до устья р.Лежма берег скалистый с узким прерывистым пляжем, кекурами и подводными камнями. Непроходим берег и у М.Морфета. В Мухтейской равнине и у устьев рек Лонгари, Бол.Вилки, Шумха берег низменный с широким песчано-галечным пляжем. Глубина моря у берега 1-5 м. Изобата 10 м проходит на расстоянии 100-300, реке 500-700 м, 20 м — на расстоянии 0,5-3 км от берега. Дальнейшее углубление до 40-50 м, а на северо-востоке — до 80-100 м происходит постепенно. Наиболее удобные места для высадки на берег с мелкосидящих судов — зал.Рейнеке, устье прот.Ланту.

Острова окалистые с высокими (100-150 м) обрывистыми берегами. Остров Меньшикова в западной и центральной частях имеет квадратообразную наклоненную к северу поверхность шириной 0,3-1 км, а в восточной его части возникаются пикообразные скалы, соединенные вверху узким гребнем из беспорядочно нагроможден-

ных глыб. Остров Рейнеке — это небольшой массив резко расчлененных низких гор. На островах местами промежутает кустарничковая бересклет и кедровый стланник.

Климат района муссонный с ветреной малоснежной зимой (конец октября — апрель), короткой весной (май — первая половина июня), прохладным, часто дождливым летом (до середины октября) и сравнительно теплой и сухой осенью. Среднегодовая температура отрицательная (-2-4°), среднемесячная температура января -20-25°, августа +12-18°. Среднеголовое количество осадков 200-550 мм, причем до 75% их выпадает в период с июня по начало сентября. Одн-три раза за лето случаются продолжительные ливневые дожди, сопровождающие сильными (до ураганических) ветрами и шторками на море. На побережье летом очень тугие моросные туманы. Первый снег выпадает в конце сентября — начале октября, но сразу ставят, снеговой покров устанавливается в конце октября — ноябре и скользит к концу мае. Мощность его 60-80 см. На отдельных вершинах в верховых распадков снежники сохраняются все лето. Почвы промерзают на глубину до 1 м. На заболоченных низменностях развита остроногая многолетняя мерзлота. Плавающие льды появляются в море в конце ноября, в ледяне возникает торосистый прилай, а в конце декабря льды смерзаются. Лед торосистой толщиной 1-1,5 м, валимается в мае, плавающие льдины сохраняются до июня.

Район не заселен. В устье р.Прав.Ул расположены ныне пустующий поселок геологов Нижнеамурской экспедиции ЛВПГУ, а на берегу зал.Рейнеке сохранились жилой дом и база бывшей метеостанции Лантэ. Дорог нет. Въявные тропы проложены по долинам почти всех крупных рек. Реки из-за завалов дна движение на лодках не пригодна. Природные условия позволяют проводить геологические работы с конца мая до начала октября. В летнее время, до первых заморозков в тайге обилье гнуса — мошки и комаров.

Обнаженность территории неравномерная и, в целом, очень плохая. Прекрасные обнажения тянутся вдоль морского берега, правда на отдельных участках они доступны для изучения лишь с лодки. Имеются разрозненные обнажения в бортах долин некоторых рек и ручьев. Склоны же гор и гребни водоразделов, за исключением наиболее высоких вершин, задернованы.

х/ В 2 км к югу от него сооружена грунтовая посадочная площадка для малой авиации.

Первые геологические исследования в районе были проведены в 30-х годах, хотя следы старателейских работ в долинах рек Ул и Малахта относятся, вероятно, к концу XIX или началу XX в.

Впервые район был изучен С.Н.Алексеевиком в 1936 г. (1936ф).

Им была составлена геологическая карта масштаба 1:500 000 почти на всю территорию района (за исключением левобережья р.Мухтей), на которой он выделил песчано-сланцевые отложения триаса (?), нижнюю сланцевую и верхнюю песчаниковую толши юры, меловые (?) породы и посевские гранитоиды. С.Н.Алексеевиком были обнаружены молибденовое орудение в гранитах на м.Куриянова и полиметаллические рудопроявления к юго-западу от устья р.Мал.Билгии. С.Н.Алексеевик пришел к выводу о едином цикле формирования осадочных толщ и дал отрицательное заключение о возможной их нефтегенности.

В 1938 г. геологическую съемку масштаба 1:200 000 в районе

оз.Орель проводил Л.И.Красный (1938ф). Съемкой был охвачен небольшой участок на востоке рассматриваемой территории. В том же году В.К.Елисеев (1940ф) вели поисковые работы масштаба 1:50 000 по подережью Сахалинского залива от м.Куриянова до

м.Морфета. По находкам аудиты на р.Бог.Вылики его впервые были фацистически доказаны валанжинский возраст развитых здесь отложений. В 1939-1940 гг. Л.И.Красный и Л.Б.Кривицкий (1941ф) проводили съемку масштаба 1:500 000 в северо-западной части Нижне-

амурского района. На основе этих работ Л.И.Красным была составлена, по существу, первая стратиграфическая схема Нижнего Приамура. Она применялась при геологических исследованиях с не-значительными корректировками до середины 60-х годов. В пределах рассматриваемого района Л.И.Красным выделены отложения амурской

серии: сланцевая - ульяновская (J_1-2 и д.), песчаниковая - орельская (J_2 и д.) и песчано-сланцевая - холмская (J_3-Cr_1 и д.) свиты, а также прорывающие их гранитоиды ранне- и позднемелового возраста. В результате работ 1938-1940 гг. был обнаружен ряд проявлений полиметаллического и молибденового орудения на побережье Охотского моря. В 1947 г. поисковые работы масштаба 1:200 000 в северных отрогах хр.Мезачан провел Л.И.Орлов (1947ф).

В 1953-1957 гг. на территории Нижнего Приамура и Западного Приохотья геологическую съемку масштаба 1:200 000 и тематические работы проводили геологи 4 ГУ (в наст.вр. время объединение Гидрогеология) Т.А.Бешкарев, Г.С.Ведренников, Б.В.Голода, Ю.А.Иванов, Л.А.Кесслер, А.Д.Рыбакова, И.И.Тучков, В.А.Шуршалин и др. Результаты этих работ в части стратиграфии мезозоя и интрузивного магматизма изложены в отчете Ю.А.Ива-

нова, Б.А.Калимбекова и А.Д.Рыбаковой (1957ф). Продолженная авторами стратиграфическая схема несколько уточнила схему Л.И.Красного. Однако, в связи с недостатком фактического материала (по единичным находкам фаунистически были обоснованы лишь нижне- и среднедвуречие, валахинские и альд (?) - сеноманские отложения) и эта схема к настоящему времени устарела.

На территории листов №-54-ХГУ, ХУ съемку проводили Т.С.Ведренников, Т.А.Бешкарев и др. (1956ф). Авторами были впервые составлены карты масштаба 1:200 000: геологическая, гидрогеологическая, геоморфологическая, четвертичных отложений и железных скоплений. На геологической карте показано чередование сланцевой - ульяновской (J_1-2 и д.) и песчаниковой - орельской (J_3-Cr_1 и д.) свит. Местами ульяновская свита расчленена на две подсвиты. Как более молодые породы выделены покровы флюзизированных ($L_{Cr_2-Pg_1}$) и среднего (αPg_1-2) состава. Гранито-дики, прорвавшие все эти образования, отнесены к золоту. На побережье зал.Александри и в долине р.Малахта выделены покровы золеновых базальтов. Детально были изучены четвертичные отложения. В целом же карта отличается некоторой схематичностью, что связано недостаточной изученностью в то время вопросов стратиграфии мезозоя. Кроме того, авторами неверно были определены взаимоотношения кислых и средних андезитов. В недостаточном объеме были проведены поисковые работы.

В поисковом отношении район изучен удовлетворительно. В 1950 г. Колчанским приисковым управлением по долинам всех крупных рек были проведены поиски россыпей золота с проходкой шурfov и редких створов скважин по притусовским участкам долин. Результаты работ оказались отрицательными. Лишь по р.Мангуи в отдельных скважинах было установлено содержание золота до 227 мг/м^3 . В 1952-1954 гг. поиски пневмопыльного сырья в гранитоидах м.Александра и м.Морфета проводили В.Н.Бодловский (1953 г.), П.Р.Лоначевый (1955 г.), П.Г.Маков (1955 г.). Ими установлено низкое качество сырья и отсутствие промышленных залежей пневмокварца.

С 1959 г. в районе поисковые работы масштаба 1:100 000 и поисково-разведочные работы на россыпное золото проводят геологи Нижнеамурской экспедиции ДГУ В.Р.Поликаров, Л.А.Сахильнов, Л.И.Гусев, Е.П.Заречский, С.Н.Косов, В.Э.Пылягин и др. В результате выявлен ряд новых рудопроявлений золота, полиметаллических руд, меди, молибдена, несколько россыпей золота, а в непосредственной близости от южной границы, в верховых

р. Сред. Ул открыто перспективное месторождение золота Многовершинное. Составленная авторами схематическая геологическая карта масштаба 1:100 000 (Заремский и др., 1963) на восточную половину территории в ряде мест существенно уточнила карту Т. С. Веденникова. Более детально были изучены валаманские отложения, верхнемеловые эфузивы, выявлены плиоценовые рыхлые отложения.

В 1965-1967 гг. на обширной площади от бассейна среднего течения р.Амгуни до побережья Охотского моря, включая и рассматриваемую территорию, с целью подготовки к изданию геологи-

ческие работы проводили М. А. Ахметьев, С. И. Горохов, В. В. Караполов, Е. Д. Конюшков, В. А. Михальцов, В. А. Шуршилина, Г. И. Харитоньев и ряд других геологов Второго гидрогеологического управления, в том числе и авторы настоящей записки (Горохов и др., 1966; Шуршилина, Козлов и др., 1966). В результате этих работ появились новые данные по стратиграфии и тектонике района и разработана новая стратиграфическая схема юрских, нижненемеловых, палеогеновых, неогеновых и четвертичных отложений (Ахметьев, Каразлов и др., 1967; Ахметьев, 1967). Схема эта с некоторыми изменениями была утверждена НРС всеми для северных районов Нижнего Приамурья.

В 1966 г. в восточной части территории (лист № 54-б4-Б) геологическую съемку масштаба 1:50 000 начали В.Э.Пиланский, Т.С.Попов и др. По результатам работ составлен предварительный отчет (1967). Авторами выявлено несколько коренныхрудопояслений, шлиховых и спектрометаллометрических ореолов золота и полиметаллических руд. В основу геологической карты положена стратиграфическая схема, разработанная для Комсомольского района (Савченко, 1961). Кarta вызывает ряд возражений. Неубедительно выделение верхнетриасовой толщи конгломератов, на которых со структурным несогласием залегают средненорские отложения. В полосе шириной около 5 км выделены средне- и верхненорские отложения (J_3^{ns} , J_3^{as} , J_3^{hd}), тогда как только валанжинские толщи при сходной степени дислокированности занимают

поле шириной свыше 15 км. Выделенная при изучении разрезов по побережью Пиванская сима не находит себе места в Мульде крутой синклинальной структуры, сложенной валанжинскими отложениями.

На окончательной карте конгломераты отнесены к средней группе.

СТРАТИГРАФИЯ

ЮРСКАЯ СИСТЕМА

Н И Ж Н И І С = С Р Е П Р А З (?)

Геологическое строение территории сложное. Здесь развита мощная серия терригенных песчано-алевролитовых отложений юрского и раннемелового возраста, местами перекрыта покровами средних и кистик эйнузинов верхнего мела. В Мужтайской низменности под четвертичными отложениями подсвежена толща рыхлых пород олигоцен-миоценового (?) возраста. Они же, вероятно, развиты и в южной части Ул-Донгарицкой межгорной впадины под толщей глинистых континентальных образований. В районе широко развиты четвертичные отложения — морские, альлювиальные и органогенные, с з горах — суглиннисто-щебенистые и щебенисто-глинистые образования склонового ряда.

К нижне- и среднерынскому (?) возрасту отнесена толща, разбитая в левобережье р. Мухтала, в ее среднем течении. Сложена она тонкоголосчными алевролитами и тонкозернистыми песчаниками с прослойями и пачками среднезернистых, иногда крупнозернистых и гравелистых песчаников. Разрез толщи, составленный по береговым обнажениям р. Чалай, выглядит следующим образом (снизу вверх):

1. песчаники тонкозернистые, темно-серые, тонко переслаивающиеся с алевролитами. Мощность прослоев 0,3-1, реже до 10-20 см. Редкие прослой ($0,1-0,3$ м) мелкозернистых песчаников.

включениями до 5-10% углянатых обломочков залегают в размером 1-5 мм.

3. Переслаивающиеся песчаники тонкозернистые		
черные тонкослоистые и серые мелкозернистые (мощность слоев 5–10 см) и алевролиты черные массивные (3–5 см)	70 м	30 "
4. Алевролиты черные массивные		
5. Песчаники массивные серые, среднезернистые, реже крупнозернистые (3–15 м), разделенные прослонами черных алевролитов. Редкие линзовидные прослои песчаников грубозернистых, содержащих до 40% обломков алевролитов	120–140 "	
6. Песчаники тонкозернистые черные и темносерые тонкослоистые с примазками черных алевролитов и мелкими охройными песчаниковыми конкрециями (0,5–1 см в диаметре). Отдельные прослои серых мелкозернистых песчаников	150 "	
Мощность разреза 490–510 м.		
Общая мощность толщи, видимо, не превышает 700–800 м.		
Возраст отложений принимается условно, по сопоставлению с близкотипными по составу и стратиграфическому положению толщами, обнаруженными на р. Амтуль у "Михалицких обрывов" и охарактеризованными И. Козловым и др., 1966; Шуршилиной и др., 1968).		

Средний отдел

Нижняя толща (J_2^1) представлена преимущественно песчаниками. Выходы ее прослеживаются в виде широкой (8–12 км) полосы северо-восточного простирания от междууречья Чадай – Мантули до бассейна р. Джома. Толща согласно, с постепенным переходом залегает на нижне- и средненеврских отложениях. Граница между ними проводится по подошве мощной пачки песчаников, содержащей редкие линзы осадочных брекций.

Разрез толщи из-за слабой обнаженности изучен недостаточно. В составе ее преобладают песчаники массивные, иногда грубослоистые, образующие мощные (30–50 м и более) пачки, разделенные слоями алевролитов или пачками ритмичного переслаивания песчаников и алевролитов (0,5–2, реже 5–10 м). В песчаниках встречаются линзы гравелитов и мелкообломочных осадочных брекций.

Песчаники средние, реже крупнозернистые серые, синевато-серые полимиктовые, как правило, содержат мелкие угловатые обломочки черных алевролитов, редко обугленный растительный детрит. Реже отмечаются мелко- и тонкозернистые песчаники, обра-зующие прослои и пачки мощностью от 10–30 см до 3–15 м. В слое черных тонкозернистых алевролитах песчаников, переполненных обрывками обуглившегося растительного детритуса в обрывах левого берега р. Мухтеля, против устья р. Болодека в 1965 г. Т.А. Конинской были обнаружены обрывки перышек *Cladophorales* вр. (определ. В.А. Вахрамеева, ГИГ). Вероятно, здесь же ранее Д.И. Орловым (1947) были обнаружены остатки хвощей – *Rhipidophyllum staratschini* (определ. В.Л. Принады).

Мощность смыти условно оценивается в 2000 м. По составу и стратиграфическому положению она сопоставляется с мощной (свыше 2100 м) толщей песчаников средненеврского возраста, обнаруженной на побережье Ульбансского залива, которая охарактеризована Ф.А. Котлером (Горюхов и др., 1966; Шуршилина, Козлов и др., 1966). Упомянутые выше остатки *Rhipidophyllum staratschini* часто встречаются в юрских отложениях Бурейнского про-таба.

Верхняя толща (J_2^2) представлена, в основном, алевролитами и пачками ритмичного переслаивания их с песчаника-ми. Реже отмечаются отдельные пласти песчаников, линзы и про-слои кремнисто-глинистых сланцев, яйцевидных кремнистых пород и пластовые тела метабифирузиков. Толща выступает на дневную поверхность в виде двух полос северо-восточного простирания: первая прослеживается от правобережья р. Мухтеля, в ее среднем течении, до зал. Александри и далее в бассейн среднего течения р. Джома, вторая – от верховьев р. Болодеки до зал. Рейнеке. Поро-ды верхней толщи согласно залегают на толще песчаников (J_2^1), что установлено в среднем течении р. Лев.Лонгари. Нижняя гра-ница ее проводится по подошве мощной пачки (60–100 м) тонко-полостных алевролитов.

Нижние и средние горизонты смыти изучены по разрозненным обнажениям на правобережье р. Мухтеля. Здесь, ниже устья р. Чуподян, обнажаются тонкополосчатые черные и темно-серые алевролиты (2–5 м), содержащие пачки тонкого ритмичного переслаивания алевролитов и мелкозернистых песчаников и отдельные прослои и пласти (до 3–5 м) серых песчаников средние – до крупно-зернистых, полимиктовых, с характерными включениями мелких угло-вых и лепешковидных обломочков алевролитов. Мощность этой

части разреза 200-300 м. Виде, судя по отдельным обнажениям дортам правых притоков р. Мухгали, появляются более мощные (до 30-50 м) пачки среднезернистых песчаников, с редкими линзами осадочных брекчий, разделенные прослойками алевролитов и пачками (1-10 м) ритмичного переслаивания их с песчаниками - 150-250 м. Выше снова алевролиты тонкогалосчатые с редкими линзами и маломощными прослойками зеленых и красновато-бурых кремнисто-глинистых сланцев, юшмидильных кремнистых пород.

Средние и верхние горизонты толщи обнажаются по берегу

зал. Александрия, восточнее устья р. Гальманта. Здесь в низах разреза выступают песчаники среднезернистые полимитовые, обра- зующие слой мощностью 15–40 м и чередующиеся с пачками (12–30 м) ритмичного переслаивания алевролитов и песчаников. Видимая мощ- ность 160–200 м. Верхняя часть разреза сложена алевролитами, ритмично переслаивающимися с песчаниками или содержащими подчи- ненные будничированные прослойки их. Выделяются отдельные пласты (2–8 до 35 м) песчаников, иногда содержащих линзы гравелитов и осадочных брекчий. В алевролитах встречаются единичные маломощ- ные линзы зеленых и красновато-бурых яшмогидных кремнистых по- род и кремнисто-глинистых сланцев, содержащих остатки радиоля- рий: *Cenospshaera* sp., cf. *sphaerocoica* Zham., *Dictyocoer-*
halus ochoticus Zham., *Lithomitra* cf. *capitoidea* Zham.,
и представители родов: *Cenosphaera*, *Thecosphaera*, *Stylosp-*

haera (?), *Saturnalis* (?), *Porodiscus*, *Dictyastrum*, *Ha-
giastrum*, *Crucidiscus*, *Dicocolapsa* (?), *Tricolocapsa*,
Tricolocampae, *Dictyonitria*, *Stichomitra*, *Lithocampae*,
Stichocorys, *Eucyrtidium* (отред А.И. Жамойда, ВСЕГЕИ). Мощ-
ность этой части разреза 545–590 м, а общая видимая мощность
705–790 м. Выше – песчаники с линзами гравелитов и конгломератов
пенеплит при

ВЕРХНИЙ ОТДЕЛ

Келловейский — оксфордский ярус (J₃ с1-окз)

Мощность разреза 700-870 м.

Мощность толщи, по-видимому, не более 900—1100 м.

шо простирались к юго-западу и северо-востоку от этого

ника в нижних горизонтах тоже отмечены редкие линзы крем-ных пород (Зарембский, 1963г.). а на подстигающие горы Рыбачьего

маломощные пластовые тела диабазовых порфиритов (Ведеников и др., 1956г).

В красно-бурых яшмовидных кремнистых породах, залегающих в виде линз среди алевролитов в верховых р. Мутеля также обнаружены остатки радиолярий: *Cenosphaera*, *Cenellipsis*, *Hagiastrum*, *Dicocolapsa*, *Tricolocolapsa*, *Lithostrotbus*, *Lithomitra* (aff. *capitoides* Zham.) *Stichomitra*, *Lithocampre* с крупнопористыми ажурными скелетами (опись А.И. Жакобиты).

Келиковей-оксюбордские отложения обнажаются по побережью зал. Александра и прослеживаются на запад-юго-запад от верховьев р. Сакотян. Они представлены мощной толщей песчаников с прослоями алевролитов и пачками переслаивания их с песчаниками, с линзами осадочных брекций, с конгломератами, гравелитами и конглобекциями в основании. К этому же возрасту условно отнесена толща песчаников, гравелитов и конглобекций с прослойями и пачками алевролитов и кремнисто-глинистых пород, выступающая на Междуречье Лонгари - Грав.Лонгари. На среднерусских отложениях толща залягает, вероятно, с разрывом, но без видимого углового несогласия. В основании толщи на побережье зал. Александры, к востоку от устья р. Гальманга, в алевролитах и пес-

чниках отмечены линзы гравелитов, мелкоталечных конгломератов и контлобрекций. Конгломераты были встречены также на Гребне водораздела двух правых притоков р. Мухтал, в 7 км к востоку от г. Юхта.

В нижних горизонтах толщи, обнажающихся к западу от устья р. Гальянгра и представленных пестниками розово-серыми среди

незернистыми неслоистиями с подчиненными прослоями алевролитов, песчаников темно-серых мелко- и среднезернистых плохо сортированных неслоистых и тонкослоистых, часто содержащих растительные остатки, залегающими на Мадейре.

ним лептиг., соцветия остатки супиноговеческих эл.,
сф. *strajeskiana* Orb., *Thracia incerta* Desh.—Pleuronуа
sp., *Postepithyris* sp. (опред. Г.И.Кримтольва и Е.П.Бруд-
никой). Видимая мощность по разрезу 280 м. Далее, за полной
ручьи из-под эфузивов (ср. бб) обнаружены такие же песчаники
с прослоем (0,5-0,6 м) ракушника, с остатками *Pleurotusa* sp.
Astarte sp., *Tancredia* sp. В темно-серых песчаниках, в
1,5 км к востоку от устья прот. Ланту и у самого ее устья, на
пляже М.А.Ахметьевым и А.А.Козловым были обнаружены *Pleurotusa*
сф. *subpolaris* Kosch. *Tancredia* cf. *hattzi* Spath.

Условно к калловой-оксироду отнесены отложения, сидящие по подережью зал. Александры, западнее устья р. Гальманга. Породы интенсивно окваркованы и оротовикованы. Тонча, судя по характеру ритмов и наличию слепцов размыва на контактах находится в запрокинутом залегании. Контакт с толщей алевомолитов средней юры нарушен многочисленными разрывами. Обобщенный разрез ее выглядит следующим образом (снизу вверх):

1. песчаники массивные (от 5 до 10-15 м.редко 20-30 м.), разделенные простоями алевролитов (5-10 до 50-80 см), пачками губчатого ритмичного переклаивания их с песчаниками грубослоистыми (1-3 м). В песчаниках единичные растительные остатки	400 м
2. Ритмично переслаивающиеся алевролиты и песчаники	100-120
3. Чередование пачек песчаников (30-50, до 100-160 м), содержащих редкие прослои алевролитов или маломощные (0,5-2 м) пачки переслаивания алевролитов и песчаников, с более мощными (10-30 м) пачками переслаивания. В песчаниках редкие линзы осадочных фрекций и гравелитов	1000-1200

вания на контактах с линзами контлобрекий мало мощные прослои песчаников часто буднированы, а более мощные (10–15 см) разбиты на отдельные обломки овальной формы. Овальные формы отдельности характерны для песчаников, вмещающих линзы контлобрекий. Происхождение подобных пород, видимо, обусловлено, с одной стороны, конкремионными процессами, деформацией пластов при подводных оползаниях, размыве и взмучивании ссадков и, с другой – деформациями литифицированных пород при склаликообразовании. Аналогичные породы наблюдались на побережье зал. Александрии. Аналогичные породы наблюдались на побережье зал. Александрии, в правом борту долины р. Гальянтра и в 2 км северо-восточнее устья р. Чекинда, где они, вероятно, приурочены к основанию келловей-оксфордских отложений, а также к югу от рассматриваемой территории, на междуречье Ул.–Турки, в томле песчаников средней юры и в основании келловей-оксфордских отложений (Козлов и др., 1968).

Мощность толщи в северо-западной части территории составляет 1900–2100 м, а в восточной – видимая мощность ее не превышает 400–500 м. Возраст толщи, развитой на побережье зал. Александрии, определяется как келловей-оксфордский по упомянутым выше находкам фауны. Западнее, на простирации структур, на севере п-ова Токарев в ее основании найден келловейский аммонит (*Шуршина, Козлов и др., 1968*). Возраст толщи, развитой на междуречье Лонгари – Прав.Лонгари определен условно, по ее стратиграфическому положению.

Кимериджский – титонский ярусы ($J_3 km-t$)

Завершает разрез юры толща алевролитов, переслаивающихся с песчаниками, с подчиненными пачками песчаников и редкими прослоями и линзами кремнисто-глинистых сланцев и яшмовидных кремнистых пород. Развита она на правобережье р.Прав.Лонгари, в верховых руч. Мелкий и р.Лесная и на побережье зал.Александрии, к западу от м.Топографический.

Строение толщи в бассейне р.Лонгари изучено В.Э.Пилатимом (1967), который верхнюю ее часть отнес к падалинской и силинской свитам ($J_3 km$, $J_3 t$), а нижнюю – к ульбинской ($J_2 u-f$). Схематический разрез составлен им по линии канав от побережья руч. Мелкий – р.Прав.Лонгари до верховьев последней. На песчаниках с линзами контлобрекий и гравелитов ($J_3 cl-ox$) согласно залегают снизу вверх:

1. Алевролиты кремнисто-пелитовые темно-серые, иногда зеленоватые массивные, реже тонкослоистые, за счет прослоев (1–3 мм) песчаников или зеленых кремнисто-глинистых сланцев, с подчиненными прослоями песчаников (3–50 см) и единичными линзами гематитового переслаивания алевролитов и песчаников.

Мощность пачек 5–30 м. Редкие пласти (2–15 м) массивных среднезернистых песчаников • • • • • • • • • • • • • • • • • • 300 "

3. Чедулиющиеся песчаники мелко- и среднезернистые, алевролиты тонкослоистые и пачки ритмичного переслаивания песчаников и алевролитов. Мощность слоев пачек 10–30, реже 60–80 м. В верховьях р.Прав.Лонгари в алевролитах Н.И.Кесовских обнаружено ядро *Rhyndochonella sp.*, близкое к *R. microptera* Eichw. $x/$ (опред. А.А.Капицы) • • • • • • • • • • • • • • • • • 300–400 "

Общая мощность по разрезу 800–900 м.

На правобережье р.Лонгари, в ее нижнем течении выступает нижняя часть толщи. Разрез ее склонен с описанным выше. На побережье Сахалинского залива, к югу от м.Мофета, вероятно, обнаружены верхние горизонты толщи, представленные тонкополосатыми алевролитами и пачками ритмичного переслаивания их с песчаниками. Все породы здесь ортоигменты. В них в 1955 г. А.Д.Рыбакова обнаружена опечатка крупного аммонита, склонного, по устному заключению Г.Я.Крымгольца, с крупными юрскими аммонитами Торомского противба (Веденников и др., 1966).

С этими отложениями условно сопоставляется южноильская толща, выступающая на побережье зал.Александрии, западнее м.Топографический. Здесь наблюдается согласное взаимотношение ее с песчаниками келловей-оксфорда (?). В основании толщи залегают тонколосчатые алевролиты (35 м) и песчаники с прослоями алевролитов (25 м). Выше наблюдается довольно монотонное чередование пачек (10–50 м) ритмичного переслаивания алевролитов и песчаников (мощность ритмов от 3–5 до 15–25 см), тонколосчатых алевролитов (6–10 м) и пластов песчаников (3–15 м). Выделяются отдельные пачки неравномерного (0,2–3 до 5 м) чередования песчаников с линзами контлобрекий и гравелитов.

ков, тонкоголосчатых алевролитов и тонкого ритмичного переслаивания песчаников и алевролитов. Мощность таких пачек от 20-40 до 90 м. В алевролитах встречается растительный детрит и многочисленные следы червей иловат. Изредка среди них выделяются простой зеленовато-серых яшмовидных кремнистых пород. Видимая мощность по разрезу 640-690 м.

Общая мощность толщи составляет 800-1000 м. Возраст ее определяется стратиграфическим положением между келловей-оксфордскими отложениями и горнинской свитой валанжина. Аналогом толщи выделены южнее в бассейнах рек Джики, Сомя, Бичи. По составу и стратиграфическому положению она может быть сопоставлена и с падалинской свитой Комсомольского района (Савченко, 1961).

МЕЛОВАЯ СИСТЕМА

Нижний отдел

Валанжинский ярус

Валанжинские отложения выступают в восточной части территории. Выделяются три толщи: горнинская свита – преимущественно песчаниковая, нижняя подсвита пионерской свиты – песчано-алевролитовая и верхняя – преимущественно алевролитовая. По строению эти отложения, особенно нижняя толща, отличны от стратотипических разрезов синт., выделенных Е.Б.Бельтевовым (1958ф), П.П.Емельяновым, Т.Д.Зоновой и Л.А.Мещеряковой (1957ф) в Комсомольском районе. В то же время, по набору пород, составу ископаемой фауны и стратиграфическому положению они склонны, что и позволяет проводить достаточно уверенное сопоставление.

Корюно-Сиите (Ст-1^{дг}) отнесена толща песчаников с подчиненными прослойями алевролитов, пачками флишидного переслаивания алевролитов и песчаников, прослойми и линзами гравелитов и осадочных брекчий. Нижняя граница свиты проводится по подошве мощной пачки песчаников с линзами и прослойями гравелитов. На подстилающих верхнепирских отложениях свита залегает, по-видимому, согласно. В большинстве случаев между ними наблюдаются тектонические контакты.

Строение свиты детально изучалось по береговым обрывам Сахалинского залива. Здесь, в интервале 7-9 км к северо-западу от устья р.Бол.Вилки обнажается лежачее крыло запрокинутой антиклинальной складки, нарушенное многочисленными разрывами и зонами

смятия. Поэтому мощность некоторых пачек и всего разреза установлена не вполне определенно. Разрез свиты, наиболее низкие слои которой обнажены в 7,3-7,5 км от устья р.Бол.Вилки, следующий (снизу вверх):

1. Песчаники среднезернистые массивные с редкими маломощными прослойями алевролитов или пачками (0,5-2 м)	
тонкого ритмичного переслаивания алевролитов и песчаников	
2. Чередующиеся песчаники (слои 5-8 м) тонкого ритмичного переслаивания алевролитов и песчаников 80-100"	
3. Песчаники массивные средне- до крупнозернистых 40"	
4. Чередующиеся песчаники (1-2, до 5 м), алевролиты (5-20 см) или пачки (0,5-2 м) ритмичного переслаивания 70-80"	
5. Более грубое и неравномерное (1-12 м) чередование тех же пород; редкие маломощные линзы осадочных брекчий 70-80"	
6. Алевролиты черные неслоистые, иногда тонкоголосчатые; отдельные прослой песчаников мощностью 0,5-1 м 70-80"	
7. Песчаники массивные с редкими прослойами алевролитов 24"	
8. Алевролиты с редкими прослойами песчаников 100-120"	
9. Чередующиеся песчаники (0,5-0,6, реже до 5 м) и пачки ритмичного переслаивания их с алевролитами (0,3-5 м) 70"	
10. Чередующиеся песчаники (слои 5-20, реже 1-2 м) и пачки (1-10 м) тонкого, реже грубого (0,3-0,5 м) ритмичного переслаивания алевролитов и песчаников 100-120"	
11. Песчаники массивные с редкими прослойами алевролитов 90"	
12. Песчаники массивные (слои 2-8 м), чередующиеся с пачками (0,2-3 м) ритмичного переслаивания песчаников и алевролитов, редкие линзы осадочных брекчий 100-120"	
13. Песчаники массивные среднезернистые 18"	
14. Ритмично переслаивающиеся алевролиты и песчаники 22"	

15. Песчаники (слой 1,5-4 м) с прослойями алевролитов	45 м
16. Песчаники грубозернистые с линзами гравелитов и осадочных брекчий мощностью 0,2-0,6 м	14 "
17. Чертедующиеся (через 0,3-2 м) песчаники среднезернистые, алевролиты и пачки ритмичного переслаивания гравелитов и осадочных брекчий	
18. Песчаники с редкими прослойями алевролитов.	220-240 "
19. Тонкое ритмичное переслаивание алевролитов и песчаников	60 "
20. Песчаники (1,5-4 м) с прослойями (до 0,2 м) алевролитов. В подошве линзы осадочных брекчий	25 "
21. Песчаники (слой от 1 до 8 м) с прослойями алевролитов, реже пачки ритмичного переслаивания их мощностью 0,5-1,2 м (в средней части две пачки 15 и 18 м). 200-220 "	
Выше залегают алевролиты нижней полосы пионерской свиты. Видимая мощность смыты по разрезу 1535-1690 м, а общая мощность, вероятно, достигает 1800-2000 м.	

Строение свиты выдерживается по простиранию. Сходный разрез ее установлен на междуручье Пряя.Лонгари - Ягодный (Пилацкий, 1967ф) и далее к юго-западу на сопредельных территориях (Козлов и др., 1968ф; Шуршалина, Козлов и др., 1966ф).

Возраст свиты определяется ее стратиграфическим положением. В верховье р.Бол.Вилки найден обломок *Aucella* sp. *indet* (Пилацкий, 1967ф). Юго-западнее, на простирации структур свиты охарактеризована фауной ранне-средневаланжинских ауцелл (Козлов и др., 1968ф).

П и о н е р с к а я с в и т а разделена на две подсвиты: нижнюю и верхнюю.

В строении нижней подсвиты (Ст 1-4п.) в отличие от сходной по составу горючей свиты песчаники и алевролиты играют примерно равную роль. Встречаются линзы и прослойи гравелитов и осадочных брекчий. Нижняя граница подсвиты проводится по подошве мощной пачки алевролитов, согласно залегающей на песчаниках горючей свиты, что наблюдается на берегу Сахалинского залива в 9 км к северо-западу от устья р.Бол.Вилки.

Наиболее полный разрез подсвиты составлен по берегу Сахалинского залива в интервале 4,3-6,7 км от устья р.Бол.Вилки. Здесь на северо-западном крыле антиклинальной складки обнаружены (снизу вверх):

I. Песчаники среднезернистые с прослойями алевролитов	45 м
2. Ритмично переслаивающиеся тонкополосчатые алевролиты и песчаники /тонкое переслаивание (1-5 см) и более грубое (10-15 см)/	5 м
3. Песчаники неслоистые (1-4 до 9 м), реже грубо-слоистые (2-5 м), чередующиеся с алевролитами (1,5-2 м) или пачками (1,5-2,5 м) ритмичного переслаивания алевролитов и песчаников. Отдельные линзы осадочных брекчий	25 "
4. Чертедующиеся пачки (0,5-3 м) тонкого и грубо-ритмичного переслаивания алевролитов и песчаников. В алевролитах остатки Релеустрова sp. x/	50 "
5. Песчаники неслоистые (3-4 м), реже грубозернистые (2-6 м), чередующиеся с пачками ритмичного переслаивания алевролитов и песчаников, прослойями и линзами осадочных брекчий и гравелитов мощностью 0,2-1,2 м. В породах обтуренные остатки растений	28 "
6. Алевролиты тонкослоистые с редкими слоями (0,1-0,5, реже до 2,5 м) песчаников	45 "
7. Песчаники неслоистые и грубозернистые (от 1-3, реже до 10 м), чередующиеся с пачками (0,3-1 м). 8. Чертедование пачек (3-8 м) тонкого ритмично-переслаивания алевролитов и песчаников, тонкополосчатых алевролитов, реже пластов (2-8 м) массивных песчаников. В алевролитах остатки Релеустрова sp.	40 "
9. Неравномерное чередование песчаников (от 0,2-0,5, реже до 5 м) и пачек ритмичного переслаивания песчаников и алевролитов мощностью 0,3-1,5 м, реже 5-12 м	150 "
10. Песчаники массивные с линзами и прослойями (от 0,2-0,5 до 1 м) осадочных брекчий	28 "
II. Песчаники (от 2-4, реже до 12 м), чередующиеся с пачками ритмичного переслаивания алевролитов и песчаников мощностью от 1-6 до 16 м, реже с алевролитами тонкоболюстными (1,2-2,5 м). В алевролитах остатки <i>Aucella</i> sp.	140 "
12. Песчаники массивные	20 "

X/ Здесь и далее соборы авторов Т.А.Коньгиной, И.С.Денисенко, определения В.Н.Верематина.

13. Песчаники с прослойками алевролитов II M

14. Флишиомное переслаивание алевролитов и песчаников. Мощность ритмов в нижней части слоя 5-7 см, в верхней - от 5-15 до 20 см, прослои песчаников в них соответственно 0,5-3 и от 2-5 до 10 см. Отделные пачки алевролитов неслюстисты и тонколитичатых мощностью 2-6 м. В алевролитах многочисленные остатки <i>Aucella cf. volgensis</i> Lah., A. cf. <i>keyserlingi</i> Lah. 170 "
15. Песчаники серые массивные (0,5-3 м), разделенные тонкими прослойками алевролитов или тонкосернистых песчаников, реже пачками ритмичного переслаивания (0,1-0,3 м) 44 "
16. Песчаники (0,1-0,6 м), разделенные тонкими прослойками алевролитов. В основании слоя (0,2-0,3 м) осадочных брекчий и гравелитов с многочисленными <i>Aucella cf. volgensis</i> Lah., A. cf. <i>keyserlingi</i> Lah. 36 "
17. Песчаники (0,2-8 м), разделенные алевролитами (от 1-20 см, редко до 2 м), реже пачками ритмичного переслаивания алевролитов и песчаников (0,3-0,8 м, одна - 12 м) 120 "
18. Алевролиты тонкослюстистые с <i>Aucella</i> sp. 23 "
19. Переслаивание, аналогичное сл. 16 30 "
20. Алевролиты неслюстистые с редкими прослойками песчаников (5-20 см) и пачками (6-9 м) ритмичного переслаивания их с <i>Aucella cf. volgensis</i> Lah., A. cf. <i>keyserlingi</i> Lah. 67 "
21. Песчаники (3-8 м) с прослойками алевролитов. В основании и верхней части слоя линзы осадочных брекчий 60 "
22. Ритмично переслаивающиеся алевролиты и песчаники с <i>Aucella</i> sp. 60 "
23. Песчаники от средне- до грубозернистых с прослойками и линзами осадочных брекчий 20 "
Выше алевролиты верхней подсвиты.
Видимая мощность по разрезу 1232 м.

Строение подсвиты в целом выдерживается по простиранию. В то же время строение и мощность отдельных пачек могут изменяться буквально на протяжении 30-50 м. В массивных песчаниках повторяется прослой алевролитов или осадочных брекчий, в алевролитах - прослой песчаников, мощность ритмов в пачках переслаивания постепенно увеличивается от 5-10 до 15-30 см. В частности,

сходный, но не идентичный разрез подсвиты устанавливается на побережье на первом километре от устья р.Бол.Вилки.

Общая мощность подсвиты составляет 1100-1300 м.

Заланный возраст подсвиты, помимо приведенной выше

фразы аудиол., подтверждается находками *Aucella cf. classicollis* Keys. в верховых руч.Лигодный (Заремский, Пилапкий и др., 1963) и в среднем течении р.Бол.Вилки, где В.Э.Пилапким (1967) собраны: *Aucella cf. keyserlingi* Lah., A. cf.

volgensis Lah., A. aff. *sublaevis* Keys. (?), A. cf. *inflata* (Toula) Lah., A. cf. *jaskovi* Paul. A. ex. et. *wollosovitschi* Sok. A. cf. *crassa* Pavl. (определ. А.А.Катник).

В.Э.Пилапкий, также изучавший обнажения по берегу Сахалинского залива, считает, что приведенные разрезы характеризуют пиванскую свиту. Мы не разделяем эту точку зрения, так как и в береговых обнажениях на двух участках (0,3-5 км и 4,5-7,3 км от устья р.Бол.Вилки) и на между речь Сред.Ул - Ягодный четко устанавливается, что песчано-алевролитовая толща залегает стратиграфически ниже алевролитовой, которые мы и относим соответственно к нижней и верхней подсвитам пиванской свиты.

Аналогичная по составу и стратиграфическому положению толща прослежена на юго-запад до р.Амгунь и далее до бассейна р.Джатка (Козлов и др., 1968; Шуршалина и др., 1968; Погалов и др., 1968).

Верхняя подсвита (Сг 1 *нр 2*) сложена алевролитами и пачками флишиомного переслаивания их с песчаниками. Подчиненную роль играют песчаники, прослои и линзы осадочных брекчий. Подсвита обнажается на правобережье р.Сред.Ул, га побережье Сахалинского залива, а также в бассейне среднего и нижнего течения р.Бол.Вилки. На отложениях нижней подсвиты она залегает согласно с постепенным переходом. Граница между подсвитами проходит по континту пачки песчаников с линзами гравелитов и осадочных брекчий мощной пачки алевролитов и флишиомного переслаивания их с песчаниками. Подсвита хорошо картируется благодаря резкому преобразованию в ее составе алевролитов.

Полного достоверного разреза подсвиты составить по берегу Сахалинского залива не удалось, так как она обнажается в отдельных блоках, которые трудно увязать между собой из-за отсутствия надежных маркирующих горизонтов. В то же время установлено, что в целом разрез наращивается по направлению к северо-западу от устья р.Бол.Вилки. В 800 м от устья, выше пачки песчаников с

линзами осадочных брекчий нижней подсвиты согласно залегают (снизу вверх):

1. Алевролиты тонкослойные с редкими прослоями песчаников	27 м
2. Ритмично переслаивающиеся алевролиты и песчаники	16 "
3. Чередующиеся пачки ритмично переслаивающихся песчаников и алевролитов (2-3 до 8 м), алевролитов (1-3 м) и пластов песчаников мощностью от 0,5-2 до 5 м	80-100 "
4. Песчаники с линзами осадочных брекчий	8 "
5. Флишиодные тонкое переслаивание глинистых сланцев и алевролитов; отдельные прослои песчаников	50-60 "
6. Алевролиты темно-серые тонкополосчатые, реже черные неслоистые. Включения округлых окремелых песчанистых конкретий диаметром 2-5 см	20 "
7. Алевролиты темно-серые и глинистые сланцы с прослоями песчаников, в верхней части пачка (2,5 м) ритмичного переслаивания песчаников и алевролитов	35-40 "
8. Флишиодное переслаивание песчаников и алевролитов, в основании - песчаников и флишиодных глинистых сланцев. Отдельные прослои песчаников (2-3 м)	35-40 "
9. Алевролиты, чередующиеся с пачками ритмично-точечного переслаивания их с песчаниками. Мощность слоев и пачек 2-10 м	50 "
10. Алевролиты, аналогичные сл. 6 с остатками <i>Aucella</i> sp.	60 "
II. Алевролиты черные неслоистые с редкими прослоями песчаников, неравномерно чередующихся с песчаниками. Мощность слоев алевролитов 3-15 м, песчаников 2-7 м	110-125 "
12. Алевролиты тонкослойные темно-серые (6-20 м) в неравномерном чередовании с песчаниками (3-8 м). В средней части пачка (22-25 м) грубообломочные песчаников. В алевролитах неопределенные остатки ауцеля	90-100 "
13. Чередование пачек ритмичного переслаивания алевролитов и песчаников и грубообломочных песчаников. Мощность слоев и пачек от 4-8, реже до 10-15 м	50 "

14. Песчаники (0,2-0,6, реже до 2 м), переслаивающиеся с алевролитами (0,2-0,5 м)

15. Песчаники массивные

16. Алевролиты темно-серые тонкополосчатые с редкими будничеванными прослоями песчаников (5-20 см)

17. Алевролиты тонкополосчатые, чередующиеся с пачками тонкого ритмичного переслаивания алевролитов и песчаников. Мощность слоев и пачек 2-5, реже до 10 м

18. Песчаники (6-8 м) неслоистые, реже грубообломочные, чередующиеся с пачками (0,5-2 м) ритмичного переслаивания алевролитов и песчаников

19. Алевролиты черные неслоистые, реже тонкополосчатые с редкими прослоями (3-7 см) песчаников. Выделяя мощность 40-50 м, а с учетом крупной осьи не менее . 120-150 "

Всего по разрезу около 1000-1100 м.
Алевролиты с остатками ауцеля, чередующиеся с грубообломистыми песчаниками и пачками ритмичного переслаивания, обнажаются по берегу и северо-западнее, согласно сменяя породы нижней подсвиты в интервале 6-7 км от устья р.Бол.Вилки.

В составе подсвиты на правобережье р.Сред.Ул, по данным В.Э.Пильского (1967Ф), также основную роль играют тонкополосчатые алевролиты и пачки флишиодного переслаивания их с песчаниками.

Общая мощность подсвиты 1100-1200 м.

Валакжинский возраст подсвиты доказывается находками фауны ауцеля. В 1961 г. Д.И.Гусев (Зарембский, 1963Ф) на побережье Сахалинского залива, в 2,8 км от устья р.Бол.Вилки в алевролитах (очевидно, из сл.12 вышеуказанного разреза) собрал большую коллекцию ауцеля, среди которых А.А.Калина определил: *Aucella* cf. *terebatilloides* Lah., *A. cf. wollossowitschi* Sok., *A. cf. volgensis* Lah., *A. cf. tolli* Sok., *A. cf. crassicollis* Keys., *A. cf. uncitoides* Pavl., *A. cf. bulloides* Lah.

Верхняя подсвита пионерской свиты, так же как и нижняя, выделена в последние годы на простирации структур вплоть до базы сейна Р.Джатка.

В е р х н и й о т д е л

Верхнелемовские образования в районе распространены отрывично.

К б о л ь ь б и н с к о й с з и т е ($Cr_2O_3 \approx 66\%$) относены эффиузины среднего состава — порфириты, андезиты, их туфы и туфобрекции, слагающие массив горы Ландорт и участок побережья зал. Александры от устья прот. Далту до р. Гальмантра и несколько

более мелких покровов в нижнем течении р. Мухтеля, на горе Малахта и между рече Малахта — Мухтеля.

В основании покрова г. Ландорт на отдельных участках выделяется пачка мелкообломочных туфобрекций и туфоконгломератов с обилием угловатых и окатанных обломков андезитов и осадочных пород размером от 0,5-2 до 5-6 см в поперечнике. Мощность пачки от 10-30 до 50-80 м. На берегу зал. Александры к западу от устья р. Гальмантра туфобрекции с резким угловым несогласием залягают на южных отложениях. Выше по разрезу они сменяются лавами птиоклазовых и роговообманковых андезитов и андезитовых порфиритов мелкогранитового и афирового строения. Резко подчиненную роль играют андезито-базальты и дациты. Лавы обладают грубой (от 0,5-1 до 3-5 м) пластовой отдельностью. На берегу зал. Александры в нижних горизонтах толщи наблюдается чередование покровов лав и туфов андезитов различной окраски — от темно-серой с желтым оттенком до светло-зеленой. В некоторых покровах четко проявляется стольчатая отдельность с шести-восьмитрехнным поперечным сечением. Общая мощность свиты на этом участке, исходя из разницы отметок подошвы и кровли 250-300 м.

На вершине и западных отрогах горы Малахта свита представлена однообразными темноокрашенными лавами и туфобрекциями андезитовых порфиритов, причем породы местами залягают с углом падения до $36-60^{\circ}$, очевидно, согласуясь с древним рельефом.

Остальные покровы сложены андезитами; мощность их не превышает 60-100 м.

Результаты химического анализа двух образцов андезитов с берега зал. Александры приведены в табл. I.

Толща эффиузин среднего состава сопоставляется с большинской свитой Нижнего Приамурья (санктон-кампан) с некоторой долей условности. Там эта свита обычно тесно связана с морскими верхнелемовыми отложениями и в составе ее значительную роль играет

приокластические породы. Абсолютный возраст андезитов с берега зал. Александры (I анализ в лаборатории КГЭ ДВТУ) составляет 82 ± 2 млн. лет.

К т а т а р к и н с к о й с з и т е ($Cr_2O_3 \approx 44\%$) условно относены эффиузины кислого состава — кварцевые порфириты, фельзиты, дациты и их туфы и туфобрекции, слагающие осевую часть и восточные отроги хр. Мевачан к западу от г. Малахта и ряд более мелких покровов в верховьях рек Малахта, Болодека и на между-речье Мухтеля — Мангули.

Кислые эффиузины несогласно перекрывают южные отложения и эффиузины бильбинской свиты. Кругопадающий контакт с последней наблюдался М.А. Ахметьевым на северо-западных склонах г. Малахты. Там же было установлено, что в лавобрекциях и итнимитах кислого состава присутствуют многочисленные обломки андезитов и порфиритов бильбинской свиты.

На восточных склонах хр. Мевачан толща представлена, главным образом, туфами, туфобрекциями и итнимитами риолитового и дацитового состава. Подчиненную роль играют кварцевые порфириты и фельзиты. Мощность толщи здесь составляет 350-400 м.

В верховых рек Болодека и Малахта маломощные (80-120 м) покровы сложены кварцевыми порфиритами и фельзитами. На между-речье Мухтеля — Мангули развиты туфы и туфобрекции и дацитового и риолитового состава, реже фельзит-дациты и андезито-дациты (80-100 м), сменяющие вверх по разрезу кварцевыми порфиритами и фельзитами (20-30 м). Породы здесь гипотермально изменены, окварцированы и серпентинизированы, часто преобразованы во вторичные кварциты. Такие же кварциты отмечаются среди покровов в верховьях р. Малахта.

Породы, развитые на восточных склонах хр. Мевачан, состоят из многочисленных угловатых, реже округлых обломков кварцевых порфиритов, дацитов, андезитов размером от 3-10 до 12-15 см, округлых зерен кварца и табличек полевых шпатов, цементированных пелотом материалом, состоящим из частичек лейкогранитированного и переработанного стекла. В шлифах отмечается характерная "структурка текучести", свойственная лейкогранитам, возникающая в результате изгибаания полупластичных частичек стекла вокруг ранее сформированных кристаллов.

Результаты химического анализа двух образцов — кварцевых порфиритов с правобережья р. Мангули и кварцевых порфиритов из верховьев р. Болодека приведены в табл. I.

Таблица I

Индекс	Позднегео- логиче- ские экстру- зии (Сг2 бт)	Позднегео- логиче- ские экстру- зии (Сг2 бт)									Позднегео- логиче- ские интрузии (т8 Сг2)								Палеогеновые интрузии (т12 бт)				Палеогеновые интрузии (т12 бт)				Раннечетвертичные интрузии (т9 бт)				Раннечетвертичные экструзии (т9 бт)			
1	2	3	4	5	6	7	8	9	10	11	12	13	14	15	16	17	18	19	20	21	22	23	24	25	26	27	28	29	30	31	32	33	34	35

Значение абсолютного возраста кварцевых порфиров с г. Малахта – 94 млн. лет (лаборатория КГБ ДГТУ, 1966) – является, вероятно, заниженным. По характеру строения и набору пород толща кислых эфузивов склона с Тагаринской свитой Нижнего Приамурья, где по находкам листовой флоры и ланям определения абсолютного возраста (84–75 млн. лет) принято относить ее к сенону и даже точнее, к кампану.

ПАЛЕОГЕНОВАЯ СИСТЕМА – ОЛИГОЦЕН-НЕОГЕНОВАЯ СИСТЕМА –

МИОЦЕН

К бирандийской свите (P_{3-N_1} , b_4) условно отнесены рыхлые породы, залегающие в Мухтельской и Ул-Лонтарийской впадинах под четвертичными или плиоценовыми отложениями и не обнажающиеся на дневной поверхности (см.рис. 1).

Присутствие этих пород установлено с помощью вертикального электротомонитирования (ВЭЗ), в связи с чем в составе свиты можно говорить лишь предположительно. По данным ВЭЗ в северо-западной части Мухтельской впадины развита довольно мощная толща рыхлых пород, область распространения которой ограничена на юго-востоке разломом. Характерные низкие удельные сопротивления (10–50 Ом·м) позволяют предположить, что данная толща склона по составу с бирандийской свитой, развитой в Эврено-Чукчагирской, Усалгинской и других впадинах к юго-западу от данной территории (Горохов и др., 1966; Потапов и др., 1966; Шурталова, Козлов и др., 1966) и представлена, в основном, глинами, песками, реже гальниками с прослойями слабосланцевитированных алевролитов и песчаников. Мощность свиты, по данным ВЭЗ, составляет 200–350 м (максимальная – для Мухтельской впадины). Возраст бирандийской территории (Горохов, Караваев и др., 1966; Потапов, Вильянцев и др., 1966).

Мужтельской впадиной ограничено распространение собственно бирандийской свиты на востоке. В пределах Ул-Лонтарийской впадины, по данным вертикального электротомонитирования, в не-посредственной близости от южной границы района работ (Зарембский и др., 1963) также установлено наличие довольно мощной толщи (удельные сопротивления пород 30–100 Ом·м), которая является, по-видимому, возрастным аналогом бирандийской свиты. По аналогии со строением Бекчинской впадины, на сме-

рийской впадине олигоценовых и миоценовых пород, залегающих под плиоценовыми образованиями (Козлов и др., 1968). В составе их принимают участие слабосланцевитированные алевролиты, песчаники, аргиллиты, галечники, редко конгломераты. Мощность толщи, по данным ВЭЗ, увеличивается от бортов к центру впадины от 10 до 250 м. Возраст пород обоснован флористически и палинологически на снежной с юга территории (Козлов и др., 1968).

НЕОГЕНОВАЯ СИСТЕМА

Плиоцен (N_2)

Плиоценовые отложения выполняют Ул-Лонтарийскую впадину, в краевых частях которой они выходят на дневную поверхность, а в центре погружаются под четвертичный аллювиум. Представлены они, по данным поискового бурения, глинами, песками, галечниками, слабосланцевитированными конгломератами, глинами и редкими прослойями и линзами торфоз линитов, бурых углей (Зарембский и др., 1963; 1964; 1965). Нижняя граница толщи не установлена. На соседней с юга территории в Бекчинской впадине они с разрывом перекрывают породы олигоцен-миоцена (Козлов и др., 1968).

По правобережью Янзовоев р. Лонтарии и в бассейне р. Малахта, с поверхности залегают галечники с примесью валунов, сланцевитированные песчано-глинистым материалом с прослойями (до 2,5 м) плотных песков. Обломочный материал в сильно выветренном состоянии, различной степени окатанности и разнообразного состава: преобладают роговики, порфириты, гранодиориты, песчаники, алевролиты, кварц, кварцевые порфириты (Пляцкий и др., 1967).

Ниже по разрезу под четвертичными отложениями в долинах рек Малахта и Лонтара залегают более тонкослоистые породы. Они представлены переслаивающимися песками сферами и листами плотными диагенезированными и глинами сферами опессионированными. В породах встречаются прослойи бурого угля (от 5–10 см до 1,5 м), линитов и углецифрированного торфа (до 1 м), а также галечников с песчаным и глинистым заполнителем (до 1–1,5 м). Галька различной степени окатанности и состава, часто в сильно выветрелом, разрушенном по дресвы состоянии.

По направлению к бортам впадины вышеописанные породы фациально замещаются глинами с галькой преимущественно щебен-

окатанности и перекрываются галечниками и слабосцепментироваными конгломератами.

На смежной с юга территории вскрытая мощность отложений составляет 90 м, полная мощность не установлена; судя по данным ВЭЗ (Заремский и др., 1963), Козлов и др., 1968), она достигает 250 м, увеличиваясь от бортов к центру впадины.

Плиоценовый возраст пород обоснован палинологическими данными на смежной с юга территории, где в них определены плиоценовые спорово-пыльцевые спектры (Заремский и др., 1965).

ЧЕТВЕРТИЧНАЯ СИСТЕМА

Четвертичные отложения, широко развитые на изученной территории, выполняют Мухтельскую, Ул-Лонтарийскую впадину и долины рек и покрывают почти сплошным чехлом склоны и вершины гор.

Стратиграфическое расчленение их произведено на основании спорово-пыльцевого анализа, в результате чего установлены верхне-четвертичные и современные морские, аллювиальные, органогенные, различные типы склоновых образований. Мощность отложений достигает во впадинах (с учетом данных ВЭЗ) 30-50 м, в долинах рек она не превышает 5-15 м. Кроме того, встречены нижнечетвертичные (?) образования, представленные экструзиями долеритов и базальтов.

В е р х н е ч е т в е р т и ч н ы е о т л о ж е н и я

Среди верхнечетвертичных отложений выделяются верхняя и нижняя части.

Нижняя часть (Q_1^2)

Морские отложения образуют в Мухтельской впадине аккумулятивную равнину, осложненную серией береговых валов, а также террасу относительной высотой 10-20 м на побережье зал. Рейнеке (см. рис. 3). Породы, по-видимому, без размыва залегают на более ранних верхнечетвертичных образованиях и почти повсеместно перекрыты современными органогенными образованиями. Они представлены галечниками, гравийниками, песками, глинами, суглинками.

В центральной части Мухтельской впадины зондировочным бурением вскрыты глины, суглиники, серые, зеленовато-серые с прослойками (1-2 м) песков, серых, голубовато-серых разновозрастных, частично иловатых полимиктовых и галечников с песчано-глинистым заполнителем. Вскрыта мощность 3-5 м. Береговые эзмы и участок равнины к востоку от оз. Мухтеля сложены переслаивающимися (0,1-3,5 м) галечниками, гравийниками, песками, глинами, с включением тальки, гравия. Галька обычно хорошей степени окатанности, часто дискоидальной формы, различных по составу пород (песчаники, эфузивы, алевролиты, граниты, аргиллиты). Отложения, как правило, сцепментированы гидроокисями железа. Вскрыта мощность 5-7 м.

Морская терраса на побережье зал. Рейнеке сложена галечниками, песками, переслаивающимися и фациально замещающимися.

Морская терраса высотой 20-40 м развита и по восточному борту приуставной части долины р. Лонтары, где верхнечетвертичные галечные и валунно-галечные отложения мощностью 5,5 м залегают на породах плиоценового возраста (см. рис. 3).

Мощность пород в центральной части Мухтельской впадины составляет с учетом данных ВЭЗ, 20-30 м, мощность аккумулятивного чехла на террасах не превышает 5-10 м.

Морской галеэис пород, слагающих 20-40-метровую террасу, установлен по данным диатомового анализа на соседней территории в районе западного побережья Николая (Чемков, 1957). Отложения, не выходящие на поверхность, скорее всего, тоже имеют морское происхождение, так как образуют непрерывный разрез с перекрывающимися более поздними морскими верхнечетвертичными породами. Возраст отложений обоснован данными палинологического анализа на смежных территориях (Шуршалина, Козлов и др., 1964; Овчинников и др., 1968).

Верхняя часть (Q_1^2)

Галечники с гравийно-песчаным заполнителем; галька различной степени окатанности от угловатой до лискоидальной формы, чаще хорошей окатанности, диаметром от 3-5 до 8-10 см, встречаются валуны диаметром 15-30 см. Состав: песчаники, роговики, эффиузи- вы, граниты. Пески бурые, желтовато-серые, часто оклененные, от мелко- до крупнозернистых, полимиктовые. Вскрытая мощность 8-12 м.

Полная мощность пород составляет 10-20 м.
Морской генезис пород, помимо их местоположения на берегу моря и характера осадков (только лихеноидной формы, слоистость пород), подтверждается тем, что они образованы береговые валы в северной части Мужельской впадины.

А л л о з и а л ы н е о т л о ж е н и я образуют надпойменную террасу относительной высотой 4-8 м, развитую в долинах почти всех рек района^{1/}. Они с разным залегают на мезо-зойских или плиоценовых пород, в них вложены современные аллювийные отложения. Аллювий представлен галечниками, песками, гравийниками, реже валунниками, глинями, суглинками.

Так, в уступе террасы к руслу р. Мужеля сверху обнаруживаются пески желтые мелкозернистые с включениями гравия и гальки (мощность 0,5 м), которые сменяются вниз по разрезу чередованием прослоев (5-30 см) гравийно-галечных отложений, слабосцепленных ровных песков и галечно-гравийных отложений. Мощность 3,5 м. Обломочный материал различной степени окатанности и петрографи-ческого состава (песчаники, алевролиты, эффиузины, роговики, реже граниты). В долине р. Малахта поисковым и зондировочным бурением установлено, что гравийно-галечные отложения перекрыты сверху глинями и суглинками серыми, голубовато-серыми, содержащими до 10-15% включения гравия и гальки, мощностью 2-3 м. (Зарембский и др., 1963).

Мощность аллювиальных отложений не превышает 5-10 м.

Возраст отложений определен с помощью палинологического анализа. Спорово-пыльцевые спектры, установленные В.Ф.Морозовой и П.Н.Соколовой в образцах морских отложений, в центральной части Мужельской впадины (Шуршалина, Козлов и др., 1968) и аллювиальных отложений в долине рек Мужеля, Малахта (Козлов и др., 1968; Белеников и др., 1956) указывают на холодные климатические условия второй половины позднечетвертичной эпохи. В их составе преобладают (до 50-90%) кустарниковые виды береси-

(*Betula exilis* Suc., *B. ovalifolia* Rupr., *B. middendorffii* Tautv. et Мей. и ольхи. Меньше встречено пыльцы древесных видов береси (10-40%) и ольхи (4-13%). Пыльца хвойных представле-на кедровым стланником (1-30%), сосновой (2-2,8%), единично лиственницей. Листвы трав много (40-70%) и представлена она злаками, зерновыми и разнотравием, среди которых отмечаются такие холодолюбивые представители, как *Polygonaceae* (12-16%). Среди спор преобладают зеленые, либо сдвиговые мхи переподстилающие холодолюбивые виды — *Selaginella sibirica* L., *Lycopodium alpinum* L.

С о з р е м е н н и е о т л о ж е н и я

Породы рассматриваемого возраста представлены смешанными делювиальными и проловильно-делювиальными отложениями, а также различными типами смешанных склоновых образований^{2/}. Последние покрывают почти сплошным чехлом (мощностью 0,5-3 м) склоны и вершины гор и представлены щебнем, дресвой, глыбами с суглинистым, супесчаным или песчаным заполнителем. Дельвиальные и проловильно-делювиальные отложения распространены незначительными участками в краевых частях впадин и долин рек, где они перекрывают, в большинстве случаев, до четвертичные, реже — верхне-четвертичные отложения, частично замещая последние. Они представ-лены суглинками, супесями с включениями дресвы, щебня, глыб, ре-же гальки и валунов (20-40%). Мощность пород 1-6 м.

Возраст отложений определяется по соотношению их с верхне-четвертичными породами, а также по сопоставлению с аналогичными образованиями прилегающих районов Нижнего Приамура, где уста-новлено, что время наиболее интенсивного их формирования приходится на конец позднечетвертичной — начало современной эпохи.

С о з р е м е н н и е о т л о ж е н и я

На рассматриваемой территории развиты современные морские, гидровильные и органогенные образования. Часть их на геологическом плане показана.

^{1/} На геологической карте показаны лишь в долинах рек Мух- тель, Малахта.

В чешской карте не отображена, так как не выражается в масштабе, в некоторых случаях по той же причине показаны нерасчлененные морские и аллювиальные отложения. Органические образования, представленные торфом, имеют мощность 1-3, редко до 5-6 м разбиты в Мухтельской, Ул-Лонгарийской впадинах и в долинах крупных рек (Мухтелья, Малахта, Лонтары); они сняты с геологической карты, чтобы показать граничи перекрытий ими пород. Отложения расчленены на нижнюю и верхнюю части.

Нижняя часть (Q_{IV}^1)

Морские отложения образуют косу Гилин (абс. выс. 10-12 м), которая прослеживается вдоль берега зал. Альсанты, и морскую террасу относительной высотой 3-4 м, разбитую на отдельных участках берега моря и оз. Мухтеля (см. рис. 3). Они залягают на верхнечетвертичных отложениях, реже на породах мезойского возраста и представлены галечниками, песками, гравийниками с выщелоченными валунами.

Для отложений косы Гилин и морской террасы характерно переслаивание (через 5-50 см) галечников с включениями валунов, симметризованных железнистым песчано-гравийным, реже песчано-глинистым заполнителем и песков разнозернистых полимиктовых с примесью гравийного или глинистого материала и включениями гальки. На поверхности террасы, на южном берегу оз. Мухтеля вскрыты пески серые мелкозернистые или светлые, с прослоями (0,1-0,5 м) песка в крупнозернистых гравелистых и побребенных торфов. Гравий (0,5-1 см), галька (3-10 см), валуны (15-50 см) различного петрографического состава обычно хорошо окатаны, часто имеют дискоидальную форму.

Мощность отложений 5-15 м. Теневыс пород определяется по их геоморфологическому положению и литогологическим особенностям.

Альсанты и южная часть зал. Альсанты в долинах всех рек, где образуют наиложеннейшую террасу относительной высотой 2,5-4 м^{x/}. Они залягают на верхнечетвертичных или мезозойских породах и представлены переслаивающимися галечниками, гравийниками, песками.

^{x/} Показаны в соответствии с масштабом карты лишь в долинах наиболее крупных рек.

В верхних частях разреза, как правило, преобладают песчаные, суглинистые отложения, переходящие выше по разрезу в гравийно-галечные, реже валуно-галечные породы. Нередко наблюдается фациальное замещение одних пород другими. Валуны, галька и гравий имеют различный петрографический состав (осадочные, эфузивные, интузивные породы) и различную окатанность. Мощность отложений увеличивается от 3-6 м в горной части района до 10 м в пределах равнины.

Возраст морских отложений установлен по ланям спорово-пыльцевого анализа, произведенного П.Н. Соколовой, из отложений террасы на южном берегу оз. Мухтеля (Веденюков и др., 1956). Спорово-пыльцевой спектр, содержащий много пыльцы ели, разнозернистых трав, а также спор указывает на современный возраст осадков. Возраст отложений косы Гилин подтверждается их геоморфологическим положением между верхнечетвертичными береговыми валами и пляжем, формирующимся в настоящее время. Возраст аллювия 2,5-2-метровой террасы определяется по аналогии с соседними территориями, где имеются палинологические определения (Шурмадина, Козлов и др., 1966; Козлов и др., 1968)?

Верхняя часть (Q_{IV}^2)

Морские отложения, формирующиеся в настое время, развиты на пляже и морском дне. Отложения пляжа, приустроенные к узкой полосе вдоль морского берега^{x/}, преобразованы галечниками, гравийниками, песками, валунниками, реже глыбами и залягают на более ранних четвертичных или мезозойских породах. На большем протяжении берега моря на пляже преобладает галечниково-валунный, реже глыбовый материал, и лишь вдоль косы Гилин и южной части берега зал. Ренике, пляж сложен песчано-гравийно-галечными отложениями. Галька, гравий и валуны обычно хорошо окатаны, часто имеют дискоидальную форму, состоят из пород, слагающих береговые обрывы. Мощность отложений не более 5-10 м.

Фации морского дна (Гершанович, 1955, 1958) разнообразны (см. рис. 3). В прибрежной зоне развиты обломочно-карбонатные фа-

^{x/} На геологической карте не показаны, так как не выражаются в масштабе.

ции — песчано-гравийно-галечные осадки с ракушником; с удалением от берега начинают преобладать гравийно-песчаные осадки с галькой, гравием, ракушняком, а еще дальше — илистые пески.

Аллювиальные отложения слагают низкую и высокую пойму относительной высотой 0,1-2 м и русла рек. Они перекрывают более ранние четвертичные образования, а в речевых язьках рек — мезозойские породы и представлены гравийно-галечными или валуно-галечными отложениями, а в верхней части разреза — песками, супесями, суглинками. Общий характер отложений тот же, что и у аллювия надпойменной террасы. Мощность отложений в долинах горных рек 1-3 м, равнинных рек от 3-6 до 10 м. Аллювиальные отложения поймы и русла рек формируются в настоящее время.

ИНТРУЗИВНЫЕ ОБРАЗОВАНИЯ

Интузивные образования занимают свыше 1/6 части территории. Наиболее распространены позднемеловые и палеогеновые граниты и даики различного состава. Выделены также небольшие экструзии дацитов позднемелового и долеритов раннечетвертичного (?) возраста.

ПОЗДНЕМЕЛОВЫЕ ИНТРУЗИИ

Позднемеловые интузивные породы, представленные в основном гранодиоритами ($\text{т} \delta \text{ Cr}_2$), слагают крупные массивы и несколько штоков в восточной части территории и Вилькинский массив в западной. Диориты ($\delta \text{ Cr}_2$), биотит-роговообманковые граниты ($\text{т} \delta \text{ Cr}_2$), гранодиорит-порфирь ($\text{т} \delta \text{ Cr}_2$) образуют отдельные штоки и выделяются как фации в составе крупных массивов.

Вилькинский массив (16 км^2) расположен на водоразделе р. Бол. Вильки — ручью Ильинский. В плане он имеет овальный очертания. Контакты его с вмещающими породами валнистые, сухие по резкой смене характера магматического поля, достаточно крутые. Ширина контактового ореола 0,5-1 км. Массив имеет однородное строение и сложен средней, реже крупнозернистыми биотит-роговообманковыми гранодиоритами. Лишь непосредственно в экзоконтак-

те участками выделяется маломощная (50-100 м) огорodka порфировидных роговообманково-биотитовых гранодиоритов и гранодиорит-порфиров.

Мечанская массив (64 км^2) расположена в основной части хр. Мечан. Массив имеет удлиненную, вытянутую в направлении простирации складчатых структур форму. Различия в характере гранитов и ширине ореола контактово-измененных пород свидетельствуют о том, что северо-западный контакт массива относительно более пологий, чем юго-восточный. Сложен массив гранодиоритами и лишь на северо-восточной оконечности его выделяется небольшое поле преобладания биотит-роговообманковых гранитов.

Кантагинский массив (22 км^2) расположен к югу от г. Малахта. Большая его часть обнажается за пределами района. Массив в плане имеет удлиненную в меридиональном направлении форму, являясь дискордантным по отношению к складчатым структурам. Гранитоиды прорывают и метаморфизуют осадочные породы юры и эфузивы байкальской и тагаргинской свит. Построению и составу массива близок к вышеописанным. В нем преобладают биотит-роговообманковые среднезернистые гранодиориты, к периферии иногда смениющиеся диоритами. В северной части массива выделено два небольших участка развития мелкозернистых лейкократовых гранитов.

На левобережье р. Мангули выступает Мангустинский массив (его северо-южная оконечность, 18 км^2), а на правобережье р. Ниж. Мангули — северная часть Чаданского т. о. массива (4 км^2). Оба они сложены гранодиоритами. Реже встречаются биотитовые граниты, а в зоне эндоконтактов — кварцевые диориты, диориты и гранодиорит-порфирь.

Небольшие интузивные массивы и штоки сложены биотит-роговообманковыми гранодиоритами, реже диоритами и гранитами. Контакты их с вмещающими породами крутонахищие, близкие к вертикальным. Характерен веерный, однородный состав этих интузий. Гранодиориты обычно отчетливо порфировидные до гранодиорит-порфиров (шток на правобережье р. Мужеля, против устья р. Бодлека).

Гранодиориты биотит-роговообманковые — наиболее распространенные породы комплекса. Это серые равномерно-, средне-, реже крупнокристаллические породы с гипидиоморфозернистой структурой с характерными призматическими выделениями роговой обманки. Сос-

тоят они (в %) из андезина № 35-40 - 40-48, калиевого полевого шпата - 15-20, кварца - 18-24, железистых роговых обманок - 5-10 и биотита - 4-8. Аксессорные минералы: апатит, сфен, орбит, ильменит, циркон, рудный минерал.

Граниты обычно светло-серые, среднекристаллические. В составе (в %) их преобладают калиевый полевой шпат - 35-40, плагиоклаз (сингоклаз № 24-26 или олигоклаз-андезин № 26-32) - 20-35 и кварц - 25-35. По соотношению темноцветных (5-12%) - биотита и роговой обманки - выделяются биотит-роговообманковые, биотитовые и роговообманково-биотитовые разности. Аксессорные минералы те же, что и в гранодиоритах. Структура типиломорфозернистая. Диориты серые мелкокристаллические равномернозернистые с типиломорфозернистой структурой. Основные минералы (в %): плагиоклаз (андезин-лабрадор № 46-52) - 45-60, моноклинныи пироксен от 2-5 до 10, роговая обманка - 12-25, кварц - до 10-12. Аксессорные минералы сфен, апатит, рудный минерал.

Гранодиорит-порфиры, гранит-порфиры по составу не отличаются от гранодиоритов и гранитов. Структура их порфировая. Во вкраплениях, имеющих размеры 1-3, реже 5-6 мм и состоящих из 40-60% объема породы, полевые шпаты, кварц, биотит, реже роговая обманка. Основная масса - мелкозернистый кварц-полевошпатовый агрегат. По петрохимическим характеристикам (см. табл. I) породы близки к гранодиоритам по Р.Дэли. Характерно преобладание окиси натрия над окисью калия (обратные соотношения отмечаются обычно лишь в эпоконтактовых фациях). С позднемагматическими интрузиями пространственно и, вероятно, генетически связанырудопроявления золота, молибдена, цветных металлов^х.

ПАЛЕОГЕННЫЕ ИНТРУЗИВЫ

Палеогенные интрузивы развиты в восточной части территории и слагают массивы островов Меньшикова и Рейнеке. Выделяются две интрузивные фазы: первая, основная, представлена монцонит-гранодиоритами, кварцевыми монцонитами и гранодиоритами, вторая -

^х/ Вопрос о возрасте интрузий рассматривается ниже.

лейкократовыми и порфировидными биотитовыми гранитами. Наиболее крупный в Нижнем Приамурье Бекчи-Ульский массив, северная оконечность которого обнажается на востоке территории, и Модетский массив образованы породами обеих фаз, остальные сложены породами второй фазы. Непосредственные взаимоотношения между интрузиями первой и второй фаз наблюдались у М.Куприянова, где А.Д.Рыбаковой установлено, что краевые монцониты первой фазы прорываются биотитовыми гранитами (Иванов и др., 1957) и Е.П.Зарембским (1963) у М.Промежуточного, где шток лейкократовых гранитов прорывает монцонит-гранодиориты. Последние близ контакта окварцованны, местами обтекированы.

Далее рассматриваем территории, в центральной части Бекчи-Ульского массива В.Э.Пильцким (1968) также установлены интрузивные контакты между лейкократовыми и монцонитовыми гранитами, которые он выделяет в качестве первой и второй фаз Бекчи-Ульского интрузионного комплекса.

Первая фаза представлена монцонит-гранодиоритами, кварцевыми диоритами ($18\text{--}19\text{ км}$), гранодиоритами ($18\text{--}19\text{ км}$) и гранитами (11 км), которые слагают западную и южную части Бекчи-Ульского массива и Модетский массив.

Бекчи-Ульский массив расположжен на востоке территории, восточнее М.Промежуточный и Р.Мал.Вилки. Северо-западный контакт массива сравнительно пологий, о чем говорят извилистые очертания граний. Западный контакт, очевидно, круглоглащий: он почти прямолинейный и сопровождается узкой ($0,5\text{--}1\text{ км}$) полосой контактово-измененных пород. Об этом же свидетельствует и резкое изменение характера матового поля. Вероятно, значительная часть массива скрыта под водами Сахалинского залива. Восточная и юго-западная части массива сложены монцонит-гранодиоритами, биотит-рогообманковыми гранодиоритами, биотит-рогообманковыми гранодиоритами, а в северо-западной - вновь монцонит-гранодиориты. По направлению к контакту здесь появляются диоритовые монцониты и диориты. В зоне эпоконтакта встречаются порфировидные разности и гранодиорит-порфиры. Между всеми этими породами устанавливаются промежуточные разновидности, что указывает на дальнейшие переходы.

Мофетский массив (23 км^2) слагает гору Мофета и ее отроги. В плане он имеет почти изометричную округлую форму. Юго-западный и северо-западный контакты массива пологие, что подчеркивается извилистыми, с заливами, очерченными его границ и значительной шириной ($1,5\text{--}2,5\text{ км}$) зонами kontaktового метаморфизма.

Юго-восточный контакт тектонический. Центральная часть массива сложена среднезернистыми биотит-рогообманковыми гранодиоритами. В районе горы Мофета на площади около $0,5 \text{ км}^2$ развиты рогообманково-биотитовые альмелиты. Краевые, более эродированные, части интрузии сложены порфировитами и крупнозернистыми монцонит-гранодиоритами, в зоне северо-западного эндоконтакта в виде узкой ($100-150 \text{ м}$) полосы установлены гранодиорит-порфириты. Породы слегка постепенными переходами. В эндоконтактных зонах отмечаются округлые ($2-15 \text{ см}$ в диаметре) шлиры микролитов и диоритовых порфиритов.

Монцонит-гранодиориты, гранодиориты и граниты первой фазы в отличие от позднемеловых обладают обычно розовой или розово-серой окраской за счет визуально видимого калиевого полевого шпата.

Гранодиориты биотит-рогообманковые, реже биотит-пироксеновые – наиболее распространенные породы комплекса. Обычно это равномернозернистые, средне-, реже крупнокристаллические породы. Структура гипидоморфозернистая, реже монцонитовая. Состоит они на 40–50% из аллюзина № 28–40, образующего длиннопризматические кристаллы скелетного облика с отчетливой зональностью и полисинтетическим двойникованием, таблитчатых кристаллов пелитизированного калиевого полевого шпата (20–30%), ксеноморфных зерен кварца (10–20%), резко идiomорфных кристаллов рогообманки (10–15, реже 2–6%) или моноклинного пироксена (6–10%) и биотита (2–5 до 12%). Аксессории: сфеин, апатит, титаномагнетит, реже циркон. Монцонит-гранодиориты, кварцевые монцониты и альмелиты отличаются от гранодиоритов лишь при микроскопическом изучении. Первые характеризуются преобладанием монцонитовой текстуры над гипидоморфозернистом и приблизительно равным количеством калиевого полевого шпата и плагиоклаза (по 25–35%), в альмелитах содержание калиевых полевых шпатов составляет 30–40%, кварца – 15–25%.

Границы – обычно среднезернистые светло-серые с кремовым или розоватым оттенком. Состоит из калиевого полевого шпата – 35–40%, плагиоклаза (олигоклаз № 24–26 или олигоклаз-андезин № 26–32) – 20–35%, кварца – 25–35% и темновьетных: биотита и роговобманковых, биотитовые и рогообманково-биотитовые разности. Аксессории те же, что и в гранодиоритах. Структура типично-рудно-зернистая.

Диориты, диоритовые монцониты, распространенные в западной краевой части Бекчи-Улкого массива, серые, зеленонасыщенные, метко-, среднекристаллические, с типидоморфозернистой, реже монцонитовой структурой. Главные минералы: плагиоклаз (андезин № 36–48, андезин-лабрадор № 46–52) – 45–70%, аигит – от 1–3 до 15%, роговая обманка – 10–25%, кварц – до 10–12%. В монцонитовых разностях появляется калиевый полевой шпат – 10–15%. По петрохимическим особенностям породы первой интрузивной фазы относятся к ряду нормальных город, пересыщенных кремнеземом и умеренно богатых шелочами. Породы кислые и шелочнее гранодиоритов по Р.Дэли, приближаясь по содержанию шелочных алюмосиликатов к породам монцонито-сиенитового ряда. Содержание окиси калия обычно выше, чем окиси натрия (см. табл. I).

Вторая фаза представлена лейкократовыми, аллитовидными, пегматоидными ($\text{I}_{12}, \text{P}_5$) и порфировидными биотитовыми гранитами ($12, \text{P}_5$).

В северо-восточной части Бекчи-Улкого массива выделяется поле биотитовых, реже биотит-рогообманковых средне- и крупнозернистых порфировидных гранитов, обнажающихся на побережье Сахалинского залива к северо-западу от М.Куприянова. Среди них встречаются пегматоидные и лейкократовые разности, имеющие с биотитовыми гранитами постепенные переходы. Характерны многочисленные мелкие ламки альбитов. Как говорилось выше, у М.Куприянова отмечались аргиллитовые взаимоотношения биотитовых гранитов и кварцевых монцонитов первой фазы.

Интрузия М. Мофета слагает небольшой полуостров в Сахалинском заливе. Интрузия прорывает и интенсивно метаморфизует юрские осадочные породы. В эндоконтактной зоне развиты порфировидные лейкократовые биотитовые граниты, постепенно сменяющиеся к северу крупнокристаллическими лейкократовыми гранитами. Ближе М.Мофета в них выделяются небольшие по площади тела мелкозернистых аллитовидных гранитов. Для всех пород характерно наличие кварцевых прожилков, прожилков, гнейз и линзовидных тел аллитов. Наибольших размеров гнезда и линзы пегматитов достигают в крупнокристаллических и аллитовидных гранитах.

Интрузия М. Александра выступает на побережье залива Александра и Рейнеке в виде полосы шириной 1,5–2,5 км. Интрузия прорывает и метаморфизует юрские осадочные породы. Контакты почти вертикальные. Массив имеет сложное радиальное строение. В приконтактных зонах развиты порфироидные и неравномернозернистые биотитовые и рогообманково-биотитовые граниты, которые

постепенно сменяются неравномерноизернистыми пегматоидными лейкократовыми гранитами. Последние, в свою очередь, к югу и за-паду от М.Александры переходят в мелкоизернистые аплитовые граниты. В зоне эндоконтакта отмечается обилие угловатых и округлых ксенолитов ортогранитовых пегматиков и роговиков раз-мером от 10-15 см до 1-4 м в потереинке. Наряду с явно выра-женными ксенолитами наблюдаются многочисленные округлые и эллип-соидальные широобразные выделения диоритового состава размером от 3-5 см до 0,3-0,6 м, а иногда до 2 м в потереинке. Местами они составляют до 30-35% всей массы пород и граниты как бы де-ментируют их. Генезис этих выделений недостаточно ясен, однако несомненно, что часть из них представляет собой перетекальные и перекристаллизованные ксенолиты вещественных пород. Как и в ин-тузии М.Мофета, здесь разрезы многочисленные гнезда и кильы кварц-полевошпатовых пегматитов. Наиболее крупные линзы и жилы их приурочены к аплитовым гранитам в районе М.Александры.

В массиве о-ва Рейнеке преобладают неравномерноизернистые лейкократовые граниты, которые на отдельных участках сменяются крупноизернистые лейкократовые граниты, которые на отдельных участках сменяются крупноизернистыми пегматоидными гранитами.

Эти интрузивы, судя по сходству состава и облика пород, представляют собой выходы единого массива, большая часть которо-

го скрыта под водами залива Рейнеке.

Массив о-ва Меньшикова сложен биотитовыми, роговообманко-во-биотитовыми крупно- и неравномерноизернистыми порфировидны-ми гранитами светло-серого, розово-серого цвета. Местами они переходят в лейкократовые и пегматоидные граниты. Характерно, как и для всех ранее рассмотренных интрузий, обилие даек аплит-тов и кварц-полевошпатовых прожилков. Кроме этого, аплитовые граниты слагают небольшие штоки на побережье Сахалинского зали-ва к северо-востоку от интрузии горы Мофета и у М.Промежуточ-ного, а также на северо-западном фланге массива.

Биотитовые и биотит-роговообманковые граниты второй ин-тузиевой фазы близки по составу к гранитам первой фазы, но в отличие от них характеризуются неравномерноизернистой, часто пор-фировидной структурой с крупными табличатами фенокристаллами калиевого полевого шата, реже кварца размером от 0,5 до 2-4 см в потереинке.

Лейкократовые биотитовые граниты светлые розово-серые,

неравномерноизернистые порфировидные с вкраплениками полевых

шпатов и кварца размером 0,5-3 см. Состав их (%): кварц - 30-40, калиевый полевой шпат - 35-45, олигоклаз № 20-28 - 15-25, биотит - 2-3, редко до 5-6, роговая обманка - 0-1. Аксессории: апатит, циркон, сфеен, рудный, цоизит.

Пегматоидные граниты розово-серые крупнокристаллические неравномерноизернистые, часто порфировидные породы с пегматито-вой структурой, обусловленной взаимным прорастанием крупных (до 5-8 мм) зерен прозрачного и дымчатого кварца и розоватых и белых кристаллов калиевого полевого шата. Олигоклаз № 20-28 находится в подчиненном количестве к кварцу и калиевому полево-му шпату. Биотит (1-5%) образует мелкие (0,6-1 мм), резко иди-оморфные чешуйки. Аксессории: циркон, алатит, магнетит.

Аплитовые граниты светло-розовые, розоватые и белые мел-коизернистые породы с редкими более крупными (2-5 мм) фенокри-сталлами кварца и калиевого полевого шата. Структура алло-триоморфноизернистая, реже гранитовая. Состав они из апло-триоморфных зерен калиевого полевого шата (45-60%) с обилием перитовых вростков альбита, кварца (25-35%) и плагиоклаза (альбит-олигоклаз № 15-25) - 8-20%. Редко отме-чаются мелкие чешуйки биотита (1-1,5%). Аксессории: ортит, ала-тият, циркон, сфеен, магнетит (иногда до 1%).

Породы второй фазы ультракислые, пересыщенные кремнеземом, богатые щелочами. Характерно резкое преобладание окиси калия над окисью натрия.

С интрузивами второй фазы связаны рудопроявления молибде-на, гнезда и линзы пегматитов с включениями редких минералов. О возрасте интрузивных город района у разных исследова-телей нет единого мнения. А.Д.Рыбакова относит все интрузии к раннему палеогену, допуская, что порфировидные граниты Бекчи-Ульского массива образуют более позднюю fazu (Иванов, Калимбе-ков и др., 1957). В.В.Русс (1966) и Э.П.Изок (1967) состав-ляют все интрузии, кроме Бекчи-Ульской с Нижнеамурской серией (сенон), а Бекчи-Ульскую с Ма-Чанской (сенон-даний) х/х. В.Э.Пи-лькин (1967) считает возраст интрузий палеогеновым, выделяя среди них породы трех комплексов: Д-Бекчи-Ульского - гранодиори-ты ($\gamma_{\text{РБ2}}$), Бекчи-Ульского - мононит-гранодиориты ($\delta_{\text{РБ1+2}}$), лейкократовые граниты ($\gamma_{\text{РБ2}}$) и после-Бекчи-Ульского - ($\gamma_{\text{РБ3}}$).

х/ Лейкократовые граниты В.В.Русс выделяются в позднюю fazu этой серии.

хх/ Последние выделены только на соседней территории.

Таблица 2

Нижняя возрастная гранитная интрузия гранодиоритов, отнесенная нами к позднему мелу (до-Бекчи-Ульский комплекс В.Э.Пиладкинго) определяется их взаимоотношениями с верхнегелловыми эфузивами, с которыми они, вероятно, компативны (Русс, 1966). На данной территории об этом в какой-то мере свидетельствует их тесная пространственная связь. По структурному положению, химическому составу эти интрузии хорошо сопоставляются с интрузиями нижнеамурской серии.

На сопредельной с юга территории, в южной части Бекчи-Ульского массива В.Э.Пиладкин (1968) установлена эпигенетическая связь между монцонитами и гранодиоритами до-Бекчи-Ульского комплекса. Монцониты, в свою очередь, так же, как и у М.Куприянова, прорваны лейкократовыми гранитами. Тесная пространственная связь и сходство петрохимических особенностей монцонитов и лейкократовых гранитов указывает на то, что они представляют собой единый комплекс. Достоверных данных о верхнем возрастном пределе этих интрузий нет. Поэтому с некоторой долей условности можно считать палеогеновыми (точнее, раннетектоновыми). Возможна, возраст их более древний (даний), но не исключено, что отдельные интрузии могут относиться уже к Прибрежной серии (РБ2-3).

Результаты определений абсолютного возраста приведены в табл.2.

Цифры эти, в целом, если учесть возможные ошибки, подтверждают геологические данные, однако количество анализов явно недостаточно, чтобы на них можно было уверенно опираться. В частности, не исключено, что "омоложение" Модетского массива обусловлено влиянием окружающих ее интрузий лейкократовых гранитов, ибо для монцонит-гранодиоритов района большинство определений дает возраст 70-73 млн. лет.

Контактовые изменения в интрузивных породах выражены слабо. Отмечается некоторое обогащение пород биотитом. В раннепалеогеновых гранитах наблюдаются шлиры диоритового состава, часть из которых несомненно является продуктом перекристаллизации ксенолитов вмещающих пород. В песчано-сланцевых отложениях образуются довольно широкие (0,5-2 км) поля ороговикованных пород, причем непосредственно в зоне эзаконитата, в полосе шириной 30-100 м, породы превращены в кварц-сплюсти-кордиеритовые роговики и узловатые кордиеритовые сланцы, а по мере удаления от контакта степень изменения пород по-

Индекс	Массив	Порода	Возраст млн. лет	Автор
γδСг2	Мевачанский	Гранит	60	Заремский, 1962
	"	Гранодиорит	80	"
	"	"	88	"
	Вилькинский	"	71	"
	"	"	62	Пиладкин, 1962
	Зал.Александров	"	64,	Козлов, 1965
	"	"	67	
	Бекчи-Ульский	Кв. монцонит	100	Заремский, 1962
	"	Диорит	70	"
	"	Гранит	70	Леонтьев, 1964
	Модетский	Гранодиорит	53,	Заремский, 1962
	"	"	53	
	"	"	56,	Пиладкин, 1968
	"	"	58	
12Рg	М. Модета	Лейкократо- вый гранит	49	"
	"	Гранит	89	Русс, 1966
	О. Мельникова	Порфировид- ный гранит	65	Козлов, 1967

степенно уменьшается. Во внешней зоне изменения выражаются лишь в частичной перекристаллизации цемента, появлении новообразований мелкочешуйчатого биотита и мусковита.

В эфузивных горючих гранитах при контактовые изменения проявляются в окварцевании и частичной перекристаллизации и биотитизации основной массы.

Гидротермальные изменения наиболее широко проявлены в окварцевании и сернистизации осадочных и обдувочных пород в аккантактах интрузий или в зонах разрывных нарушений. Зоны окварцованных пород имеют различные размеры. Най-

более крупные из них в верховьях р.Кантага, на правобережье р.Менгули и руч.Кутрум имеют ширину до 100-300 м и протяженность до 2-3 км. Чаще отмечаются более мелкие зоны протяженностью от первых до нескольких десятков метров и мощность от 0,1-0,2 до 3-5 м. Кварцевание и серийтизация в осадочных породах выражается в замещении цемента, а в эфузивах - основной массы. В отдельных случаях отмечается полное замещение материнских пород и переход к кварц-серийтовым метасоматитам. Часто в кварц-серийтовых породах наблюдается тонкая сеть кварцевых прожилков и брекчи, обломки которых сцеплены кварц-гематитовым агрегатом или грузивидным кварцем.

В лейкократовых гранитах южнее М.Александра отмечены мало-мощные (0,2-0,4 м) зоны кварц-мусковитовых гнейзов с вкрапленностью пирита.

С окварционными и метасоматическими породами связано большинство рудопроявлений золота, рудопроявления молибдена, меди, полиметаллических руд.

ЖИЛЫ И ПРОЖИЛКИ

Жильные образования - дайковые породы различного состава и кварцевые жили и прожилки пространственно и генетически связаны с гранитоидными интрузиями и эфузивами Большебинской и Таркинской свит. Наиболее часто встречаются дайки диорит-порфиритов, гранит- и гранодиорит-порфиритов, аплитов. Менее распространены даики андезитов, дацитов, кварцевых порфиритов, фельзитов. Возрастное расчленение даек без детальных работ может быть произведено очень условно. Достоверно установлено, что дайки аплитов, кварц-полевошпатовые прожилки, пегматиты связаны, в основном, с раннепалеогеновыми лейкократовыми гранитами. В то же время склонны по составу и внешнему облику дайки диорит-порфиритов в один случаях несомненно связаны с эфузивами Большебинской свиты, в других проявляют лейкократовые граниты.

Дайки имеют различную мощность: от 10-20 см до 2-5 м, преобладающая мощность 0,5-0,8 м. Обычно они круглогадающие (60-90°), прямолинейные. В то же время наблюдаются и извилистые, ветвящиеся, с непостоянной мощностью, что особенно характерно для даек, рвущих интрузии. Простирации даек чаще северо-восточное и северо-западное. Даики обычно вызывают незначительные изменения имеющихся пород, иногда отмечается пиритизация. В случаях,

когда дайки приурочены к зонам тектонических нарушений, вмещающие породы обычно пронизаны сетью кварцевых или кварц-кальцитовых прожилков.

Диорит-порфириты (δ - Cr_2) - серые, зеленовато-серые с минералистической основной массой и обильными пурпуровыми выделениями белого андезина (до 40% всей массы породы), роговой обманки, биотита, редко (в кварцевых диорит-порфиритах) - кварца. Основная масса с аллотриоморфозернистой структурой состоит из тектонических минералов, кварца и калиевого полевого шпата. Характерна вкрапленность пирита.

Андезиты (α - Cr_2) - темно-серые, синевато-серые, обычно афирового, реже мелкогоризонтального строения. Основная масса стекловатая, с андезитовой или гиалопилитовой структурой. Мелкие (0,5-1 мм) вкраплениники представлены андезином.

Гранодиорит-порфириты ($\gamma\pi$ - Cr_2) и гранит-порфириты (крупные или светло-серые породы с порфировой структурой с крупными (от 2-5 до 10 мм) вкраплениниками полевых шпатов, кварца, редко биотита или роговой обманки с мелко- или скрытозернистой кварц-полевошпатовой основной массой).

Фельзиты (λ - Cr_2) - светло-серые массивные скрытозернистые породы. Составят из неправильных зерен кварца и полевого шпата, различных лишь под микроскопом при большом увеличении. Структура фельзитовая, местами микрофельзитовая.

Кварцевые порфириты ($\lambda\pi$ - Cr_2) в отличие от склонных по составу фельзитов, содержат обильные мелкие (0,5-1 мм) округлые зерна кварца и чешуйки биотита.

Аплиты (φ - Cr_2) - светло-серые, кремово-серые, белые породы равномерно средне- или мелкокристаллические с аплитовой, участками с микролегматитовой структурой. Состав из калиевого полевого шпата (40-60%), кварца (35-40%), плагиоклаза (5-10%), единичных зерен биотита и мусковита.

Пегматиты ($\varphi\varphi$ - Cr_2) в виде маломощных (2-10 см) прожилков или линз и гнезд призматической формы размером от 0,1-0,3 до 0,8-1,5 м по длиной оси, развиты, в основном, в интрузиях М.Модега и М.Александра и изредка отмечаются на о-ве Рейнеке. Пегматиты кварц-полевошпатовые. Прожилки и мелкие гнезды и линзы образованы средне- крупнозернистыми разностями, иногда с графической структурой. В раздувах и центральных частях гнезд и линз появляются грубозернистые пегматиты с кристаллами дымчатого кварца и калиевого полевого шпата размером до 3-5 см. Иногда в центре гнезд или линз наблюдается занорши, стеки которых усеяны

кристаллами горного хрустала, мориона, реже аметиста и еще редко — черного турмалина, берилла, топаза, самарокита, монацита, настурана. Размеры таких пустот 5–20 см в поперечнике, редко до 0,5 м по длиной оси. Размеры кристаллов кварца от 0,2–0,5 до 3–6 см, редко более.

Кварцевые жилы и прожилки наиболее часто встречаются в эндогенных контактах гранитоидных интрузий, а также в зонах разрывных нарушений. Обычно мощность их изменяется от долей миллиметра до 2–5 см, очень редко достигая 10–20, а в раздачах 50–80 см. Сложенны жили молочно-белым стеклом, иногда сахаровидным кварцем. В жилах, развитых в интрузиях М.Модета и М.Александра, в раздачах отмечаются небольшие занорки с друзами дымчатого кварца и горного хрустала.

С кварцевыми жилами связан ряд рудопроявлений, среди которых выделяются: кварц-молибденитовые, кварц-золоторудные с примесью полиметаллов и кварц-полиметаллические с примесью золота, серебра и арсенопирита. Реже встречаются кварц-кальцитовые прожилки с арсенопиритом, золотом и серебром.

Экструзии

На территории известны экструзии дацитов позднемелового возраста и раннечетвертичные (?) экструзии базальтов и долеритов.

Позднемеловые экструзии (Сх. 2, 4)

Две близко расположенные друг от друга экструзии дацитов выделены В.Э.Пилатким (1968) на водоразделе левых притоков р.Бол.Вилки, в 4 км к юго-востоку от г.Модета ^{х/}. Экструзии в плане имеют овальную форму, вытянутую в северо-западном направлении. Длина их соответственно 270 и 70 м, ширина 50–120 и 20–30 м. Экструзии прорывают породы валанчина. Контакты их, вскрытые в ряде мест канавами, тектонические. В то же время повсеместно наблюдается узкая оторочка (0,3–0,5 м) kontaktово-измененная

^{х/} На геологической карте показаны одним контуром вне масштаба.

иенных пород, что указывает на эруптивный характер тел. Элементы флюидальности, отмеченные в краевых частях, направлены внутрь экструзии. Центральные части их сложены дацитами, краевые — кластолазами и туфобрекчиями дацитового состава.

В.Э.Пилаткий относит экструзии к палеоцену. Мы полагаем, что их следует рассматривать в качестве корней размытых покровов сенонских эфузивов.

Раннечетвертичные (?) экструзии (РФТ)

Две экструзии долеритов и базальтов выступают в долинах рек Лонгари и Малакта в виде куполовидных скалистых возвышенностей относительной высотой 50–80 м. Экструзия в долине р.Лонгари вытянута в северо-западном направлении. Длина ее 0,9 км, ширина — 0,4 км. Канавой вскрыт контакт базальтов и плиоценовых гальников, полого наклоненных в сторону купола (Пилаткий, 1968). Периферийные части ее сложены базальтами и долеритами с глыбово-призматической отдельностью. Центральная — представляет собой ряд кругопадающих лайковых гел долеритов мощностью от 2 до 5 м, веерообразно расходящихся от центра экструзии. Для долеритов характерна горизонтальная пти-восьмиконечная призматическая отдельность. Сходное строение имеет и экструзия в долине р.Малакта.

Долериты — серые скрыто- или мелкокристаллические породы порфирового строения с крупными вкраплениками желтого полупрозрачного оливина и долеритовой структурой основной массы.

Базальты темно-серые до черных, зеленоватые, плотные, с порфировой структурой. По составу среди них встречаются оливиновые, пироксеновые, роговисоманково-оливиновые и плагиоклазо-эро-пироксеновые разности. Структура основной массы интэрсертельная, гипалоплиниевая, реже стекловатая. Во вкраплениках присутствует лабрадор, оливин, пироксен, базальтическая роговая обманка. Возможно, с раннечетвертичной вулканической деятельностью связано и внедрение даек базальтов, отмеченных в ряде мест на побережье Сахалинского залива и зал.Александра. По составу они близки к вышеописанным.

^{х/} На геологической карте показаны одним контуром вне масштаба.

Раннечетвертичный возраст пород принимается условно. Аналогичные по составу и внешнему облику базальты на сменной с юга территории образуют небольшой покров, залегающий на плиоценовых галечниках (Заремский и др., 1963ф).

ТЕКТОНИКА

Территории описываемого листа расположена на северо-западном крыле Амгунского синклиниория Сихотэ-Алинской складчатой области (Красный, 1966). Основную роль в ее строении играют сюжно-нодислокированные терригенные отложения юрского - раннемелового возраста суммарной мощностью около 10 тыс. м. Преобладают среди них песчаники и алевролиты, резко подчиненное значение имеют вулканогенно-кремнистые образования. Мезозойские осадочные породы смыты в линейные складки и образуют складчатый фундамент. Они несогласно перекрыты на отдельных участках верхними эфузивами и прорваны интрузиями позднемелового и палеогенового возраста. В Мухтельской и Ул-Лонгарийской впадинах эти породы перекрыты кайнозойскими континентальными молассами. Владины имеют наложенный блоковый характер и отвечают орогенной стадии развития территории (рис. I).

В строении северо-западного крыла Амгунского синклиниория выделяются две зоны: антиклинальная и синклинальная. Первая сложена породами юрского возраста, вторая, расположенная ближе к осевой зоне - отложениями поздней юры и залежания. При общем погружении синклиниория в юго-восточном направлении отмечается ряд осложняющих его крупных складок. В пределах антиклинальной зоны выделяются Северомесячанская антиклиналь и расположенные по обе стороны от нее Прибрежная и Малахтинская синклинали.

С е в е р о м е я ч а н с к а я а н т и к л и н а л ь имеет сложную структуру. Ось складки протягивается в северо-восточном направлении от верховьев р. Кутеканда до м. Александра на 45 км. Ядро ее сложено породами нижней-средней юры и нижней толщи средней юры. Ось антиклинали дважды испытывает одностороннюю вигтацию: примерно от верховьев к. Лосиной и от устья р. Болодека, протягиваясь сначала в субширотном, а затем в восток-северо-восточном направлении, от нее отвечаются оси двух антиклиналей, Кантагинский и Леволонгарийской, сложенных породами нижней толщи средней юры. Леволонгарийская антиклиналь отделена от собственно Северомесячанской антиклинали узкой син-

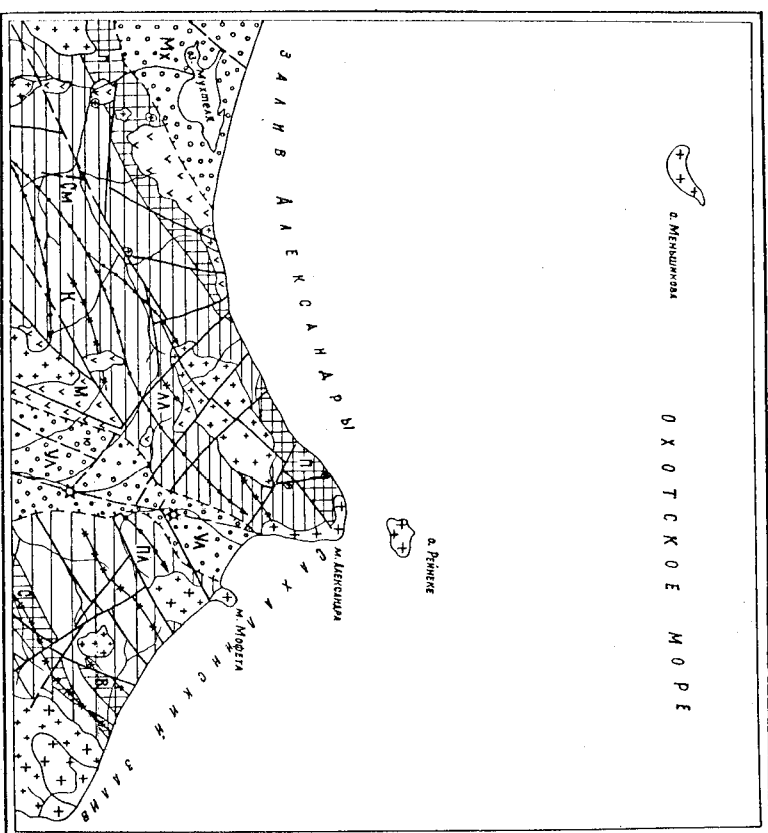


Рис. I. Тектоническая схема. Составил А.А.Козлов
1-5 - Амгунский синклиниорий: 1 - антиклинальная зона, буквами на схеме обозначены антиклинали: СМ - Северомесячанская; II - Прибрежная, М - Малахтинская; 2 - синклинальная зона: ПЛ - Праволонгарийская антиклиналь; синклинали: В - Вилькинская, С - Среднеулская; 3 - оси антиклиналий; 4 - ядра синклиналей; 5 - оси синклинальных складок; 6 - покровы верхнемеловых эфузивов; 7 - позднемеловые гранитоиды; 8 - палеогеновые гранитоиды; а - первой фазы, б - второй фазы; 9 - кайнозойские наложенные впадины: Мх - Мухтельская, УЛ - Ул-Лонгарийская; 10 - экструзии раннечетвертичных базальтов; 11 - разрывные нарушения:
а - установленные, б - предполагаемые

клинико, мульда которой сложена породами верхней толщи средней юры. С юго-востока от нее расположается Малахтина. Скалы и синклиналии. Синклиналью северо-западного простирания, с южной стороны которой возвышаются горы. Строение складки симметричное, а в центральной и северо-восточной ее частях скрыто под более молодыми отложениями в Мухтельской эпандионии. Мульда прибрежно-синклинальная, сложена породами келловей-оксфорда, а близ М. Топографический и кимерид-титона (?). Вероятно, наиболее погруженная ее часть скрыта под более молодыми отложениями в Мухтельской эпандионии. Прибрежно-синклиналь имеет симметричное строение, а в центральной и северо-восточной ее частях склонность ее (и осевые плоскости других складок) падает на восток-юго-восток, на что указывает широкое развитие запрокинутых на север и северо-запад изоклинальных складок. На берегу залива Александра к юго-западу от М. Топографический на протяжении 15 км короткие толщи также находятся в за- троекинутом залегании. Вероятно, запрокидывание структуры связа- но с изменением простирации оси ее от север-северо-восточного к северо-восточному. Симметрия антиклинального поднятия нару- шена кроме этого крупным разрывом, противостоящим параллельно оси Северомечеванской антиклинали. По разрыву опущено северо-западное крыло структуры. При дешифрировании на отдельных участ-ках устанавливается, что плоскость сместителя падает на юго-восток. Вероятно, нарушение имеет взбросо-слиточный характер и по нему юго-восточное крыло надвинуто на северо-западное. В этом случае становятся еще более понятными юго-восточные паде-ния осевых плоскостей складок.

Антиклинали и синклиналии усложнены линейными складками бо- лее высоких порядков. Мелкие складки с размахом крыльев от не- скольких метров до первых сотен метров наиболее характерны для флишовых толщ. Чаще всего они отмечаются вблизи разрывных нарушений, в призамковых частях крупных складок и в местах перегибов осей их. На крыльях структур осложнения чаще всего вы- ражаются в серии сбросов и взбросов с амплитудой смещения боль- ше первые десятки, реже сотни метров. В замках складок, в толщах, сложенных песчаниками, обычно наблюдается очень сложная система мелких блоков, обусловленная многочисленными сбросами и сбросо-слитками. Углы падения на крыльях складок обычно кру- тые — от 50-70 до 90°. В запрокинутых крыльях складок местами углы падения меньше 20-30°.

С юго-запада от нее расположается Малахтина. Строение складки симметричное, а в центральной и северо-восточной ее частях склонность ее (и осевые плоскости других складок) падает на восток-юго-восток, на что указывает широкое развитие запрокинутых на север и северо-запад изоклинальных складок. На берегу залива Александра к юго-западу от М. Топографический на протяжении 15 км короткие толщи также находятся в за- троекинутом залегании. Вероятно, запрокидывание структуры связа- но с изменением простирации оси ее от север-северо-восточного к северо-восточному. Симметрия антиклинального поднятия нару- шена кроме этого крупным разрывом, противостоящим параллельно оси Северомечеванской антиклинали. По разрыву опущено северо-западное крыло структуры. При дешифрировании на отдельных участ-ках устанавливается, что плоскость сместителя падает на юго-восток. Вероятно, нарушение имеет взбросо-слиточный характер и по нему юго-восточное крыло надвинуто на северо-западное. В этом случае становятся еще более понятными юго-восточные паде-ния осевых плоскостей складок.

Антиклинали и синклиналии усложнены линейными складками бо- лее высоких порядков. Мелкие складки с размахом крыльев от не- скольких метров до первых сотен метров наиболее характерны для флишовых толщ. Чаще всего они отмечаются вблизи разрывных нарушений, в призамковых частях крупных складок и в местах перегибов осей их. На крыльях структур осложнения чаще всего вы- ражаются в серии сбросов и взбросов с амплитудой смещения боль- ше первые десятки, реже сотни метров. В замках складок, в толщах, сложенных песчаниками, обычно наблюдается очень сложная система мелких блоков, обусловленная многочисленными сбросами и сбросо-слитками. Углы падения на крыльях складок обычно кру- тые — от 50-70 до 90°. В запрокинутых крыльях складок местами углы падения меньше 20-30°.

В прибрежной зоне Северомечеванской антиклинали расположены крупные массивы позднемеловых гранитоидов: Мечеванский и Чаданский.

Покровы верхнемеловых эффиузивов приурочены к мульдам При-брежной и Малахтинской синклиналей. Они смыты в пологие складки с углами падения 10-30°. Однако вблизи разрывных нарушений на- склоняются более крутые (до 50-60°) наклоны покровов. Кроме это-го, крутые углы падения отмечаются в нижних горизонтах покровов, где наклон их согласуется с древним рельефом.

Основную роль в строении синклинальной зоны, располагав-шейся в восточной части территории, играют верхнерусские и зали-янские песчано-сланцевые отложения суммарной мощностью выше 5 тыс. м.

На водоразделе рек Лонгари — Прав.Лонгари выделяется правобережье р. Сред.Улья и в приустьевой части р. Большой Виль- хи выделяются среднеульянская и кулисобразно соединяющиеся с ней Вилькинская синклиналии. Сложенны они флишидными породами и алевролитами верхней подсвиты плюнерской свиты. Общее простира-ние осей их меняется от юго-западного до северо-восто-чного. Среди них имеется симметричное строение, осложненное большим количеством мелких складок с углами падения на крыльях от 40-60 до 70-85°. Параллельно ей полого вздымается к северо-востоку, а близ берега моря снова погружается. На побережье Сахалинского залива вы- ступает лишь южное крыло Вилькинской синклиналии, западное — оборвано разрывом. В береговых обрывах на- зываемые складки и переход от нормального залегания к запро-ким и запрокинутым складкам с размахом крыльев 2-5 м.

При общем потрясении структуры от Праволонгарийской антиклинали на юго-восток отмечается наличие слоевящих ее крупных блоков, обусловленных движениями по разрывам северо-восточного простирания. По тектоническим контактам на дне вновь поверхность выведены различные горизонты свит. Благодаря этому, например, с породами верхней подсвиты пионерской свиты контактируют нижние слои горской свиты, на значительном протяжении крылья складок находятся в запрокинутом залегании. На участках газитии нижней полсвиты пионерской свиты и, особенно, горизонта

Разрывные нарушения

владины продолжает почти прямолинейную линию берега зал. Аль-санки, параллельно которому также, вероятно, проходит крупный разрыв. Заложение Владии произошло, по-видимому, в олигогене. Следует отметить, что они носят в какой-то мере унаследованный характер. Мухтеськая владина приурочена к мульде крупной позднейской синклиниали. Ул-Лонгарианская владина располагается на участке сочленения антиклинальной и синклинальной зон Амгуунско-го синклиниория.

Разрывные нарушения

Тектоника разрывных нарушений очень сложна. Непосредственно наблюдается лишь сравнительно мелкие нарушения в береговых обнажениях, тогда как к более крупным приурочены береговые линии моря, долины рек и ручьев. Отдельные крупные разрывные нарушения в горной части территории выявляются при делимпироровании аэрофотоснимков, в низменностях — при помощи вертикального электроразведывания. Возрастное расщепление разрывных нарушений затруднено тем, что по большинству из них, возникших в процессе складкообразования, подвижки происходили и при формировании орогенных блоковых структур. При делимпироровании устанавливается, что крупные разрывы северо-восточных направлений обычно смещаются северо-западными нарушениями. Однако такие соотношения выявляются далеко не всегда.

Крупные разрывы северо-восточных и северо-западных румбов имеют, чаще всего, характер сбросов и сбросо-сдвигов с амплитудой вертикального и горизонтального смещения в несколько сотен метров.

В береговых обнажениях зал. Александрии и Сахалинского залива наблюдаются многочисленные сбросы, идущие параллельно осевым плоскостям складок и поперечные сбросо-сдвиги с амплитудами смещения от нескольких десятков до первых сотен метров, благодаря чему на крыльях складок образуются блоково-членчатые структуры. Падение плоскостей сместителей обычно крутое ($60\text{--}90^\circ$). Строение этих нарушений различно: это и притетные трещины с линзоочками глиники, трещин и четкими зеркалами скольжения, в зонах дробления и обрывкованием мощность от нескольких сантиметров до 0,5–2, редко до 20–50 м. В зонах дробления обрывки приурочены дайки, серии кластревых или кварцево-кальцитовых прожилков, иногда с зуальфидной минерализацией.

О строении кайнозойских наложенных впадин некоторое представление дают результаты вертикального электроразведывания (Заремский, 1963б; Шурицкина, Козлов, 1966б) и гравиметрии. В самой северо-западной части Мухтесильской впадины, по данным ВЭЗ, мезозойский складчатый фундамент погружен на глубину 250–300 м. В остальной части впадины он залегает на глубине 50–80 м от поверхности. В Ул-Лонгарской впадине глубина залегания мезозойских пород под толщей отложений плиоценена, видимо, также не превышает 60–100 м. И лишь на небольшом участке в Илизорых р. Мадаха фундамент погружен на глубину 200–300 м. Как и в Мухтельской впадине здесь установлены четкие гравитационные минимумы. Наиболее погруженные части впадин отличаются тектоническими нарушениями, о чем свидетельствуют реекие изменения глубин залегания фундамента. В Ул-Лонтарийской впадине к такому нарушению, очевидно, приурочены две экструзии раннечетвертичных базальтов. Граница Мухтельской

Учитывая данные по соседним с юга и юго-западом районам (Шуршилина, Козлов 1966ф; Козлов, 1968ф), начиная с поисческого развития западной и восточной частей территории было неоднозначным, о чём говорят различия в составе верхнеюрских отложений. В западные же в западной части территории, очевидно, существовало полноте тогда как в восточной части, в синекинальной зоне, продолжалось интенсивное опускание и накопление морских терригенных осадков.

развития нижней подсвиты пионерской свиты и, особенно, горн- ской свиты, в составе которой преобладают мощные пачки песчаников, мелкая складчатость проявлена значительно слабее.

Кости Праволонгрийской антиклинали приурочены к интузии грандиоритов Г. Модета. Куполейший в Нижнем Приамурье Бекчи-Ульский массив, вероятно, располагается в зоне крупного регионального разлома, прослеживающегося на юг далеко за пределы рассматриваемой территории.

владины продолжает почти прямолинейную линию берега зал. Амур-сангары, параллельно которому также, вероятно, проходит крутой разрыв. Заложение владин произошло, по-видимому, в олигофене. Следует отметить, что они носят в какой-то мере унаследованный характер. Мухельская владина приурочена к юльде крупной поймы нерской синклиниали. Ул-Лонгтарийская владина располагается на участке сочленения антиклинальной и синклинальной зон Амгунско-го синклиномия.

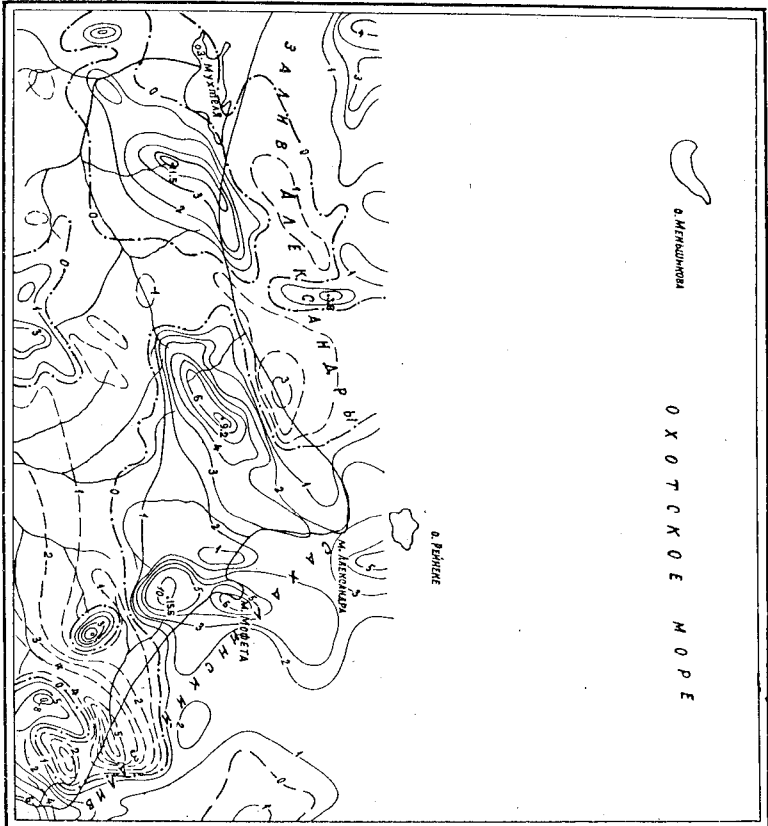


Рис. 2. Карта изодинам (ΔT). По В.Т.Беберу

Изодинами магнитного поля: 1 - положительные (в сотнях гамм); 2 - нулевая; 3 - отрицательные (в сотнях гамм).

Данные аэромагнитной съемки (Бебер, 1967) имеются лишь на южную часть территории листов (рис. 2). Над выходами пород мезозойского складчатого фундамента развито слабо дифференцированное знакопеременное магнитное поле (-200+200 гамм). Четкие положительные аномалии (от 500-800 до 1560 гамм) приурочены к выходам гранодиоритов и покровам эфузивов больбинской свиты. Если интерполировать эти данные на акватории, можно предположить, что мезозойские осадочные породы Ульяного простираются к северо-востоку от М.Куприянова, дают основание предполагать, что здесь выступают гранитоиды Бекчи-Ульского массива. Слабое отрицательное (-100-200 гамм) магнитное поле над юго-восточной частью акватории может быть приурочено либо к мощной толще рыхлых отложений, либо, что менее вероятно, к выходам мезозойских песчано-сланцевых толщ. Мезозойские отложения с отдельными покровами верхнемеловых эфузивов, вероятно, выступают в зал. Александры.

ГЕОМОРФОЛОГИЯ

Рассматриваемая территория входит в состав Амчуй-Охотского горного района. Большую часть ее занимают низкие горы и хребты Малахан, в центральной части разделенные долинами крупных рек (Малахта, Лонгари, Мухтеля и др.); в западной части территории расположена Мухтельская низменность. Формирование рельефа протекает в условиях суббаразильной денудации и дифференцированных тектонических движений, с общей тенденцией к понижению в горных районах и к пригибанию в Мухтельской и Ул-Лонгарийской падинах. В последних накапливались коррелятивные олигоцен-четвертичные осадки. Значительную роль в формировании отдельных типов и форм рельефа сыграли литологические особенности пород, однократная смена климатических условий, влияние трансгрессии и регрессии Охотского моря и связанные с ними аккумулятивные и эрозионные процессы.

Выделяется несколько морфогенетических типов рельефа: 1) озёра и озёрно-долинный рельеф горной части территории представлен трёх морфогенетиче-

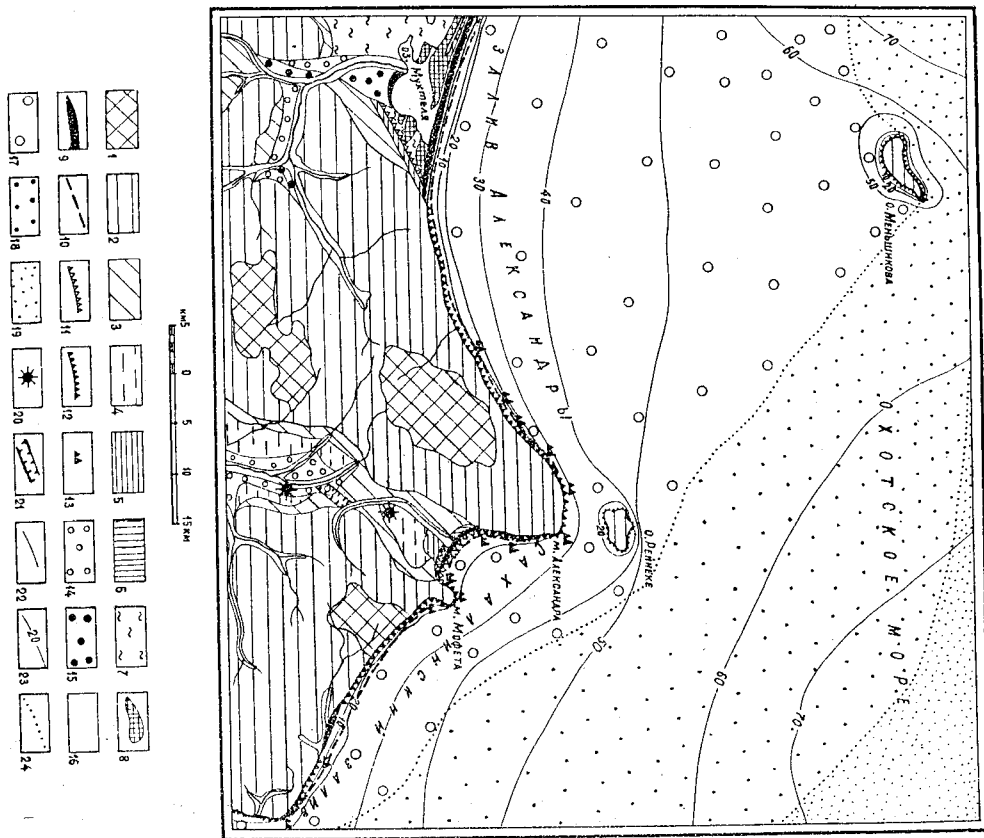


Рис.3. Геоморфологическая схема.
Составила С.В.Беледкая

СУЩА: 1-3 - эрозионно-денудационный рельеф: 1 - среднегорье, 2 - низкогорье, 3 - холмисто-увалистые предгорья, 4 - аккумулятивный рельеф: слабо всхолмленная аккумулятивная равнина плиоценового возраста. 5-13 - абразионно-аккумулятивный рельеф: 5-7 - морские террасы позднечетвертичного возраста: 8 - высотой 20-40 м; 9 - высотой 10-20 м; 10 - высотой 7-20 м; 11 - береговые вали позднечетвертичного возраста, 9 - морская терраса высотой 4-6 м, береговые вали, косы современного возраста, 10 - пляж, 11 - абразионные уступы актильные, 12 - абразионные уступы отмершие, 13 - абразионные останцы (наплывные камни, кекуры); 14-16 - эрозионно-аккумулятивный рельеф: 14 - II наплывенная терраса высотой 4-8 м позднечетвертичного возраста, 15 - I наплывенная терраса высотой 2,5-4 м современного возраста, 16 - поима высотой 0,1-2 м, I наплывенная терраса высотой 2,5-4 м современного возраста. **МОРЕ:** 17-19 - фации морских осадков: 17 - песчано-гравийно-галечные с ракушником, 18 - гравийно-песчаные с ракушником; 19 - илистые пески с галькой, гравием; 20 - экструдированные купола; 21 - отмершая долина; 22 - граница фаций донных осадков

ким типами — среднеторесом, низкогорьем и холмисто-увалистыми предгорьями.

На большей части территории развит низкогорный рельеф, абсолютные высоты в пределах которого составляют 250—750 м (предоблачие — 400—600 м), относительные превышения 100—300 м, в районе побережья до 500 м. Системы горных хребтов ориентированы преимущественно на северо-восток, согласно с простиранием геологических структур. Гребни, как правило, имеют ширину 0,1—0,3 км, реже до 1 км, над ними на 50—150 м возышаются куполовидные, реже конусовидные, сложенные более устойчивыми к выветриванию породами вершины, разделенные широкими седловинами. Местами гребни и вершины уплощены, такие участки явлются, вероятнее всего, реликтами миоценовой поверхности выравнивания. Эрозионная сеть довольно густая; долины рек хорошо разработаны, имеют U или V-образную форму, как правило, террасированы, особенно в среднем и нижнем течении. Долины рек, приуроченные к разрывным нарушениям (верховье р.Мухтеля, Лонгари, притоки р.Сред.Ул и т.д.) отличаются прямолинейностью в плане. Долины рек, впадающих непосредственно в море, часто имеют каньонообразную форму с невыработанным продольным профилем. В русле таких рек часто встречаются пороги и водопады высотой 2—10 м. Склоны долин, в большинстве случаев, вогнутые, крутизной 20—30° в верхней части, и 10—20° — у подножия.

Среднетореский рельеф приурочен к участкам развития интрузивных и ороговикованных пород, устойчивых к разрушению. Два из них (район г.Лонгари — 882,4 м и район г.Малхакта — 997,6 м) расположены в осевой части хр.Мечеван, третий (район г.Мохета — 807,2 м) — на побережье Сахалинского залива. Эти участки характеризуются максимальными абсолютными высотами (700—1000 м) и относительными превышениями (400—500 м). Горы интенсивно и глубоко расчленены, крутизна склонов достигает 25—30°, иногда до 50°.

Холмисто-увалистый рельеф предгорий развит неширокими полосами вдоль окраинной части Мухтельской равнины и бортовых частей крупных долин рек Мухтеля, Лонгари, Ул. Абсолютные высоты 80—200 м, относительные превышения 40—100 м. Водораздельные поверхности — широкие (0,5—2 км) пологоволнистые ували, на склонение (5—15°) в сторону полуженных участков. Долины рек преимущественно U-образной формы с относительно широкими (до 0,5 км) днищами, где развиты два уровня поймы и 1 надпойменная терраса.

Аккумулативный рельеф представлен слабо всхолмленной равниной, сформированной на рыхлых плиоценовых отложениях в пределах протягивающей замкнутой Ул-Лонгарицкой впадины. Абсолютные высоты равнины 80—200 м, относительные превышения — 10—50 м. К равнине приурочены крутоые долины рек Лонгари и Малахта, имеющие, по-видимому, ранее единую реку, о чем свидетельствует присутствие на их водоразделе галечников (Зарембский и др., 1963б). В настоящее время эти долины разобщены уступом относительной высотой около 100 м. В северной, опущенной части впадины долина р.Лонгари глубоко (на 40—50 м) арезана в поверхность плиоценовой равнины. Южная часть впадины представляет собой выровненную пологую наклоненную на юг, поверхность со слабо выраженной заболоченной долиной р.Малахта, врезанной в нее на 5—10 м. Судя по ориентировке долин притоков р.Лонгари, первоначальное направление древней реки было южное. Разобщение долин произошло, вероятнее всего, в результате нестектонического поднятия на границе плиоценового и четвертичного периодов.

Аброзионно-аккумулятивный рельеф развит вдоль побережья моря и в Мухтельской низменности. Наиболее древняя форма абрационно-аккумулятивного рельефа — остатки 20—40-метровой морской террасы, образовавшиеся в первой половине позднечетвертичной эпохи и сохранившиеся по восточному борту Мухтельской низменности и в приступовой части долины р.Лонгари, а также в приустьевых частях некоторых долин по всему побережью. Терраса, в большинстве случаев, поклонная, поверхность ее слабо наплонена (3—5°) в сторону моря и равнины и ограничена отмершим абрационным уступом высотой 7—10 м над поверхностью более низкой морской террасы и 20—30 м над уровнем моря. 10—20-метровая морская терраса, сформированная во второй половине позднечетвертичной эпохи, сохранилась лишь по побережью зал.Рейнеке. Терраса аккумулятивная и обрывается к плажу отмершим абрационным уступом высотой 8—10 м. Одновозрастная с ней поверхность сформировалась и в Мухтельской впадине. Это залобоченная морская равнина абсолютной высотой 7—20 м, представляемая собой осушенное днище морского пролива. Долины рек, пересекающие ее, заболочены, слабо врезаны, уступы террас плохо выражены. Поверхность равнины осложнена серией береговых валов, параллельных береговой линии, образовавшихся при отступании моря. Относительная высота валов над поверхностью

разины 3-5 м, межнадводные положения заболочены, местами в них сохранились озера - реликтовые лагунные формы. Вдоль побережья зал. Александрия равнина приподнята коса Гилин - более молодая аккумулятивная морская форма, отчлененная в первой половине современной эпохи длану оз. Мухтеля. Коса имеет абсолютную высоту 10-12 м, поверхность ее осложнена серией береговых валов, высота которых постепенно повышается с удалением от моря. Судя по тому, что коса Гилин не образует единой линии с контурами прилегающих участков побережья, образование ее произошло за счет пологого передвижения наносов, то есть она является береговым баром (Леонтьев и др., 1964). Кроме того, в приустьевых частях рек (Лонгари, Бол. Вильки и др.) развиты участки морской террасы и береговые валы высотой 5-6 м. Это аккумулятивные морские формы, сформировавшиеся в первой половине современной эпохи. В насторожнее время вдоль береговой линии почти повсеместно формируются пляжи, имеющие различный облик на разных участках. Там, где он примыкает к аккумулятивным формам (северное побережье Мухтельской равнины, юго-западная часть зал. Рейнеке), пляж довольно широкий (100-400 м), поверхность его слабо наклонена к морю ($1-5^{\circ}$) и осложнена двумя-четырьмя береговыми валами высотой 1-3 м. На большей части побережья пляж узкий (от 50-80 до 100 м), на поверхности его почти повсеместно присутствует штормовой вал высотой 4-5 м, уклон к морю достигает 16° , что связано со значительной крутизной подводного склона у берега. В районе мысов (Александрия, Модета и др.) пляж отсутствует, здесь участки Охотского моря, омывающие территорию, характеризуются незначительной глубиной (от 20-70 до 100 м) и относятся к шельфу. Дно имеет выраженный абразионно-аккумулятивный рельеф и очень постепенно погружается с удалением от берега; изобата 20 м проходит на расстоянии 0,5-2, реже 3 от берега. К крутым скальным обрывам в районе мысов обычно примыкает абразионная площадка, лишенная аккумулятивного покрова с абразионными осташами - надводными и подводными камнями, кекурами высотой 1-20 м.

Эрозионно-аккумулятивные или эрозионные террасы. Представлены лентами рек с серией аккумулятивных, эрозионно-аккумулятивных или эрозионных террас. Преобладающее развитие имеют низкая и высокая поймы (высотой соответственно 0,1-1 м и 1-2 м) и 1 надпойменная терраса высотой 2,5-4 м современного возраста аккумулятивные и лишь в верховьях долин горных рек, участками поклонные. В отложениях, слагающих террасу и пойму, обнаружено наибольшее количество россыпей золота. П надпоймен-

ная терраса высотой 4-8 м позднеэоценового возраста развита в долинах рек отдельными изолированными участками, а в долинах рек Малахта и Мухтеля занимает значительные пространства. Она преимущественно аккумулятивная, местами поклонная, отложения ее в долине р. Сред. Ул - золотоносны. Кроме того, в долинах горных рек (Лонгари, Ул, верховья р. Мухтеля) встречаются небольшие останицы и более высоких террас (8-12, 18-20, 20-25 м), образовавшихся в начале позднеэоценовой эпохи. Они преимущественно поклонные или эрозионные. Все террасы, как правило, имеют четкие уступы (кроме заболоченных долин р. Мухтеля, в низовьях ее, и р. Малахта). Поверхности их обычно ровные, слабо наклоненные к руслу, у тальвых швов перекрыты делювиальными шлейфами.

Развитие рельефа района проходит по двум эталям (Зарембский и др., 1965ф). В первом, дотриаденовом этапе на фоне относительно спокойного геотонического режима происходит выражение горного рельефа с накоплением во впадинах коррелятивных тонкообломочных олигоцен-миоценовых город. Благоприятные климатические условия для развития процессов выветривания приводят к интенсивному разрушению горных пород с образованием богатых элювиально-делювиальных россыпей в районахrudопроявлений золота и других полезных ископаемых, что явилось впоследствии основными источниками для формирования богатых аллювиальных россыпей. Второй, глиоцен-четвертичный этап характеризуется активным эрозионным расщеплением территории с формированием коррелятивных грубообломочных отложений во впадинах и долинах рек. Это связано как с неотектоническими поднятиями блокового типа, так и с увеличением мощности водных потоков в перигороды. Потеплений после походлоданий (оледенений), неоднократно имевших место в четвертичный период. Результатом явились образование поклонных или эрозионных террас в долинах рек; размыв и переотложение значительного количества обломочного материала с образованием золотоносных россыпей. Не случайно, что наиболее богатые концентрации золота приурочены к современным аллювиальным и морским отложениям, сформировавшимся в результате переотложения досовременного аллювия, в том числе и рыхлых золотоносных плиоценовых отложений. Таким образом, вся история развития рельефа района благоприятна для формирования золотоносных россыпей.

Торф

ПОЛЕЗНЫЕ ИСКОПАЕМЫЕ

Территория листов № 54-ХIУ, ХU характеризуется обилием проявленных разнообразных полезных ископаемых, главным образом, рудных, среди которых ведущее место принадлежит золоту. Здесь известны, ряд коренных и шлиховых проявлений золота, а также несущественное значение. Кроме золота в районе имеются рудопроявления меди, свинца, полиметаллических руд, олова, вольфрама, молибдена, ртути, висмута. Из нерудных ископаемых известны проявления твердокварда. В пределах месторождений широко развиты современные торфники, а также известны проявления бурого угля. Рассматриваемая территория характеризуется значительными запасами разнообразных строительных материалов, во многих местах легко доступны для разработки.

ГОРЮЧИЕ ИСКОПАЕМЫЕ

ТВЕРДЫЕ ГОРЮЧИЕ ИСКОПАЕМЫЕ

Бурый уголь

Верхнемалахтинское (26)Х/п роизводство бурого угля приурочено к плиоценовым отложениям, выполненным Ул-Лонгарицкую месторождению. Оно обнаружено в результате поискового бурения на золото, проводившегося в бассейне р. Верх. Малакта в 1963 г. (Заремский и др., 1964). Прослои линз бурого угля и лигнитов мощностью от нескольких сантиметров до 1,5 м залегают в толще глин, песков и галечников плиоценового возраста на глубине от 7 до 10-12 м. Они были вскрыты в 12 скважинах по двум буровым линиям. Наиболее крупная линза бурого угля, включающая погчененные прослои лигнитов и песчаноглинистых отложений, вскрыта несколькими скважинами в долине руч. Хитрым и прослежена на протяжении 250 м. Качество угля и его залежи не определялись. Проявление не имеет промышленного значения.

Х/ Номер рудопроявления на карте полезных ископаемых.

Торфами мощностью от 1 до 6 м развиты на значительных площадях в пределах Мухтесьской и Ул-Лонгарицкой впадин. Торф бурый, коричнево-бурый, осоково-сфагновый, сфагновый плохо разложившийся, насыщенный водой, как правило, неуплотненный. Запасы торфа весьма значительны, но в связи с низким качеством не представляют практического интереса.

МЕТАЛЛИЧЕСКИЕ ИСКОПАЕМЫЕ

ЦВЕТНЫЕ МЕТАЛЛЫ

Свинец

Свинец является одним из наиболее распространенныхрудных элементов в районе. По данным Е.П. Задемского (1964), районный геохимический фон свинца составляет 0,001-0,003%, что значительно превышает клярковые содержания. В районе известны проявления свинцовой минерализации в коренном залегании, а также шлиховые и металлометрические ореолы. Большинство коренных проявления относится к полиметаллическому типу, они описаны в соответствующем разделе главы.

Рудопроявление Джома (7) - впервые описанное И.Красным (1941), расположено на побережье зал. Рейнеке, в 4 км к северу от устья р.Джома. Среднеэзернистые граниты, слагающие на этом участке береговые обрывы, приглазированы на протяжении нескольких десятков метров и нарушены серией разрывов северо-западного и субширотного простираний, к которым приурочены зоны спрекциирования и окварцевания. В одной из этих зон отмечена гвардейско-сулфидная жила мощностью 0,1 м, содержащая вкрашенность пирита, галенита, сфалерита, тематита. Анализ штучной пробы показал содержание золота 0,3 г/т и серебра 49,1 г/т. Встречность галенита отмечается и за пределами жилы, в приглазированых гранитах. В 0,8 км севернее, среди аналогичных гранитов встречена еще одна сульфидная жила с пиритом, арсенопиритом, сфалеритом и галенитом. Содержание свинца не определялось. Рудопроявление включается в дополнительном обследовании с целью уточнения.

нения масштабов оруденения и содержания золота, серебра, свинца.

Рудопроявление Стрелка (22), открытое в 1961 г., расположено вблизи слияния рек Прав. и Лев.Лонгари (Гусев и др., 1962). Песчано-алевролитовые отложения юрского возраста, обнаруживающиеся в левом борту р.Прав.Лонгари, брекчированы, обожжены и окварцованны на протяжении 0,7 км. Спектральным анализом в пяти штучных пробах из измененных пород установлено повышенное содержание свинца (до 0,05-0,2%), в отдельных пробах отмечено золото в количестве 0,05-0,2 г/т. К рудопроявлению приурочен компактный металлометрический ореол с повышенным содержанием мышьяка (0,006-0,04%) и висмута (0,001-0,003%). Участок рудопроявления Стрелка нуждается в проведении детализационных работ.

Повышенные содержания свинца в коренных породах были обнаружены еще в ряде мест. Так, по данным В.Э.Пиладского (1968), в окварцовых песчаниках, обнаружившихся в левом борту р.Бол.Вилки (в верхнем течении) в кварцево-сульфидной жиле было отмечено содержание свинца до 1%, в верховых первого правого притока р.Бол.Вилки в пяти штучах из оротовикованных песчаников - 0,005-0,05%, на водоразделе ручьев Шильникова и Курум, вблизи золоторудного проявления Водораздельное (33) в восеми пробах - 0,005-0,07%, на побережье Сахалинского залива (восточнее г.Мохета) - до 1%, в верховьях ручья Ягодный - 0,3%.

На территории известен ряд проявлений минералов свинца в шлихах. Наиболее крупным (площадью около 35 км²) является Мечанская шлиховая ореол зандинита и пироморфита (3) в бассейне верховьев р.Джома и нескольких левых притоков р.Лонгари (Зарембский и др., 1963). Участок сложен оротовикованными, окварцированными песчаниками и алевролитами I², нарушенными разрывами северо-восточного простирания и прорванными штоками диоритов. Ванадинит встречается в количестве до 82 знаков на ших, пироморфит до 93 знаков, присутствует церусцит и базовицит. Аллювий содержит обломки осветленных, иногда окварцированных песчаников и кильный кварц. Очевидно, в верховых р.Джома, ее притоков и левых притоков р.Лонгари расположена ряд складенных минерализованных зон, приуроченных к kontaktам интрузий гранитоидов. Участок нуждается в проверке и детализации с целью выяснения характера и масштаба коренных источников сноса.

Близкие зоны занадимита, пироморфита, перуссита встречаются в шлихах по рекам Ник.Лонгари, Пихтяка и в склоновых отложениях на водоразделе рек Магули - Мари, Галенита - в нижних р.Лонгари и притоках р.Росника (Зарембский и др., 1963).

В отложениях пляжа зал.Рейнеке в 1,5 км к северо-западу от устья р.Лонгари галенит содержится в количестве до 1% веса тяжелой фракции. По-видимому, он привнесен с западного берега залива, где известны зоны минерализации, содержащие галенит.

Повышенные содержания свинца выявлены металлометрическим опробованием во вторичных потоках рассеяния. Наиболее крупный ореол (Правый) (16), охватывает водораздел рек Мантум и Кутевкальма (Шадынский и др., 1967). Ореол приурочен к участку олово-цинко-полиметаллического и золоторудного проявлений (17,20) и большого количества минерализованных зон в осадочных и эфузионных породах. Содержание свинца 0,002-0,008%. Локальные потоки рассеяния протяженностью до 1-2 км и с содержанием свинца от 0,003 до 0,1% выявлены в левобережье р.Мухтеля (выше устья р.Кайдат) и в верховье р.Ниж.Лонгари (Зарембский и др., 1963; Шадынский и др., 1967).

Полиметаллические руды

На территории известен ряд коренных проявлений полиметаллических руд, в которых оруденение представлено преимущественно сульфидами свинца, железа, мели, цинка, иногда отмечается присутствие золота и серебра.

Севангисское (34) проявление расположено на берегу Сахалинского залива в 7 км к северо-западу от устья р.Бол.Вилки. Открыто Л.И.Красным в 1938 г., опробовано В.К.Елисеевым (1939) и, позже, - Д.И.Гусевым (1962). Участок проявления сложен осадочными породами валанчина, нарушенными серией сближенных разрывов субмеридионального простирания. К разрывам приурочены лайки Фельзитов мощностью до 0,5-1,5 м, кварцевые и кварцево-кальцитовые жилы и прожилки мощностью от 0,5 до 20 см, содержащие вкрашенные сульфиды. Реже отмечаются участки вкрапленных руд в фельзитах и во вмещающих породах. Рудные жилы не выдержаны по простиранию, по падению прослеживаются обычно на 2-5 м, реже до 25 м. Всего отмечено около 75 рудных жил, образующих, в целом, рудную зону мощностью около 20 м.

Главные рудные минералы – арсенопирит, галенит, сфalerит, пирит, халькопирит – образуют неравномерную вкрапленность или гнезда в призматических частях жил, а местами составляют до 70–80% жильной массы. Содержание (в %) свинца в руде от 0,001 до 0,5, цинка – 0,01–1, мышьяка – 0,01–2, молибдена – 0,003–0,01, мели – 0,001–0,05, вольфрама – до 0,01, золота – 0,035 г/т, отмечается присутствие индия и кадмия. По данным В.К. Елисеевой, руды содержат золото (0,82–4 г/т). Вместе с тем вкрапленность сульфидов. Спектральным анализом в них установлено содержание свинца – до 0,3%, цинка – до 0,2%, висмута – 0,003%. Рудопроявление сопровождается небольшим шлиховым орудием галенита и металлометрическим ореолом рассеяния свинца (0,006–0,01%). И мышьяка (0,006–0,02%).

Рудопроявление неоднократно обследовалось. В связи с малым мощностью рудных жил и низким содержанием полезных компонентов промышленного значения не имеет.

Рудопроявление Курум (39), открытое Д.И. Гусевым в 1961 г. и детально изученное В.Э. Пилацким (1968), расположено на правом склоне долины руч. Курум близ его устья. Проявление приурочено к 300-метровой зоне окварцевания в песчаниках и алевролитах веллингина и рутихих гранитолитах, протягивающихся в северо-восточном направлении на 1,5 км. Орудение локализуется в квартовых прожилках и жилах мощностью от долей миллиметра (прожилково-штокверковый тип) до 10–50 см. Рудные минералы представлены пиритом и галенитом. Спектральным анализом в штуфных пробах из наиболее крупных жил было установлено содержание (в %) свинца – 0,04–1, висмута – 0,007–0,01, вольфрама – 0,01, серебра – 0,004–0,05, мели – 0,09, молибдена – 0,001, мышьяка – 0,01, в одной пробе из измененных пород – золото – 0,5 г/т. В двух шлихах, отмытых из куска выноса, бедущего начало на участке рудопроявления, обнаружены единичные знаки золота. Рудопроявление сопровождается вторичным ореолом рассеяния висмута – 0,001–0,003%, вольфрама – 0,005–0,01% и мышьяка – 0,006–0,02%.

В связи с незначительными масштабами оруденения и низкими содержаниями рудопроявление не имеет практического значения.

Менее значительные, чем описанные выше, проявления полиметаллической минерализации известны в верховых р. Бол. Вилии, в верховьях руч. Ягодного (в 0,8 км к юго-западу от выс. 730),

ОЛОВЯННО-ПОЛИМЕТАЛЛИЧЕСКИЕ РУДЫ

на водоразделе ручьев Шильникова и Курум, в верховых р.Ландорг и др. (Пилацкий и др., 1967ф; Шадинский и др., 1967ф).
Оловянно-полиметаллические руды
Мантули (ГГ) обнаружено в 1954 г. (Ведеников и др., 1956ф), обследовано И.А.Ивановым (Шурмалина, Козлов и др., 1966ф) и несколько позже В.В.Шадинским (1967ф). Оно расположено на водоразделе р.Мантули - руч.Мары. Участок сложен доломит-порфиром, кварцевыми породами, их туфами и туфобрекчиями Татаркинской свиты (С-2 и т.). И.А.Ивановым в них выявлено несколько протяженных (и иногда более 1,5 км) зон пробления и гидротермального изменения пород, приуроченных к разнам северо-восточного простирания, в которых эфузивы окварцированы, сернистизированы, ли-монитизированы и пронизаны многочисленными кальдеровыми жилами и прожилками мощностью до 0,2-0,3 м. В этих зонах выявлены участки интенсивного окисления пород с многочисленными обогащениями пустотами выщелачивания. Горные выработки глубиной до 3 м не вскрыты первичных руд, в связи с чем данные опробования характеризуют только верхнюю, окисленную и в значительной степени разубоженную часть рудопроявления. Среди рудных минералов преобладают гидроокислы железа, скородит, цеуссит, присутствует рассеянная окрашенность и прожилки пирита и арсенопирита. В протолюках из штучных проб были обнаружены халькопирит, тематит, ильменит, барит, редкие единичные зерна кассiterита. Спектральным и химическим анализом в штучных пробах окисленных руд было установлено содержание (з %) олова - 0,001-0,1, меди - до 0,05, свинца - 0,001-0,1, никеля - 0,01-0,3, сурьмы - 0,01-0,2, мышьяка - 0,03-3, аистмуга - 0,003-0,03, кольброма - 0,03, сернистая - 0,003, золота - от 0,02 до 1-2 г/т. По данным В.В.Шадинского, на севере участка отмечены содержания золота до 5 г/т. Общий состав рудных компонентов проявления соответствует оловянно-полиметаллической формации. Наличие олова в солидисте проб при обилии сульфидов, повышенной сурьмы и крайне редком присутствии кассiterита в протолюках может свидетельствовать о выделении олова в виде сульфосолей (сернист.).

На участке следует провести дополнительные поисковые работы с проходкой глубоких шурфов с целью вскрытия интенсивных

руд и отработки их на олово и золото.

Шлиховой ореол касситерита Левая Мангули (15) расположен на левобережье р.р. Мангули. Содержание касситерита в шликах от I до IO знаков. Участок сложен гранитоидами и ортогнейскими осадочными породами (J₂). Коренные источники сноса неизвестны. Учитывая имеющиеся в настоящее время данные об оловянности Мангунской интрузии и наличие в ее пределах зон гидротермально-измененных оловянных пород на соседней территории (Н-54-ХШ, ХХ), данный участок может быть рекомендован для проведения проверочных поисковых работ на олово.

Благородные металлы

Золото

Золото является veryдим полезным искональным в районе. Здесь известно несколько коренных рудопроявленияй, россыпи, шлиховые ореолы.

Рудопроявление Опорное (20), открытое в 1966 г. Д.И.Гусевым (Шадинский и др., 1967ф), расположено в верховье руч. Чукола на левобережье р.Мухеля. На рудопроявлении проведены поисковые маршруты и горные работы с целью вскрытия и прослеживания рудных зон, штучное, металлометрическое и донное отработание. Участок сложен песчано-алевритовыми отложениями среднекерского возраста и кислыми эффеузивами верхнего мела, прорванными интрузией гранодиоритов. Широко развиты разрывы субширотного, меридионального и северо-восточного простираний, которым приурочены даики диоритов, микродиоритов и диорит-порфиритов. В зонах разрывов породы окварцованны, серпентинизированы, пиритизированы, лимонитизированы. Мощность зон окварцевания достигает несколько десятков метров. К ним приурочены густая сеть прожилков и жилья кварца мощностью до 0,3 м и более. Видимое оружиение представлено пиритом, пирротином, арсенопиритом; в некоторых жилах встречается тетрадимит и видимое золото. Из 128 штуцных проб, отобранных в пределах всего участка, в 37 обнаружено золото в количестве от 0,03 до 150 г/т (в 11- более 4 г/т). Большая часть их отобрана в истоках руч. Чукола. Наиболее высокие содержания золота были связаны с тетрадимит-содержащим кварцем. Спектральный анализ в большинстве проб установлены: золото в количестве 0,1-1%, свинец, цинк, медь,

олово - 0,001-0,03%, вольфрам, сурьма, серебро - 0,0005-0,005%.

Рудопроявление Опорное относится к золото-серпент-кварце-вой и золото-сульфидной формациям, перспективным для этого района. Геологические условия, данные отработания в приповерхностной зоне требуют постановки на этом участке поисково-разведочных работ.

Прилегающая к рудопроявлению Опорное площадь несет следы рассеянного золота в поймальных и аллювиальных отложениях. Здесь выявляется Мангульский шлиховой ореол (14). Ореол охватывает бассейн р.Мангули и левых притоков р.Мухеля-ручьев Мари, Чукола, Кутаканджа. Содержание золота в шликах по 10 знаков и более. В пределах ореола расположена и золотоносная россыпь р.Ниж.Мангули (19).

Рудопроявление Мелково (29), расположенного в верхних руч.Мелкий, известно с 1961 г. (Гусев и др., 1962ф). Участок сложен конгломератами и кремнисто-плинстами породами позднеегерского возраста, нарушенными сбросо-спектаками северо-восточного и субмеридионального простираний с вертикальными амплитудами и сумеридионального простираний с вертикальными амплитудами до 100 м. К разрывам приурочены мощные (до 3-4 м) зоны миллиниации, прожилкового окварцевания, серпентизации и пиритизации, кварцевые жилья. В кварцевых прожилках, жилах и спорадически в песчаниках и конгломератах встречается рассеянная вкрапленность пирита и гидроокислов железа. По данным штучного отработания гидротермально-измененных пород (Пильский и др., 1967ф), в них содержится золото от 0,03 до 0,1 г/т, в одиночной пробе - 1 г/т. В результате шлихового отработания в склоновых и альлювиальных отложениях вблизи рудопроявления были установлены единичные знаки золота. Учитывая широкое развитие в пределах участка золотосодержащих гидротермально-измененных пород, а также данные о наличии в аллювии руч.Мелкий (в это среднем течении) весьма высоких содержаний золота - до 683 мг/м³. Рудопроявление Мелково рекомендуется для постановки детальных поисков с применением горных работ, с целью вскрытия и отработки золоторудных зон.

Рудопроявление Водоразделе (38) расположено на водоразделе ручьев Шильникова и Курм. Впервые золотоносность этого участка была отмечена в 1961 г. (Гусев и др., 1962ф), поисковое обследование и штучное отработание было проведено в 1966 г. (Пильский и др., 1967ф). Участок сложен орто-виктованными породами пионерской свиты, прорванными даиками

гранодиорит-порфиров. Ореол контактового метаморфизма, по-видимому, фиксирует не вскрытие интрузии гранодиоритов, небольшие выходы которых имеютсь вблизи устья руч. Курум. На участке выявлены две зоны, в пределах которых осадочные породы подвергнуты интенсивному прожилково-метасоматическому окварцеванию, сопутствует рассеянную вкрапленность сульфидов и лимонитизированы. Протяженность наиболее обнаружено в 7 штучных пробах в количестве от 50-100 м. Золото обнаружено в 7 штучных пробах в количестве от 0,03 до 1 г/т, в одном случае отмечено видимое золото. Кроме того, с этой зоной связаны повышенные содержания меди, свинца, молибдена. Вторая зона, расположенная выше, имеет протяженность около 1 км при мощности 100 м и характеризуется необычными содержаниями золота (единичные залежи в протолетах). Имеющиеся данные не позволяют оценить перспективность проявления Бодораздельное. Учитывая значительную протяженность золотоносных зон, на участке можно рекомендовать проведение поисковых работ с целью вскрытия этих зон по простирации канавами и более полного их отработания.

Рудопроявление Красная Гора (42), расположенное на побережье Сахалинского залива Южно-Приморского, открыто в 1938 г. Л.И.Красным. В 1939 г. оно обследовано В.К.Елисеевым, в 1961 — Л.И.Гусевым (1962). Проявление расположено в экзоконтакте ёнки-Ульского массива, в осадочных породах юланжинского возраста. Оруденение связано с серией обильных зон дробления меридионального простирания, имеющих мощность от 5-10 см до 1,5 м. Волнистые зоны дробления породы окварцованны и содержат большое количество маломощных прожилков и жил кварца мощностью до 7 см, несущих вкрапленность пирита, пирротина, реже арсенопирита и халькопирита. Протяженность рудной зоны по берегу 600 м, в глубь берега — 400-500 м. По данным В.К.Елисеева, в пробах из зон дробления содержится до 0,7 г/т золота и до 31 г/т серебра. Пробирным анализом бороздовых проб в 1961 г. обнаружено золото в количестве 0,2-1 г/т, также следы серебра и свинца. В связи с незначительными содержаниями рудопроявление не имеет практического значения.

Рудопроявление Ягодное (36) расположено в верхних одномименного ручья. Здесь, в правом борту долины в горном залегании обнаружена зона обожженных и окварцованных пород, в пределах которой были отмечены содержания золота до 1 г/т (Гусев и др., 1962). Выше по течению ручья отмечены круговые (площадью до 20 м²) развали юльского кварца с содержанием

золота в штучных пробах 0,03-0,05 г/т. Протяженность наибольее обнаружено в 7 штучных пробах в количестве от 50-100 м, сопутствует рассеянную вкрапленность сульфидов и лимонитизированы. Протяженность наибольшее зон — более 5 км при мощности 50-100 м. Золото обнаружено в 7 штучных пробах в количестве от 0,03 до 1 г/т, в одном случае отмечено видимое золото. Кроме того, с этой зоной связаны повышенные содержания меди, свинца, молибдена. Вторая зона, расположенная выше, имеет протяженность около 1 км при мощности 100 м и характеризуется необычными содержаниями золота (единичные залежи в протолетах). Имеющиеся данные не позволяют оценить перспективность проявления Бодораздельное. Учитывая значительную протяженность золотоносных зон, на участке можно рекомендовать проведение поисковых работ с целью вскрытия этих зон по простирации канавами и более полного их отработания.

Золотурное проявление Три Ключа (1), впервые описанное Л.И.Красным (1941), расположено на побережье залива Александрии, в 0,5 км к западу от устья р.Чекинда. Среди песчаников с прослойками алевролитов (J_2) залегает пологий гипса кампилита мощностью 16-35 см, прослеженная по простирации на 14 м. В жиле содержится вкрапленность арсенопирита, составляющего иногда до 70% белкой массы, пирита и халькопирита. В двух бороздовых пробах установлено содержание золота — 0,4-0,5 г/т, серебра — 36,7-92,5 г/т. Рудопроявление представляет минералогический интерес.

Кроме описанных рудопроявлений, штучные пробы, содержащие повышенные содержания золота (0,03-0,05, реже до 0,5-1 г/т), были отобраны в верховых р.Юхта, в 1 км севернее г.Юхта, на водоразделе рек Прав.Ул и Пах.Лонгари, в бассейне р.Лонгой, в бассейне первых притоков р.Бол.Вильки (Гусев и др., 1962); Зарембский и др., 1963; Шадинский и др., 1967; Шилдаков и др., 1967). В них были приведены данные о присутствии золота в рудах полиметаллических проявлений Курум (39), Севантинское (34), на оловянно-полиметаллическом проявлении Мангули (17), свинцовых — Стрелка и Дюма (22,7).

По данным Л.И.Красного (1941), на участке Майдского монолитного рудопроявления в штучной пробе из кальцинового прожилка химическим анализом установлено содержание золота 305,2 г/т, серебра — 1121 г/т; спектральный анализ показал также присутствие олова в количестве 0,05-0,1%. Этот участок может быть рекомендован для проведения контролного отработания, результаты которого должны показать целесообразность дальнейших работ.

Рыхлые отложения четвертичного возраста, достаточно широкие (до 1 км) распространенные в районе, золотоносны практически повсеместно.

местно. В результате поисково-разведочных работ, проводившихся Колчанским присыпко-ым управлением и, главным образом, Нижнеамурской экспедицией ДВГУ в 1961-1967 гг., на территории выявлено несколько россыпных месторождений золота, среди них одно, имеющее промышленное значение. Поисково-разведочные работы на россыпном золоте продолжаются в районе и в настоящее время.

Россыпь руч. З а м а н ч и з о г о (41, левый приток р. Сред. Ул.), северная часть которой длиной около 2 км расположена в пределах рассматриваемой территории, известна с 1908 г., когда она в небольших объемах отрабатывалась старителями. Разведывалась россыпь Колчанским присыпко-ым управлением, а с 1963 г. — Нижнеамурской экспедицией (Зарембский и др., 1964); в 1960 ф. Контуры ранее известной долинной россыпи были расширены, и выявлена новая террасовая россыпь, приуроченная к I террасе ручья. В приустьевой части долины обе россыпи сливаются, образуя единый полигон, пригодный для гидравлической отработки.

Длина долинной и террасовой россыпей соответственно 3,9 и 2,7 км^х, ширина от 20 до 250 м при мощности горной массы от 2 до 7,5 м. Торфа россыпей представлена плохо отсортированным крупногалечным материалом с валунами и примесью песка и глины. Золотоносный пласт мощностью 0,5-3,5 м залегает на плотике со слабо волнистой поверхностью, сложенной выветриваниями трещинозавтыми песчаниками и алевролитами валанжинского возраста. Распределение золота в пласте крайне неравномерное и имеет гнездовой характер. Золото мелкое, пластинчатое, 360 пробы. Изредка встречаются слабо окатанные зерна в сростках с кварцем. Общий объем горной массы 1781 тыс.³ м при среднем содержании 288 мт/м³. Запасы золота 514 кг. Рассыпь признана промышленной, и на неё продолжаются разведочные работы.

Россыпь руч. Р е д е л у л (40) приурочена к пойменным и террасовым отложениям. Повышенные содержания золота в долине были обнаружены в 1952 г. В 1961-1962 гг. поисково-разведочными работами была оконтурена сложная, плохо сформированная террасово-русловая россыпь протяженностью 9,2 км при средней ширине 134 м с несколькими струями, приуроченными к пойме, I и II надпойменным террасам, которые сложены гравийно-галечниковыми отложенийами с прослоями песков и глин. Пойма характеризуется выраженным со-

держанием золота от 30 до 80 мт/м³. В отложениях I террасы содержание золота невыдержанное — от единичных знаков до 80-100 мт/м³. II надпойменная терраса с мощностью аллювия от 4,5 до 14 м имеет наряду с низкими содержаниями (15-30 мт/м³) и более высокие — от 120-160 до 200 мт/м³. В целом, при средней мощности горной массы 5,4 м, протяженности 9,2 км, средней ширине 134 м, среднем содержании 81 мт/м³ и ориентировочных запасах золота 535 кг — россыпь признана непромышленной (Зарембский и др., 1963). Позднее в пределах россыпи более детально были разработаны два участка, расположенные близ устья руч. Заманчива-го и вблизи устья руч. Курум (Зарембский и др., 1965). Первый из них протяженностью около 800 м, шириной 120-160 м характеризуется содержаниями золота 163-499 мт/м³ при мощности горной массы 3-5 м, имеет практическое значение, так как примыкает к промышленной россыпь руч. Заманчивого (41) и пригоден для совместной с ней разработки.

Россыпь руч. Ш и л ь н и к о в а (37) эксплуатировалась еще старителями в дореволюционное время. В 1935-1951 гг. разведывалась Колчанским присыпко-ым управлением. В 1965-1966 гг. Нижнеамурской экспедицией в нижней части долины руч. Шильникова пройдены 4 буровые линии "Эмпайр". Рассыпь приурочена к пойменным отложениям, представленным галечными и щебенисто-галечными отложениями с примесью песка и суглинка. Длина россыпи около 3 км, ширина 20-80 м, мощность горной массы 2,5-7 м. Золото крупное, проба не определялась. Распределение золота неравномерное в виде коротких струй и гнезд, среднее содержание 230 мт/м³. Ориентировочные запасы 49 кг на горную массу 210 тыс. м³ (Зарембский и др., 1967). В связи с незначительными запасами россыпь практического интереса не представляет.

Россыпь зал. Р е д е л е к е (8), приуроченная к отложениям морского пляжа, разрабатывалась в 1962-1963 гг. (Зарембский и др., 1964). Впервые этот участок привлек внимание высоким содержанием золота (до 9-16 г/т) в слое естественного шлиха, покрывающего пляж. Рассыпь разведана девятью шурфовочными и двумя буровыми линиями, ориентированными перпендикулярно береговой линии. Золотоносный пласт четко сформирован, залегает с поверхностью до глубины 1,5 м, представлен крупнозернистым песком с примесью гравия и гальки. В песке простой темно-серого естественного шлиха мощностью от нескольких миллиметров до 5-7 сантиметров. Количество их достигает 6-7 на 1 м. Ширина россыпи составляет 40-60 м, длина 3-3,5 км. Золото мелкое, часто

Пиленате (редко пластины достигают 1-2 мм), тонкоразмельчованное, светло-серого цвета, сосредоточено в основном в прослоях, обогащенных естественным шлихом. Содержание неравномерное — от единичных знаков до II, I г/м³. В тяжелой фракции шлиха присутствует циркон, рутил, ильменит и другие минералы. Максимальные содержания циркона и ильменита достигают 2 кг/м³ и 16 кг/м³ (эти данные, по-видимому, характеризуют слой с богатым естественным шлихом).

Россыпь сформирована, главным образом, за счет перемыча золотоносного аллювия р.Лонгари и выноса золота из долины. Процесс ее формирования продолжается и в настоящее время. Россыпь признана непромышленной в связи с незначительным объемом и неравномерными содержаниями золота.

Россыпь р.Ниж.Ангур (19) открыта Ф.Ф.Гильзетдиновым (1952ф) в 1965-1966 гг. и дозревалана В.В.Шадинским (1967ф). Россыпь приурочена к отложениям поймы, представленным галечниками с примесью валунов и глиниами (сверху) общей мощностью 3,5-10 м. Плотик россыпиложен в нижнем течении реки осадочными породами (алевролиты, песчаники), в верхнем — гравитонидами. Золотоносный пласт приурочен к основанию галечниково-гравитонидами. Золотоносный пласт приурочен к основанию галечникового горизонта. Содержание золота от единичных знаков до 48 мг/м³ (1967ф), а по данным Ф.Ф.Гильзетдинова среднее содержание — 88 мг/м³. Общая длина россыпи, разведенной в 1950-1951 гг., составляет 4,5 км, средняя ширина — 101 м, объем горной массы — 1427620 м³, запасы золота около 126 кт. Эти данные характеризуют россыпь как непромышленную. Вместе с тем, В.В.Шадинский отмечает, что при проведении детализационных работ на этом участке можно ожидать небольшую россыпь с запасами примерно 400-500 кт, которая будет иметь практическое значение в случае открытия района других промышленных россыпей.

С 1926 по 1967 г. Колтансским промысловым управлением и Нижнеамурской экспедицией проводилось поисково-разведочное бурение на золотоносное золото в долинах большинства рек и крупных ручьев (Гилгаэтдинов, 1952ф; Зарембский и др., 1963ф, 1964ф; Шадинский и др., 1967ф). В результате этих работ промышленных концентратов не обнаружено. Исключение составляет долина руч.Медкий (приток р.Лонгари), где в 196 г. были получены весьма высокие содержания золота (до 683 мг/м³), что послужило основанием для продолжения работ на этом участке. (Шадинский и др., 1967ф). На территории выделяется ряд шлиховых ореолов.

Прибрежный (12) шлиховой ореол охватывает бассейн ручек, впадающих в оз.Мухгели. Содержание золота до 10 знаков на шлик. Участок сложен осадочными породами позднекорского возраста, верхнепеловыми эфузивами и прорывающими их небольшими интрузиями гранодиоритов. Ореол рекомендуется для проведения поисковых работ с целью выяснения коренных источников золота.

Шлиховой ореол Лонгара и Искитий (11) охватывает бассейн нижнего течения р.Лонгари и ее притоков. Участок сложен осадочными породами юрского возраста, верхнепеловыми гравитонидами и плиоценовыми валуно-галечниками отложений. По данным Л.И.Гусева (1962ф) и В.Э.Лиманского (1967ф), источниками золота являются плиоценовые галечники и золотоносные зоны окварцевания и дробления юрских осадочных пород. К одной из таких зон в верховьях руч.Мелкого приурочено коренное рудопроявление золота (29). Содержание золота в шликах до 6-10 знаков. Золото октанное, пластичное, реже комковатое. В пределах ореала рекомендовано проведение детальных поисковых работ на участке рудопроявления Мелкое и в долине руч.Мелкого, с целью поисков россыпного золота.

Верхнемалахтинский (25) шлиховой ореол золота охватывает бассейн р.Верх.Малахта, верховья бассейна р.Лонгари и востораздел рек Малахта и Лонгари. Участок сложен осадочными породами юрского возраста, плиоценовыми и четвертичными рыхлыми отложениями. Золото встречается в количестве до 10-12 знаков на шлик. Источниками золота являются, по данным Л.И.Гусева (1962ф), плиоценовые отложения Ул-Лонгарийской пади и зоны гидротермального изменения и дробления юрских пород. В пределах ореала возможно наличие небольших, но богатых ложковых россыпей, на что указывают следы старых старателейских отработок по кп.Угловому (левый приток р.Прав.Лонгари). Несмотря на то, что разведочное бурение, проведенное на этом участке, показало отсутствие промышленных содержаний золота, рекомендуется провести дополнительные поисково-разведочные работы с целью опробования более глубоких, приподнятых горизонтов залежи на этом участке.

Вилькинский (33) шлиховой ореол золота охватывает бассейн р.Бол.Вильки. Золото в шлихах содержится в количестве 1-5 знаков. По данным В.Э.Пилацкого (1967ф), в долинах ключей, впадающих в р.Бол.Вильки, так же как и непосредственно в долине реки, встречаются развалины окварцованных метасоматических по-

род и жильного кварца, содержащих 0,01-0,1% золота, в связи с чем верховья р.Бол.Вилки рекомендуются для поисков коренных проявлений золота.

Шлиховой ореол ручьев Ягодного, Шильниковка, Курума и др. (35) охватывает бассейн переселенных ручьев, являющихся притоками р.Сред.Ул. Содержание золота в шлихах от единичных знаков до песчаных. В пределах ореола известны непромышенные россыпи золота, коренные рудопроявления золота (36, 38), рекомендованные для дальнейшего изучения, и золотосодержащие полиметаллические рудопроявления.

Золото в шлихах встречается почти по всем долинам рек и ручьев района. Компактная группа шлихов с золотом обнаружена в верхьях руч.Сакотян, впадающего в оз.Мухтегль (1-16 знаков на шлихах). Золотоносность ручьев, стекающих в Мухтельскую низменность, позволяет рекомендовать проведение проверочных работ на золото в пределах самой низменности (Шадынский и др., 1967ф).

Золото имеется в шлихах из верхней части долины р.Рослянка, в долинах рек Малхата, Джома. Дальнейшее поисковое изучение этих участков может привести к обнаружению коренных рудопроявлений, так как здесь отмечаются развалины измененных пород и юльного кварца, а форма золотин в шлихах - неправильная, дендритная, встречаются сростки с кварцем, что указывает на близость источников сноса. Разрозненные шлихи с содержанием до 10 знаков, редко более, известны в верховьях рек Прав.Кантага, Джома, Тололека, Ландорт и др.

Р е л к и с м е т а л л и

Вольфрам

Проявления вольфрама известны в шлихах в виде вольфрамита и шеелита и в качестве примесей в некоторых рудопроявлениях, ореолах и потоках рассеяния.

Шлиховой ореол вольфрамита расположено в русле р.Оконтура в бассейне одного из левых притоков р.Бол.Вилки. Вольфрамит, представленный зернами пептической формы, черного цвета, с хорошо выраженной спайностью размером до 0,9 мм, встречен в 31 шлихе в количестве до 30 знаков (Пилацкий и др., 1967ф). Коренными источниками вольфрамита, по-видимому, являются квар-

цевые жили и пегматитовые тела локализованные в интрузии г.Монтефета.

Шеелит является наиболее распространенным рудным минералом в шлихах. Источниками шеелита служат гранитоиды, в которых он присутствует как акессорный минерал, и, в некоторых случаях, кварцевые прожилки, в которых он образует мелкую рассеянную вкрапленность. Наибольшие площади шлиховых ореолов шеелита с содержаниями, достигающими весовых, приурочены к Бекчи-Улской, Витинской и Модетской интрузиям (Гусев и др., 1962ф). Высокие содержания шеелита в шлихах - до 600 мг/м³ и более - отмечены в верховьях р.Кантага вблизи рудопроявления Маяк (21).

Вольфрам в качестве элемента-примеси встречается в некоторых рудопроявлениях обычно в ассоциации с молибденом, медью и висмутом, в количестве, не превышающем 0,06%, а также в солевых потоках рассеяния и в отдельных металлометрических пробах в количестве до 0,005%.

Все описанные проявления практического значения не имеют.

Молибден

Молибден обнаружен в коренных проявлениях и в ореолах и потоках рассеяния.

Рудопроявление М о ф е т с к о е (32) открыто Л.И.Красним в 1938 г. по заявке старшего Н.Е.Митова и обследовалось В.К.Елисеевым (1939ф), Е.П.Заремским (1964ф) и В.Э.Пилацким (1967ф). Рудопроявление расположено на берегу Сахалинского залива, в 2,6 км к юго-востоку от г.Монтефета, и пространственно связано с небольшим штоком албитовых гранитов, прорывающим сильноМетаморфизованные осадочные породы Каланжинского возврата. Границы нарушенены серией разрывов субмеридионального и северо-западного простираний. К одному из нарушений в северо-западной части штока приурочены многочисленные быстро выклинивающиеся кварцевые жили мощностью 0,3-5 см с зеркальностью призита и молибденита, образующие разреженный штокверк. Наиболее скопления молибденита наблюдаются в зал.бандах жили. Содержание молибдена до 1%, а по результатам химического анализа 4 штучных проб, взятых из жили и гранитов, - от 0,08 до 0,78%. Кроме этого, установлено присутствие золота, серебра и олова (см.раздел "Золото"). Величины рудопроявления оконтурен ореол рассеяния молибдена с содержаниями 0,001-0,004%.

В.К. Елисеевой и В.Э. Пиладким рудопроявление дано отрицательная оценка, однако, по мнению В.С. Добровина (1967ф), оно опробовано недостаточно (в частности, рудоконтролирующий разлом) и нуждается в дополнительном опробовании.

Рудопроявления М о ф е т с к о е - 2 (28), расположенное на побережье Сахалинского залива, в 1,5 км к северу от г. Модетта, и М. Модетта (10), близки по характеру. В них вкрапленность молибдена приурочена к кварцевым и пегматоидным прожилкам, на проявлении М. Модетта молибденит, кроме того, образует небольшие шлифовидные скопления в гранитах. Данные о содержании молибдена отсутствуют. Оба рудопроявления не имеют практического значения в связи с незначительными масштабами.

Рудопроявление М. А л е к с а н д р а (5), первые описанное Л.И. Красным (1941ф), расположено на берегу Охотского моря. Оруденение, представленное молибденитом, приурочено к малоощущенным кварцевым жилам, секущим биотитовые порфировидные, пегматитовые и аллитовидные граниты. Кварцевые жилы контролируются тектоническими нарушениями северо-восточного и близмороженного простираний. Мощность рудной зоны 60-70 м. Основная молибденовая жила прослежена по падению на 20-25 м. В двух бороздовых пробах обнаружено содержание молибдена - до 0,2%, а по данным Г.С. Велединика (1956ф) - молибдена - 0,3%, меди - 0,003%, сеница - 0,003%, ванадия - 0,01%.

Аналогичное строение имеет рудопроявление М. Т о п о г р а ф и ч е с к и й (2). На участке побережья от г. Александра до М. Топографический в гранитах отмечаются многочисленные зоны разрывов, к которым приурочены кварцевые жилы и промычки с молибденитом, примазки молибденита по трещинам в гранитах, в осипах встречаются обломки кварца и гранитов с чешуйками и прожилками молибдена. Оруденение прослеживается и далее на запад, в зоне Эзаконката интрузии г. Александра с осадочными породами. Участок этого на настоящего времени опробован недостаточно и рекомендуется для проведения поисковых работ.

Кроме перечисленных участков, повышенные содержания молибдена (0,001-0,05%) были обнаружены в штуфных пробах, взятых из гранитов интрузий г. Александра, Мечеванской, Модетской, в зоне Эзаконката Вилькинской интрузии, в поле эффиузивов болльбинской свиты к северу от г. Юхта и др. (Шадинский и др., 1967ф; Пиладский и др., 1967ф и др.). Единичные знаки молибдена были обнаружены в пликах, взятых с пляжа Сахалинского залива к юго-восто-

ку от Модетского молибденового рудопроявления, и в единичных шлифах в верховых рек Бол. Вильки и Розянка. Металлометрическим опробованием оконтурен ореол рассеяния молибдена. П е р е в а л ь н ы й (30), приуроченный к гранитоидам г. Модетта, с содержанием 0,001-0,003%.

Медно-молибденовые

В районе известно два коренных рудопроявления медно-молибденовой минерализации - Маяк (21) и М. Куприянова (43).

Рудопроявление М а я к (21), открытое в 1962 г., расположено в верховых р. Пр. Кангала (Зарембский и др., 1964ф). Участок сложен среднеюрскими песчаниками, прорваными небольшим штоком гранит-порфиров. Рудопроявление контролируется мощной зоной трещиноватости осадочных пород, сопровождающей серию разломов северо-западного простирания. Песчаники гидротермально изменены до кварцитов и кварц-сернистых пород, пронизаны густой сетью субпараллельных (преобладают северо-западные простирания) кварцевых, кварцево-сульфидных и сульфидных прожилков, образующих рудные штокверки с прожилково-вкрапленным оруднением. Мощность отдельных прожилков и жил изменяется от 0,3-0,5 до 20-40 см. В общем объеме штокверковой зоны жилы на масса составляет до 30%. Рудная зона имеет ширину около 400 м и прослежена на 1,5 км. Поблизости выявлен ряд более мелких зон гидротермально-измененных пород. С поверхности рудопроявление подвернуто интенсивному окислению и выщелачиванию. Характерно обилие железистых охр, пустот выщелачивания, выделения медной зелени. Лишь в отдельных штуфах наблюдается пирит, халькопирит, молибденит. В аллювиальных ручьев, размывающих рудопроявление, в шлифах присутствуют цеелит (до 3,5 г/м³), халькопирит (до 50 знаков на шлих), проморфит, вольфрамит, базовимит, тетрагимит, единичные знаки золота.

В штуфных пробах окисленных, выщелоченных руд установлено содержание (в %) молибдена - 0,01-0,35, меди - 0,01-0,15, висмута - 0,01-0,1, вольфрама - 0,01-0,08. Металлометрическим опробованием выявлен ореол рассеяния меди и молибдена (содержание соответственно 0,01-0,07 и 0,01-0,05%), приуроченный к рудному штокверку. Большинство проб, содержащих молибден, обра-зует кольцевой ореол в эзаконкакте штока гранит-порфиров. К рудопроявлению приурочен локальный поток рассеянной меди (0,008-0,1%) и молибдена (0,001-0,03%). Рудопроявление опробовано

только с поверхности, и следует ожидать увеличения содержания полезных компонентов ниже зоны окисления. Рудопроявление Маяк считается потенциально перспективным на обнаружение промышленных медно-молибденовых руд и рекомендовано для проходки деталь-
мально-молибденовых руд и рекомендовано для проходки деталь-

ных поисково-разведочных работ. Примерно в 4 км к юго-западу от участка рудопроявления, близи сливин рек Прав.Кангата и Кан-
тага, в правом подитом борту долины р.Кантага обнажается меж-
ная (не менее 100 м) зона освещенных пиритизированных пород,
также нуммутирующаяся в опробовании и дополнительном изучении.

Рудопроявление М.К. У прияно (43), расположение на побережье Сахалинского залива, открыто в 1935 г. (Красный, 1938ф). Участок сложен гранодиоритами, биотит-роговообманковы-
ми пачками аplitов и жилообразными телами пегматитов. Рудопрояв-
ление приурочено к разлому, в зоне которого граниты пиритизиро-
ваны и прорваны многочисленными кварцево-сульфидными жилами

мощностью от долей сантиметра до 0,5 м. Мощность минерализован-
ной зоны около 300 м. Рудные минералы: пирит, пирротин, халько-
пирит, молибденин, лимонит, малахит образуют рассеянную вкрап-
ленность, широкие выделения или гнезда в кварцевых жилах
и непосредственно в гранитах. Содержание молибдена и меди не
определено. Бороздовым опробованием двух кварцевых жил уста-
новлено содержание золота 0,8 и 1,4 г/т. В шлихах из отложений
ручьев, близких к рудопроявлению, встречаются шеелит, гале-
нит, золото, базовисмутит, молибденин. В связи с тем, что для
окончательной оценки рудопроявления имеющихся данных недоста-
точно, участок рекомендуется для дополнительного изучения и
опробования.

На территории выделяется несколько металлометрических
ореолов и потоков рассеяния меди и молибдена. Наиболее крупный
из них — ореол Йандр (13) в правобережье р.Мухтэя
(площадь около 35 км²). Участок сложен осадочными городами яр-
ского возраста, андезитами и туфами болдинской свиты, прог-
раженными пачками и небольшими интрузиями диоритов и гранодиори-
тов. Содержание меди в донных осадках от 0,003 до 0,05%, мо-
либдена — 0,002%, свинца — 0,002-0,008%. По данным спектраль-
ного анализа штучных проб из окварцованных песчаников и жильного
кварца, содержание меди — 0,01-0,05%, молибдена — 0,01%, вольфра-
ма — 0,01-0,02%, висмута — 0,01% (Шадынский, 1967ф). Значитель-
ная площадь ореола, его приуроченность к покрову верхнемеловых
эфузивов, наличие гидротермально-измененных пород и кварцевых

живут позволяют рекомендовать этот участок для проведения более детальных поисковых работ на медь и молибден.

Ореол Мангули (18) площадью около 17 км², выявлен данным опробованием в рыхлых отложениях долины р.Мангули (Шадынский, 1967ф). Содержание меди, молибдена и свинца 0,003-0,008%. По данным металлометрического опробования и спектрального ана-
лиза штучных проб повышенные содержания меди обнаружены в вер-
ховых р.Ним.Лонгари (0,08-0,1%), в гранитогорах интрузии г.Мо-
фета (0,8%), а также практически во всех рудопроявлениях молиб-
дена, полиметаллических, золота. Все эти проявления практичес-
кого значения не имеет.

РУТЬ

Киноварь в количестве от единичных до 10 знаков на шлих обнаружена в отложениях некоторых рек и ручьев, размывающих покровы верхнемеловых эфузивов. Такие группы шлихов известны на участке к северо-западу от г.Юхта (в верховьях ручьев, впа-
дающих в оз.Мухтэя), и в верховьях р.Верх.Малахта. Коренные источники киновари неизвестны, но в пределах участка встречаются развали освещенных измененных эфузивов, с которыми, по-видимому, они и связаны. Кроме того, киноварь в количестве от 1 до 10 знаков обнаружена в отложениях левых притоков р.Лен.Мангули и в отложениях р.Малахта и ее притоков в пределах Ул-Лонгарийской депрессии.

Большинство описанных шлиховых проявлений киновари неизна-
чительны и, по-видимому, не имеют практического значения. Учас-
ток, расположенный к северо-западу от г.Юхта, можно рекомендо-
вать для поисков коренных проявлений ртутной минерализации. Учи-
тывая, что в пределах покрова развитых здесь эфузивов часто
встречаются развали гидротермально-измененных пород и по данным
металлометрии обнаружены повышенные содержания меди, свинца и
молибдена.

Висмут

На изученной территории известно несколько шлиховых оре-
лов базовисмутита. Повышенные содержания висмута отмечаются в
большинстве золоторудных и полиметаллических проявлений (в ру-
допроявлении Опорное — до 1%), а также в металлометрических

ореолах и потоках рассеяния в ассоциации с мышником, синтом, мелью и др.

Шлиховой ореол **Джома** (4) выявлен в нижнем течении р.Джома и ее притоков. Базалисмутит, представленный окатанными зернами размером 0,1-0,8 мм, присутствует в количестве до 10, реже до 30 и более зерен на шлих (Зарембский и др., 1963д).

Малахтина (27) шлиховой ореол расположен в бассейне верхнего течения р.Росинка. Содержания базалисмутита до 10 зерен на шлих. Совместно с ним в шлихах присутствуют единичные зерна висмутина, золота, псеудита, галенита, молибдита (Зарембский и др., 1963д), что характеризует данный участок как интересный для поисков коренныхрудопроявлений золота. Проявления базалисмутита в шлихах известны в бассейнах верховьев р.Бой. Вилки и левых притоков р.Мухтеля, в верховьях рек Лесная, Ниж.Малахта, Прав.Кантага и др.

Проявления висмутовой минерализации представляют интерес в качестве поискового признака золотого оруденения.

НЕМЕТАЛЛИЧЕСКИЕ ИСКОПАЕМЫЕ

ОПТИЧЕСКОЕ СЫРЬЕ

Плезокварц

Проявления плезооптического сырья изучались Е.Л.Шапошниковым (1945-1946 гг.), В.Н.Болдовским и В.Г.Малковым (1952-1953 гг.), Л.Д.Паначевым (1955 г.). Петматитовые тела, содержащие занорыши, выполненные кристаллами лимончатого кварца, мориона, реже горного хрусталя и аметиста, встречаются среди всех гранитных массивов, но наиболее часто - среди алмитогидных и пегматитовых гранитов интрузии М.Александра, М.Моффета и Бекчи-Улской. Наиболее значительные проявления плезокварца имеются в районе мысов Александра (Александр и др. и С.Х.О., б) и Моффета (Пегматитовая). Здесь в пегматитовых телах встречаются занорыши размером до 1 м в перечнике, содержание кристаллов весом до 5 кг. Большое количество занорышей с кристаллами плезокварца известно в районе М.Кундинова. Изученные проявления характеризуются никаким качеством сырья - неоднородное строение, наличие пузырьков, трещиноватость, малое двойникование. На 536 кг кристаллов аметиста

и мориона только 3 кг оказалось уложено горнорабочего качества. Проявления плезокварца не имеют промышленного значения.

СТРОИТЕЛЬНЫЕ МАТЕРИАЛЫ

В рассматриваемом районе имеются значительные запасы строительного камня (известнякие породы, песчаники и др.), и качество их не изучены, запасы не определены.

Глины развиты в долине р.Малахта и в Мухтельской впадине. Их мощность составляет соответственно 5-7 и 2-5 м. Разработка глин затруднена тем, что с поверхности они перекрыты обводненными торфянками мощностью от 1 до 6 м.

Гравий, галька, песок значительной мощности в больших количествах развиты по всем речным долинам и на морском побережье.

ОБЩАЯ ОЦЕНКА ПЕРСПЕКТИВ РАЙОНА

Общие черты металлогении района, оценива его перспектив на различные полезные исконоемые изыскания в многочисленных склонных районах дальневосточных геологов (Красный, 1947; Золотов, 1952; Долинин, 1967д и др.). В целом вся территория

района, несмотря на относительно небольшие размеры, является весьма перспективной для поисков золота, медно-молибденовых и полиметаллических руд опыта. На территории известно большое количество проявлений разнообразных полезных исконоемых, многие из которых могут сформировать промышленные концентрации. Ведущим полезным исконоем района является золото, для выявления коренных и россыпных месторождений которого перспективна вся территория района. Многие рудопроявления золота и преломляющие к нему участки, а также участки шлиховых и металлометрических ореолов рекомендованы для постановки детальных поисковых и поисково-разведочных работ (Гусев и др., 1962д; Зарембский и др., 1963д, 1964д, 1965д, 1967д; Шадинский и др., 1967д; Плещакин и др., 1967д; Долинин, 1967д и др.). Все отмеченные рекомендации достаточно обоснованы и нуждаются в выполнении.

Первоочередным для постановки таких работ являются участки рудопроявления Опорное (20) и Мелкое (29). Рекомендуется проводить более детальных поисковых и поисково-разведочных работ на

коренное золото в верховьях р.Бол.Вилки, на водоразделе ручьев Шильникова и Курум, в верховых руч.Ледовый, р.Джома, на водоразделах рек Лонгари и Малахта, Ниж. и Верх.Малахты, в верховьях р.Росянка, к югу от г.Малахта.

Перспективы и масштабы россыпной золотоносности для большей части района изучены достаточно полно, в результате чего выполнена ряд участков для промышленной отработки россыпей. Поиско-разведочные работы на россыпное золото с применением бурения и шурфовки целесообразно провести в бассейне верхнего течения р.Лонгари и ее притока руч.Мелкий, вдоль западной прибрежной части Ул-Лонгарицкой межгорной впадины, в краевой части Мужчельской впадины, в нижнем течении р.Мухтеля, в долинах рек Большой Вилки и Сред.Ул. Заслуживает более детальной разведки россыпь зал.Рейнеке (8).

Учитывая положительные результаты, полученные на соседней юга территории, рекомендуется проведение поисковых работ на потребные золотоносные россыпи в плиоценовых отложениях Ул-Лонгарицкой впадины и в краевых частях Мужчельской впадины (Зарембский и др., 1964ф, 1965ф).

Для окончательной оценки медно-молибденового рудопроявления Манк (21) следует провести поисково-разведочные работы с применением горных работ с целью вскрытия зоны неокисленных руд. Заслуживает более детального изучения оловянно-полиметаллическое рудопроявление Мантуги (17), полиметаллическое - Стрелка (22), а также участки проявления медно-молибденовой минерализации в правобережье р.Мухтеля и полиметаллической - в бассейне р.Джома, где рекомендуется проведение поисково-разведочных и детальных поисковых работ. Для более надежной оценки рудоизвлечений молибдена: М.Топографический (2), М.Александра (5), М.Бородинское (32); меди и молибдена - М.Куприянова (43), на них необходимо провести дополнительное опробование и уточнение масштабов орудования.

Следует отметить также потенциальную перспективность каменно-зольских отложений Ул-Лонгарицкой и Мужчельской впадин на буровые угодья.

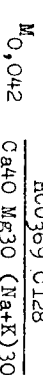
Учитывая перспективы территории, ее следует относить к районам первого приоритетного изучения и рекомендовать постановку поисково-съемочных работ масштаба 1:50 000 на всю, еще не исследованную в этом масштабе, площасти, за исключением межгорных впадин, где следует провести бурение на глубину до 50-100 м по

несколько буровым линиям. На ряде участков (рудопроявления Опорное, Мелкое, Манк) необходима постановка детальных поисковых работ масштаба 1:10 000.

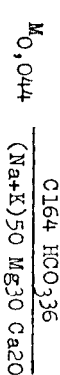
ПОДЗЕМНЫЕ ВОДЫ

На территории листа наиболее распространены грунтовые воды зоны выветривания осадочных, эфузивных и интузивных пород юрского - позднемелового возраста^х. По долинам рек Мухтеля, Малахта, Лонгари, Сред.Ул и др., а также в Мужчельской и нижнестрелковской зонах содержатся грунтовые поровые воды, приуроченные к четвертичным аллювиальным и морским отложениям.

Грунтовые воды зоны выветривания залегают на различной глубине: в долинах рек и нижних частях склонов с 5-10 м, в средних и верхних частях склонов с 30-50 м. Наиболее высокие верхние могут оказаться практически безводными. Мощность обводненной зоны на участках с пониженным рельефом составляет 40-70 м. По аналогии с районами Сихотэ-Алиня и южного Приморья наиболее мощную обводненную зону имеют граниты и гранитограниты позднемелового возраста, наименьшую - кислые верхнемеловые эфузивы и алевролиты юрского и раннемелового возраста. В зонах крупных разрывных нарушений возможно встретить напорные воды с мощностью обводненной зоны в несколько сотен метров. Воды зоны выветривания пресные с минерализацией 30-60 мг/л, обычно гидрокарбонатные кальциевые. Наиболее типичная формула солевого состава:



На побережье, вследствие влияния моря, отмечается источники с хлоридным натриевым составом воды:



Вблизи г.Малахта и к юго-западу от нее развиты гидрокарбонатно-сульфатные, кальциево-натриевые воды, местами переходящие в сульфатные натриевые. Они приурочены к зонам гидротермально-

^х/ Глава написана Н.П.Ахметзевой.

измененных пород, несущих сульфидную минерализацию. Формула солевого состава наблюдаемых вод:

М 0,051 SO₄57 NO₃23 Cl20
Mg47 (Na+K)43 Ca10 .

Минимальная концентрация

Выходы грунтовых вод зоны выветривания наблюдаются в виде истоchnиков или мочажин. Источники низкодействие, эрозионные, миграющие по склону в связи с изменением уровня грунтовых вод.

Их дебиты непостоянны, колеблются в зависимости от выпадения осадков от 0,01 до 0,3 л/с. Зимой многие источники иссякают.

Для орошения земель рекомендуется бурение скважин глубиной до 100 м, затопленных в нижних частях склонов или в долинах рек. Ожидаемый дебит скважин 0,5-1 л/с, в обводненных зонах различных нарушений до 5 л/с. Удельные дебиты скважин обычно составляют 0,01-0,1, реже до 1 л/с. Наиболее водобильны иллювиальные породы.

Грунтовые воды в аллювиальных отложениях залегают с глубиной 0,5-3 м. Мощность обводненного аллювия составляет 3-10 м, а в долине р. Мухтэля 10-15 м. Воды, как правило, слабо минерализованы гидрокарбонатные кальциевые, и лишь в верховье рек Лонгари и Малахта в верхнечетвертичных отложениях встречаются воды хлоридного натриевого состава:

М 0,070 Cl71 NO₃23
(Na+K)75 Mg13 Ca12 .

В отложениях морских террас, распространенных в низовье р. Лонгари и близ оз. Мухгеля, поздние воды залегают с глубины 0,5-2 м. Воды хлоридного натриевого состава с минерализацией 50-250 мг/л; с глубиной минерализация, по-видимому, возрастает.

Дебиты колодцев и шурфов, пройденных в песчано-галечных морских и аллювиальных отложениях, составляют 0,3-1 л/с при понижении уровня 0,2-0,5 м. В аллювиальных отложениях р. Малахта, представленных глинистыми разностями с маломощными прослоями песков и супесей, дебиты воды из шурфов снижаются до сотых долей литра в секунду.

В пределах Мухгельской и Ул-Лонгарийской впадин под четвертичными и плиоценовыми отложениями залегают олигоцен-микеновые песчано-глинистые отложения. По данным ВЭЗ, их мощность в Мухгельской впадине составляет 200-350 м, а в долине р. Малахта - 100-250 м. Отложения представлены главным образом гли-

нами и суглинками с прослойями песков, супесей, реже галечников, в которых содержатся карстовые воды. Воды, по-видимому, пресные, гидрокарбонатно-кальциевого состава. Ожидаемый дебит скважин глубиной 100-150 м - 0,1-0,5 л/с.

ЛИТЕРАТУРА

ОПУСЛИКОВАНИЯ

Ахметьев М.А., Карапулов В.Б., Козлов А.А. и др. Новые данные по стратиграфии юрских отложений северных районов Нижнего Приамурья. - Сб. геологии, № 8, 1967.

Ахметьев М.А. Стратиграфия нижнего мела северо-западной окраины Амуро-Уссурийского прогиба. ДАН СССР, т. 175, № 6, 1967.

Гершанов Д.Е. Донные осадки Шантарского района Охотского моря и условия их формирования. - Тр. Гос. океанограф. ин-та, вип. 23. Гидрометиздат, 1955.

Гершанов Д.Е. Фации современных осадков северо-западной части Охотского моря. ДАН СССР, т. 118, № 2, 1958.

Изох Э.П., Руслан В.Р., Кузачев И.В., Нато Заская Г.И. Иллювиальные серии Северного Сихотэ-Алиня и Нижнего Приамурья, их рудоносность и происхождение. - "Наука", 1967.

Красный Л.И. Тектоника. - В кн.: Геологическое строение северо-западной части Тихоокеанского подвижного пояса. "Недра", 1966.

Савченко А.И. Мезозой Северного Сихотэ-Алиня и Нижнего Приамурья. - Сб. геологии, № 12, 1961.
Чемаков К.Ф. О четвертичной истории Охотского моря. Известия ВГО, т. 89, № 3, 1957.

ФОНДОВАЯ

Алексеев С.Н. Геологические исследования в западной части Охотского моря от залива Николая до р. Колы. М., 1936. Сократ. фонд.

Б е л ь т е н े з · Е.Б. и др. Геологическое строение юго-западной и южной части территории листа №-53-ХЛ. Хабаровск, 1958.

Фонды ДВТУ.

В е б е р В.Т. Карта аномального магнитного поля СССР масштаба 1:200 000, листы №-54-ХШ-ХУ. Хабаровск, 1967. Фонды ДВТУ.

В е л е р и к о в Т.С., Б е ш к а р е в Т.А. и др. Геология, подземные воды и полезные ископаемые бассейнов рек Джал-Ул и Мух-Шель. Листы №-54-ХЛУ, ХУ, ХХ - материковая часть (отчет партии 290-291) М., 1956. Фонды 2 ГУ.

Г о р о х о в С.И., К а р а у л о в В.Б. и др. Новые данные о геологическом строении бассейна р.Тугур, Тугурского района и Ульбан-Амгунского междуречья. М., 1956. Фонды 2 ГУ.

Е л я с е в а В.К. Окончательный отчет о работе поисково-тематической партии в районе Колчедано-полиметаллического оруденения на побережье Сахалинского залива Охотского моря и поисках корунда в районе промысла Сивук в 1939-1940 гг. Хабаровск, 1940. Фонды ДВТУ.

Е м е л ь ь и н о в П.П., З о н о в а Т.Д., М е щ е-
р я к о в а Л.А. Стратиграфия меловых отложений Комсомольского-
го района. Хабаровск, 1957. Фонды ДВТУ.

З а р е м б с к и й Е.П., П и л а ц к и й В.Э., К о-
с о в С.И., Г у с е в Д.И., В е р т о г р а д о в В.Э. От-
чет о результатах поисково-разведочных работ на золото в бас-
сейне верхнего течения р.Ула Орельского и на сев.западном по-
бережье Сахалинского залива в 1952 г. (Тиховская партия).
с.Сусанино, 1963. Фонды ДВТУ.

З а р е м б с к и й Е.П., П и л а ц к и й В.Э. и др.
Отчет о результатах поисково-разведочных работ на золото в бас-
сейне верхнего течения р.Ула Орельского и на побережье Зал.Рен-
неке в 1963 г. (Ульская партия), с.Сусанино, 1964. Фонды ДВТУ.

З а р е м б с к и й Е.П., П о з д н я к о в А.В. и др.
Отчет о результатах работ на золото в бассейне верхнего тече-
ния р.Ула Орельского в 1964 г. (Ульская партия), с.Сусанино,
1965. Фонды ДВТУ.

З о л о т о в М.Г. Геологический очерк Нижне-Амурского
рудного района, т.уш, 1952 г. Хабаровск. Фонды ДВТУ.

И в а н о в Ю.А., К а л и м б е к о в Б.А., Р ы б а-
к о в а А.Д. Материалы к стратиграфии и литологии мезозой-
ских отложений и петрографии интрузий мезозоя и кайнозоя Нижне-
го Приамурья (отчет тематической партии 125). М., 1957. Фонды
2 ГУ.

К о з л о в А.А., Б е л е ц к а я С.В., П я т а к о-
в а М.В. Новые данные о геологическом строении бассейнов рек
Ул, Джати, Чадай, Ясмал, Бекчи (информационный отчет о редак-
ционно-увенчочных и тематических работах, проведенных на терри-
тории листа №-54-ХУ в 1966-1967 гг.). М., 1968. Фонды 2 ГУ.

К р а с н ы й Л.И. Геологические исследования в районе
озера Среп и западного побережья Сахалинского залива Охотско-
го моря. Хабаровск, 1938. Фонды ДВТУ.

К р а с н ы й Л.И., К р и з и с к и й Л.Б. Геологи-
ческие исследования в сев.-зап. части Нижне-Амурского района
1939-1940 гг. Хабаровск, 1941. Фонды ДВТУ.

К р а с н ы й Л.И. Геологическое строение и полезные ис-
копаемые Нижнего Приамурья. Диссертация. Л., 1947. Фонды
ВСЕГЕИ.

О з ч и н и н с к и й В.Д., Б е л е ц к а я С.В.,
К о з л о в А.А. Геологическая карта СССР масштаба 1:200 000,
серия Нижне-Амурская, лист №-54-ХШ. Объяснительная записка.
1968.

О р л о в И.Д. Отчет о геолого-съемочных работах в се-
верной части хр.Мевачан. Хабаровск, 1947. Фонды ДВТУ.

П и л а ц к и й В.Э., П о п о в Г.С., Ю с о в -
с к и й Н.И. Геологическое строение и полезные ископаемые
бассейна верховьев р.Ул Орельский и прилегающей части побережья
Сахалинского залива. (Промежуточный отчет о результатах геоло-
го-съемочных и поисковых работ масштаба 1:50 000 Бекчинской пар-
тии за 1961 г.), с.Сусанино, 1967. Фонды ДВТУ.

П о л и к а н о в В.Р. Отчет о геолого-поисковых рабо-
тах, проводившихся в бассейнах верхних течений р.Бекчи и Ул
Морской и на золотоносных участках Модуль и Албазин в 1959 г.
Хабаровск, 1960. Фонды ДВТУ.

П о т а п о в Ю.И., В и х л я н ц е в В.В. Геологи-
ческая карта СССР масштаба 1:200 000, серия Нижне-Амурская,
лист №-54-ХХХ. Объяснительная записка. 1966.

П о т а п о в Ю.И. Геологическая карта СССР масштаба
1:200 000, серия Нижне-Амурская, лист №-54-ХХХI. Объяснитель-
ная записка. 1968. 2 ГУ.

Р у с с В.В. Мезозойские золотоносные интрузии Северного
Стокхэ-Амни и Нижнего Приамурья (закономерности размещения и
петрографическое описание). Диссертация. Л., 1966. Фонды ВСЕГЕИ.

Приложение 1

СПИСОК МАТЕРИАЛОВ, ИСПОЛЬЗОВАННЫХ ДЛЯ СОСТАВЛЕНИЯ
КАРТЫ ПОЛЕЗНЫХ ИСКОПАЕМЫХ МАСШТАБА 1:200 000

Шурапина В.А., Козлова А.А. и др. Новые
данные по стратиграфии, тектонике и полезным ископаемым Ам-
тунь-Усалгинского междуречья и южного побережья Охотского моря
(Отчет по тематическим и редакционно-изыскательным работам на листах
№ 54-XXX, ХIX, ХIУ и ХIII). М., 1966. Фонды ГГУ.

Шурпалина В.А. и др. Геологическая карта СССР
масштаба 1:200 000, лист № 54-XXX. Объяснительная записка.
1968.

№ п/п	Фамилия, инициа- лы автора	Название работы	Год соз- дания или издания	Местона- хождение	
				3	4
1	Красный Л.И., Кривицкий Л.Б.	Геологические исследования в северо-западной части Нижне- Амурского райо- на в 1939— 1940 гг.	1941	Фонды ВГГУ, г. Хаба- ровск, № 08481	
2	Люнчевский П.Д.	Отчет Менчан- ской партии о геолого-поиско- вых работах, проведенных в северной части хребта Мевачан в 1954 г.	1955	Союзгеол- фонд № 0182085	
3	Бедренников Г.С., Бешкапов Т.Н. и др.	Геология, пол- езные воды и полезные иско- паемые бассей- нов рек Джали- уй и Мухтель (листы № 54-ХIУ ХI, ХХ, матери- ковая часть)	1956	Фонды 2-го гид- рогеоло- гического управле- ния г. Москва № 3550	

1	2	3	4	5
t	2	3	4	5
8	Шуршалина В.А., Козлов А.А. и др.	Новые данные по стратиграфии, тек- тонике и полезным ископаемым Амурчи- санно.	1966	Фонды 2-го тилдрогеоло- гического управления, г.Москва, № 0615.
4	Гусев Д.И. и др.	Отчет о результатах геолого-поисковых и разведочных работ на золото, прове- денных в верховье р.Ул Орельского, на Междуречье рек Лон- гари-Малые Вилки и бассейна р.Ул-Мор- ской (Тысюсовская партия 1961 г.)	1962	Фонды Ниж- не-Амурской экспедиции ДВГУ, с.Су- санно. Союзгеолфонд, № 240092
5	Заремский Е.П. и др.	Отчет о результатах поисково-разведочных работ на золото в бассейне верхнего течения р.Ула Орельского и на се- веро-западном посе- реье Сахалинского залива в 1962 г. (Тысюсовская партия)	1963	Фонды Ниж- не-Амурской экспедиции ДВГУ, с.Су- санно. Союзгеолфонд, № 248451.
6	Заремский Е.П. и др.	Отчет о результатах поисково-разведоч- ных работ на золото в бассейне верхнего течения р.Ула Орель- ского и на побережье залива Рейнеке в 1963 г. (Ульская партия)	1964	Фонды Нижне- Амурской экс- педиции ДВГУ, с.Су- санно. Союзгеолфонд, № 258801
7	Заремский Е.П. и др.	Отчет о результатах поисково-разведоч- ных работ на золото в бассейне верхне- го течения р.Ула Орельского в 1964г.	1965	Фонды Нижне- Амурской экспедиции ДВГУ, с.Су- санно. Союзгеолфонд, № 263734
9	Шадлинский В.В., Гусев Д.И., Бездетко К.А.	Промежуточный от- чет о результатах поисково-разведоч- ных работ на золо- то в бассейне р.Мухтень и приле- гшей части Охот- ского побережья. (Чадаинская партия 1966 г.)	1967	Фонды Нижне- Амурской экспедиции ДВГУ, с.Су- санно, № 0254
10	Пылацкий В.Э. и др.	Геологическое строение и полезные ископаемые бассейна верховьев р.Ул Орельский и приле- гшей части побе- режья Сахалинского залива. (Промежуто- чный отчет о резуль- татах геолого-съе- мочных и поисковых работ масштаба 1:50 000 Бекчинской партии за 1961 г.)	1967	Фонды Нижне- Амурской экспедиции ДВГУ, с.Су- санно

Приложение 2

СПИСОК ПРОМАШЕННЫХ МЕСТОРОЖДЕНИЙ ПОЛЕЗНЫХ ИСКОПАЕМЫХ,
ПОКАЗАННЫХ НА ЛИСТЕ № -54-ХIУ КАРТЫ ПОЛЕЗНЫХ ИСКОПАЕМЫХ
МАСШТАБА 1:200 000

1	2	3	4	5
II	Заремский Е.П., Танка Ф.Х.	Отчет о результатах разведочных работ, проведенных в 1962- 1966 гг. на Эльтак- ском месторождении российского золота (Хабаровский край). Ульская партия. Под- счет запасов на 1/1 1967 г.)	1967	Фонды Нижне- Амурской эксп- едиции ДВТУ, с. Су- саннио
12	Долбино А.С. и др.	Объяснительная за- писка к карте золо- тоносности и других металлических полез- ных ископаемых бас- сейна приусольевой части р. Амур и по- бережья Сахалинско- го залива. Масштаб 1:100 000	1967	Фонды Нижне- Амурской экспедиции ДВТУ, с. Сусанино
41			14-4	МЕТАЛЛИЧЕСКОЕ ИСКОПАЕМЫЕ
				Б л а г о р о д н ы е м е т а л л ы
				Золото
				Руч. Заманчивый
				Не экс- плуа- тируется
				P
				10, II

Приложение 3

СИСТОМЫ НЕПРОМЫШЛЕННЫХ МЕСТОРОЖДЕНИЙ ПОЛЕЗНЫХ ИСКОПАЕМЫХ,
ПОКАЗАННЫХ НА ЛИСТЯХ N-54-XIУ КАРТЫ ПОЛЕЗНЫХ ИСКОПАЕМЫХ
МАСШТАБА 1:200 000

№ по кар- те	Индекс клетки на кар- те	Наименование ме- сторождения и вида полезного ископаемого	Состоя- ние экс- плуата- ции	Тип ме- сторожде- ния (К- коренное, Р-россып- ное)	№ использо- ванного ма- териала по списку (прилож. I)										
					1	2	3	4	5						
МЕТАЛЛИЧЕСКИЕ ИСКОПАЕМЫЕ															
Благородные металлы															
Золото															
19	IY-4	р.Ниж.Мангули	Не экс- плуа- тируется	P	9										
8	IY-III	зал.Рейнеке	То же	P	5,6										
40	IY-4	р.Сред.Ул	"	P	5,7,10										
37	IY-4	Руч.Шильникова	"	P	II										
ГОРИЧИЕ ИСКОПАЕМЫЕ															
Бурый уголь															
26	IY-3	Верхнемалахин- ское	Прослои и линзы бурого угля и лигнитов в гли- нах и песках плиоценового воз- раста		5										
Цветные металлы															
Свинец															
16	IY-4	Водораздел рек Мангули и Кутэканда Джома	Металлометриче- ски ореол свинца		9										
7	II-4	Кварцево-сульфид- ные жилы с вкрап- ленистым пирита, гальванита, сфалери- та, арсенопирита			I,3										

Приложение 4

СПИСОК ПРОЯВЛЕНИЙ ПОЛЕЗНЫХ ИСКОПАЕМЫХ, ПОКАЗАННЫХ НА
ЛИСТАХ N-54-XIУ, ХУ КАРТЫ ПОЛЕЗНЫХ ИСКОПАЕМЫХ
МАСШТАБА 1:200 000

№ по кар- те	Индекс клетки на кар- те	Наименование ме- сторождения и вида полезного ископаемого	Состоя- ние экс- плуата- ции	Тип ме- сторожде- ния (К- коренное, Р-россып- ное)	№ использо- ванного ма- териала по списку (прилож. I)										
					1	2	3	4	5						
МЕТАЛЛИЧЕСКИЕ ИСКОПАЕМЫЕ															
Цветные металлы															
Свинец															
16	IY-4	Водораздел рек Мангули и Кутэканда Джома	Металлометриче- ски ореол свинца		9										
7	II-4	Кварцево-сульфид- ные жилы с вкрап- ленистым пирита, гальванита, сфалери- та, арсенопирита			I,3										

1	2	3	4	5
1	2	3	4	5
3 3 22	ИУ-3 Стрелка	Мезачанский Шлиховой ореол за- налиита и пиромор- фита Окварцованные песча- ники и алевролиты с вкрапленностью суль- фидов	Шлиховой ореол за- налиита и пиромор- фита Окварцованные песча- ники и алевролиты с вкрапленностью суль- фидов	5 4
39	ГУ-4	Курум Окварцованные песчани- ки и алевролиты, квар- цевые жилы с вкрапле- ностью пирита и гале- низа	Окварцованные песчани- ки и алевролиты, квар- цевые жилы с вкрапле- ностью сульфи- дов, редко - видимо- го золота	4,10
34	ГУ-4	Севантинское Кварцевые жилы с арсе- нопиритом, галенитом, сфalerитом, халькопи- ритом	Водораздельное Водораздел ручь- ев Шильникова и Курум	38 42
17	ГУ-1	Мантули Кварцевые жилы, оквар- цованные и сернистые изированные эфузивы с вкрапленностью пи- рита, арсенопирита, перусита	Благородные ме- тали	10 4
15	ГУ-1	Бассейн левых притоков р. Мантули	Полиметаллические руды	5
		Оловянно-полиметаллические руды		
		Кварцевые жилы, оквар- цованные и сернистые изированные эфузивы с вкрапленностью пи- рита, арсенопирита, перусита	Красная Горка	4
		Шлиховой ореол касси- терита	Малахитовое I	5
		Мантули	Окварцованные алевро- литы и песчаники, кварцевые жилы с пи- ритом, арсенопиритом, пирротином, халькопи- ритом, золотом	10
		Бассейн левых притоков р. Мантули	Обожженные оквардо- ванные песчаники, прожилки кварца с вкрапленностью пи- рита, с золотом	4
			По же	5
			Окварцированные, серни- стые, изированные, пес- чаники, конгломераты, прожилки кварца, пи- ритизанные, микроско- пическое золото	10
			Окварцованные, серни- стые, изированные осадоч- ные породы, кварцевые жилы с вкрапленностью пирита, пирротина, ар- сенопирита, террагидри- та, редко - видимое зо- лото	9

1	2	3	4	5
1	2	3	4	5
I	II-2	Три Ключа	Кальцитовая жила с арсенопиритом, пиритом, золотом	I
36	IV-4	Ягодное	Зона окварцевания и лимонитизации в ссадочных породах с золотом	5,10
25	IV-3	р.Верх.Малахта, верховья р.Лонгари	Шлиховой ореол золота	5
33	IV-4	Вилкинский	Шлиховой ореол золота	5,10
II	III-4	Лонгарицкий	Шлиховой ореол золота	4,5
I4	IV-1	Бассейн рек Мантули, Кутеканда	Шлиховой ореол золота	9
I2	IV-1	Прибрежный	Шлиховой ореол золота	9
35	IV-4	Бассейн ручьев Аюдный, Шильчикова, Курум	Шлиховой ореол золота	5,10
Р е д к и е м е т а л л ы				
31	IV-4	Вольфрам	Кварцевые жилы и граниты с вкрапленностью молибдениита, халькопирита, пирита	12
5	III-4	Руч.Рудный	Окварцованные, сернистые молибдениита, пирита, кварцево-сульфидный штокверк с вкрапленностью пирита, халькопирита, молибдита	6
10	III-4	Молибден	Горы Ландорт, Юхта	9
Висмут				
18	IV-1	р.Ниж.Мантули	Металлургический ореол рассеяния меди, молибдена, синнца	9
13	IV-1	Горы Ландорт, Юхта	Висмут	9
4	III-3	Долина р.Джома	Шлиховой ореол базальтита	5
10	III-4	М.Модеста	Малахтинский	5

T	2	3	4	5
---	---	---	---	---

НЕМЕТАЛИЧЕСКИЕ ИСКОПАЕМЫЕ

О П Т И Ч Е С К О Е С Н Й Р Ъ Е

Пбезокварц

6	III-4	Александрийское	В пегматитах занорыши с кристаллами дымчатого кварца, мориона, горного хрусталя и аметиста	2,3
---	-------	-----------------	--	-----

С О Л Е Р Я Н И Е

Стр.

Введение	3
Стратиграфия	9
Интузивные образования	38
Тектоника	52
Геоморфология	59
Полезные ископаемые	66
Подземные воды	89
Литература	91
Приложения	95